

# 銀河形態

- 現状の理解と未解決問題 -

( 最新版は [こちら](#) )



澁谷 隆俊

# 自己紹介



天文台@三鷹, 5年  
 $z \sim 7$  LAEs, 再電離など

すばる, *Hubble*, Keckなど

- ✓ 澄谷 隆俊
- ✓ 道民 (寒冷地仕様)
- ✓ 留萌生まれ, 十勝仕込み
- ✓ キーワード : 銀河形態, 観測, high- $z$



北見工大 (最北の国立大)



エゾリス (大学周辺にて)

# 本講演では

- ✓ 銀河形態に関する現状の理解と未解決問題を解説
- ✓ ただし、観測、可視光、遠方( $z>1$ )に偏っている (前頁)
- ✓ 本講演と関連の深い 過去の招待講演資料 (閲覧可能なもの, 2013以降)
  - [ハッブル系列の起源](#), 但木謙一さん, 2018
  - [恒星種族に刻印された化石情報から紐解く橢円銀河の形成史](#), 小野寺仁人さん, 2015
  - [円盤銀河の何が問題か？ - 天の川銀河から遠方銀河まで -](#), 井上茂樹さん, 2013
  - [渦巻銀河ダイナミクス理論の進展と天の川銀河](#), 馬場淳一さん, 2013
- ✓ 上記講演と内容が極力重複しないように、  
銀河形態について広く浅く解説 (することを目指す)

※リンクは2020.8現在

# 目次

1. 基本事項

2. 現状の理解

3. 未解決問題

# 1. 基本事項

銀河形態とは

形態の種類

形態の調べ方

注意点

# 銀河形態とは

- ✓ **銀河の形**, Galaxy morphology/shape/structure  
Spectral line “morphology”などとも言うが、ここでは扱わない
- ✓ 平面2次元/空間3次元 (+それらを1次元化したもの) で見たときの星, ガスなどの表面/空間密度分布
- ✓ 銀河発見以来、最も古くから着目されてきた観測量の一つ
- ✓ 銀河形成/進化に関する物理過程を反映 + 銀河進化に影響

# 銀河形態のスケール

大きい (数 - 数十 kpc)  
低次

スケール  
銀河構造

小さい (数 - sub-kpc)  
高次

单波長

大きさ

中心集中度

扁平度, 厚み

銀河内部構造

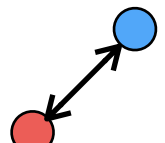
(渦巻, 棒渦巻,  
バルジ, 塊状構造など)



銀河間距離 (銀河合体など)

大きさ

構造間の距離, 分布の違い



多波長  
(ガス, 星など)

銀河空間分布  
(ACF, CCFなど)へ

※大まかな分類, 主なもの, 他にも有り

# 銀河形態の調べ方

古い

新しい

(基本的には)

低速, 低精度

(基本的には)

高速, 高精度

Parametric

## セルシック則

半径  $r_e \ r_{80}$

セルシック指数  $n$

+

(長軸短)軸比  $q$

## 2-components fit.

Bulge/Total 比

$B/T$

## 機械学習

(形態分類,  
回帰など)

## 成長曲線

curve-of-growth

に基づく

半径  $r_e$

軸比  $q$

目視

## 形態指標

非対称度  $A$

凝集度  $S$

中心集中度  $C$

$G, M_{20}, \Psi$  など

## スペースモデリング

画像高解像度化

他にも渦巻銀河のピッチ角 $\alpha$ , 楕円銀河の円盤型(disky)/箱型(boxy)  $a_4$  など

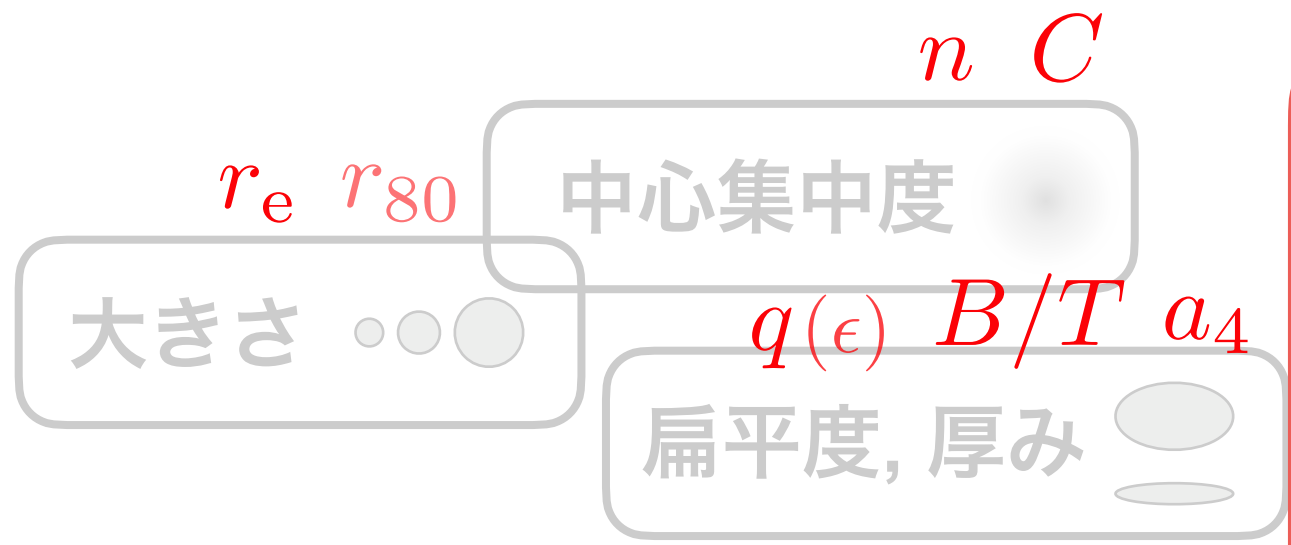
※新旧は銀河研究に応用され始めた時期を基に。処理速度, 精度は逆転しているものも。

Non-parametric

# 銀河形態の調べ方

各銀河構造に当てはめると…

機械学習, スパースモデリング



銀河内部構造  
(渦巻, 棒渦巻,  
バルジ, 塊状構造など)

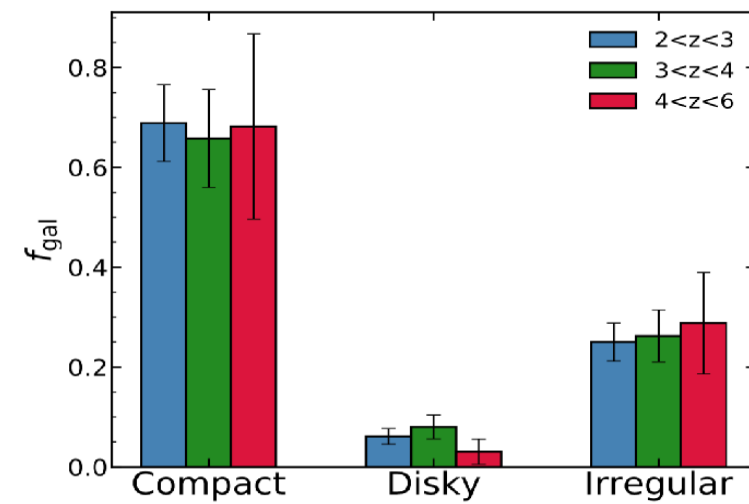
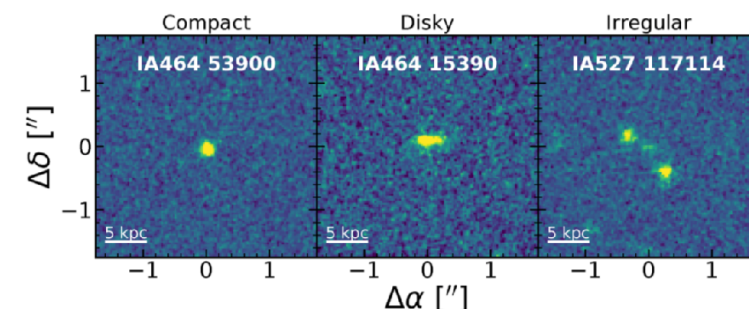


銀河間距離 (銀河合体など)  
close-pairs

$CASGM_{20}\Psi$   
 $\psi$  目視 など

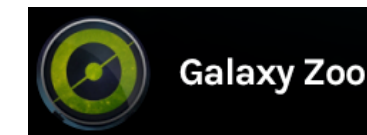
# 目視 visual inspection

- ✓ 目で見て形を判断, 最も古典的
- ✓ ~3-10人の天文学者が多数決  
慣れている天文学者同士なら意見が良く一致するとか
- ✓ 数千個くらいなら現在でも  
数万 - 十万個くらいでも頑張れば行ける (e.g., Shibuya+18a)

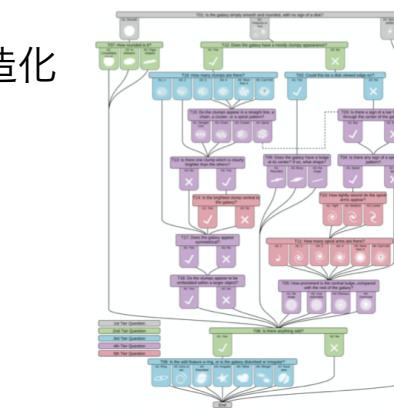


Paulino-Afonso+17

- ✓ 数十万-百万人の市民による判定
- ✓ 一つの銀河に数十人 → 定量化  
等級毎の完全性など
- ✓ 充実した tutorial, interface



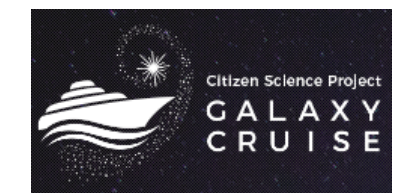
質問を構造化



Willett+13, Simmons+17



すばる/HSC でも

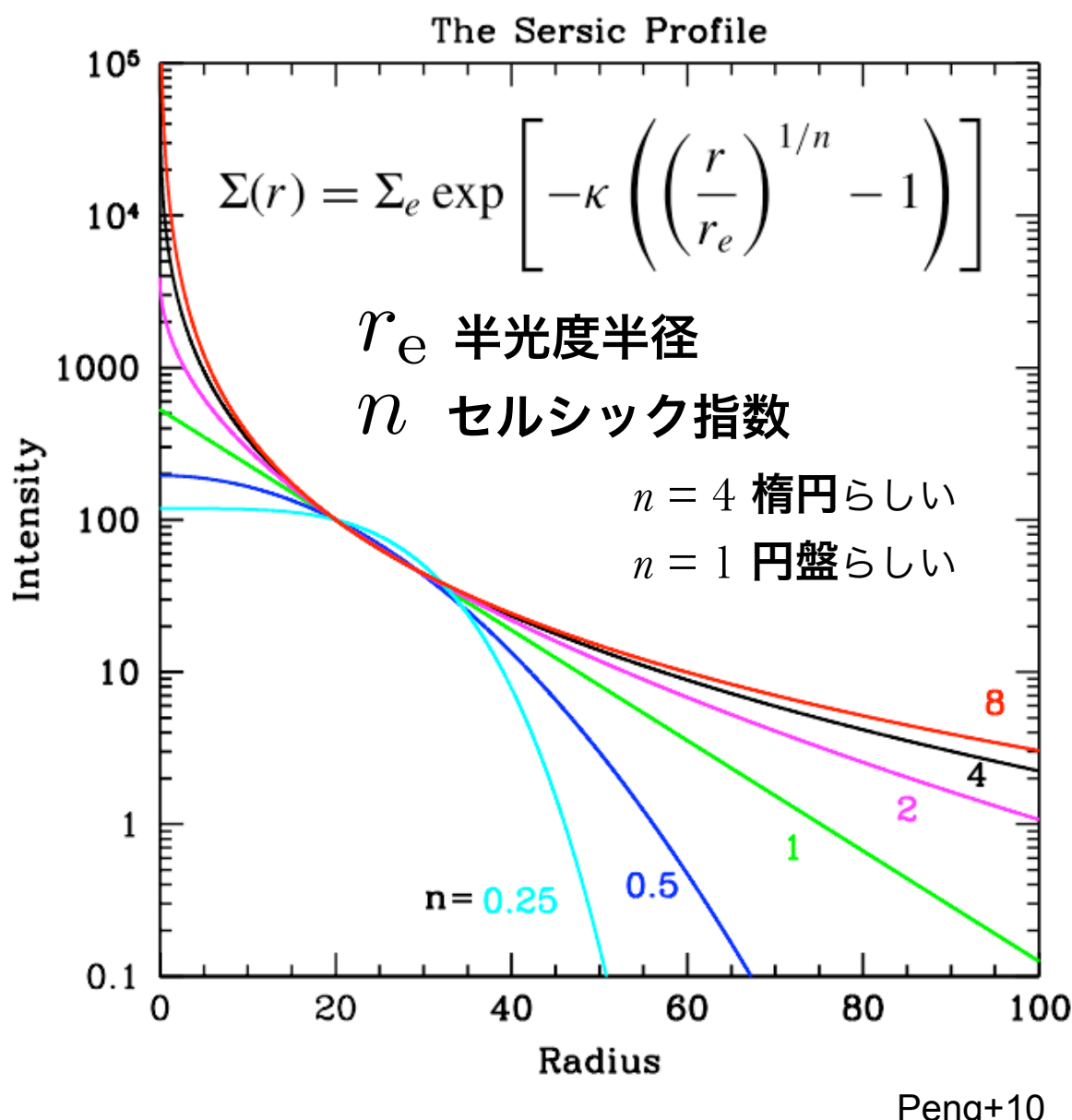


良い 定性判断, 機械学習の教師データ

悪い 労力, 再現性 (but, crowdsourcing)

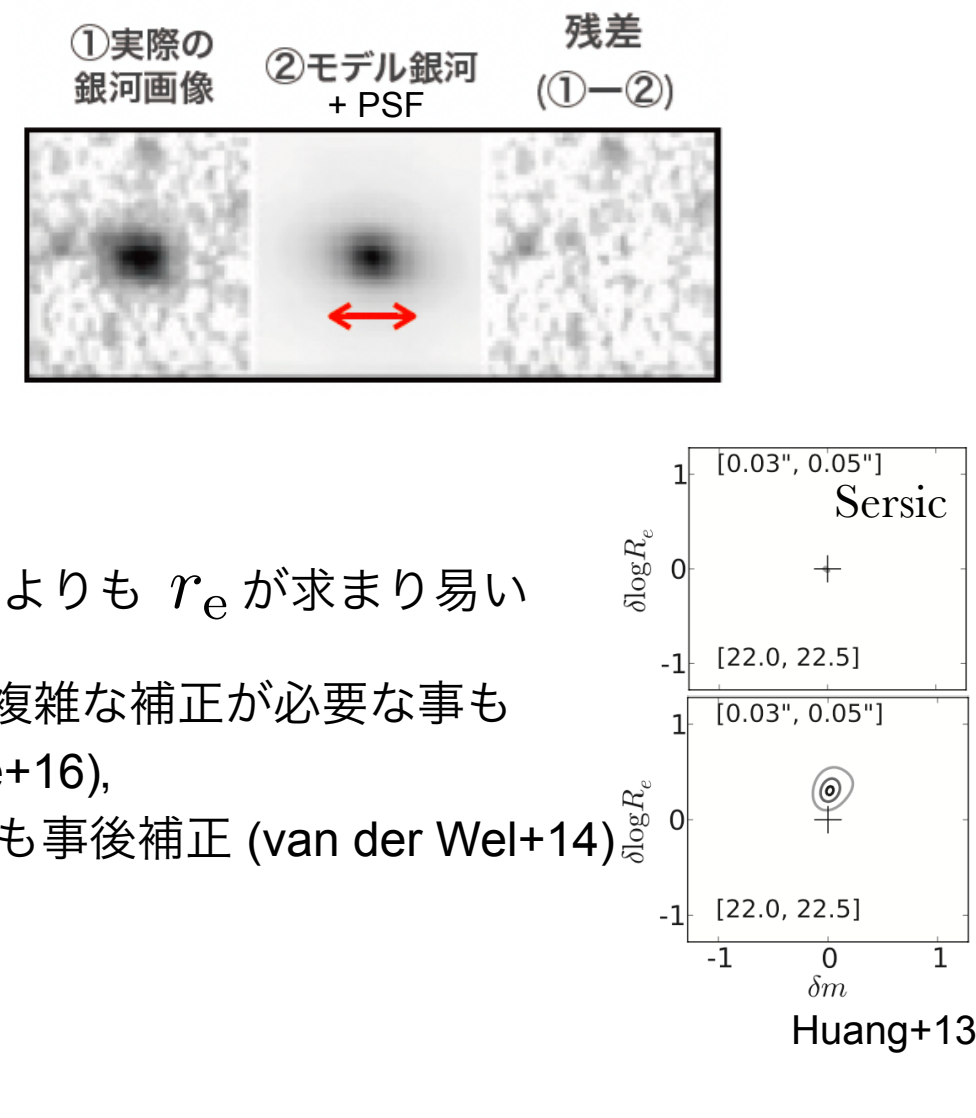
# セルシック則

輝度 profile をセルシック則でフィット



あくまで定量化方法  
 セルシック則自体に物理的意味があるわけではない

通常, 軸比  $q$  なども加えて 2 次元で



- 成長曲線などよりも  $r_e$  が求まり易い
- 成長曲線は複雑な補正が必要な事も (Curtis-Lake+16),  
 PSF の影響も事後補正 (van der Wel+14)

良い

分かり易い, PSF broadening の考慮,  
 (銀河が"素直な"形をしていれば) ノイズに強い

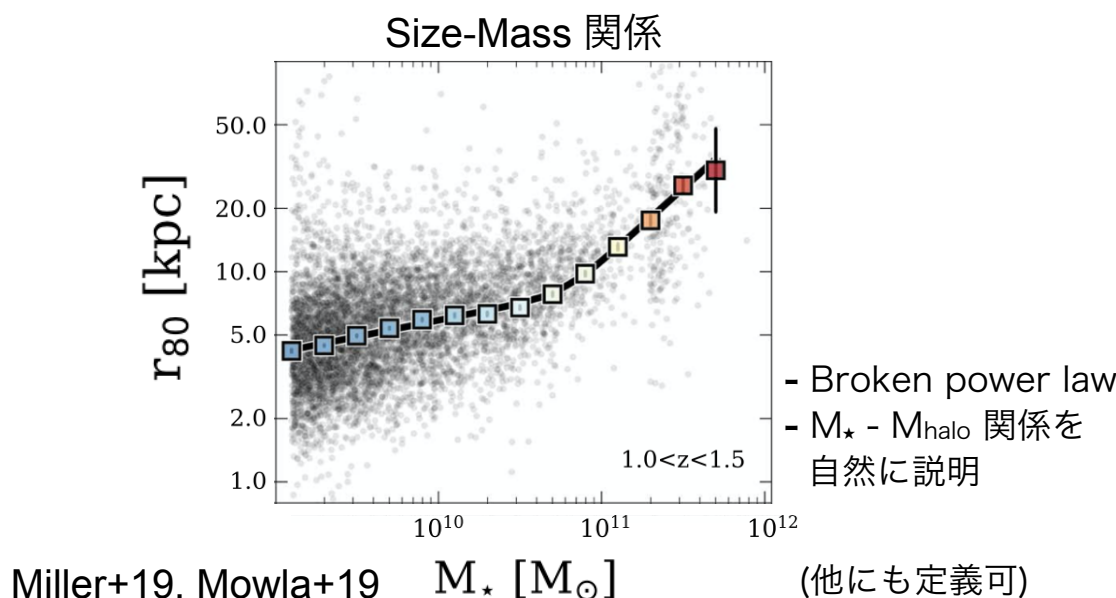
悪い

パラメトリック, 低速

# サイズ, 円盤/橢円 - その他の定量化方法

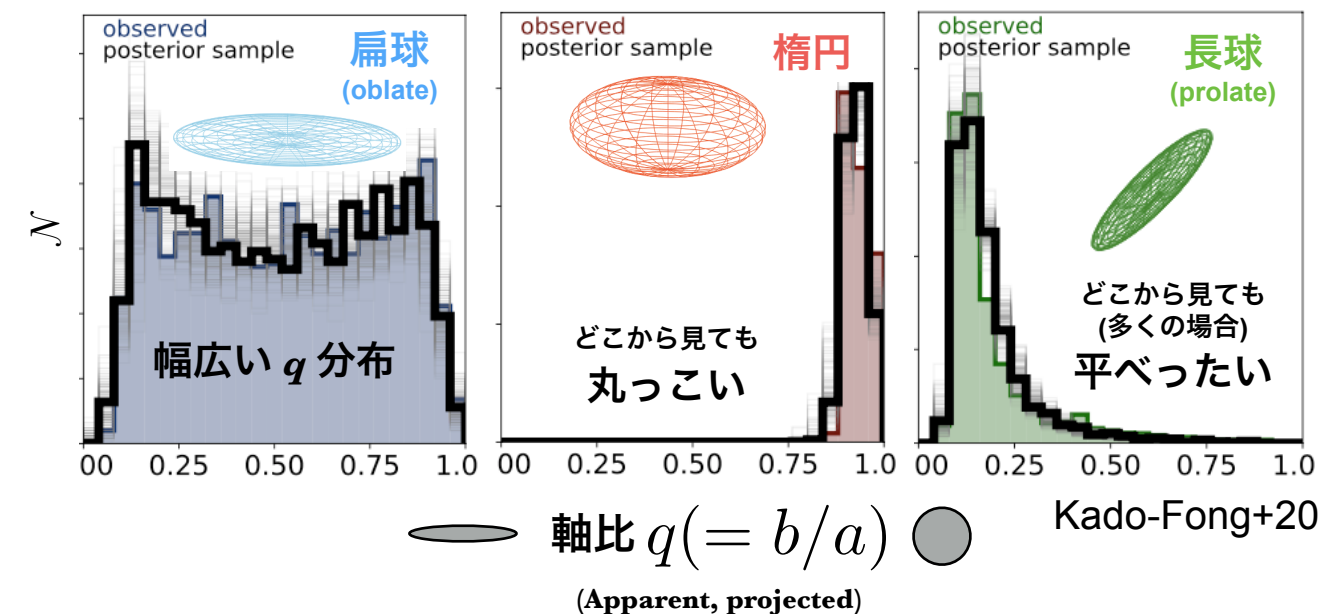
## 80%光度半径 $r_{80}$

- ✓  $r_e (= r_{50})$  は  $n$  に強く依存
- ✓  $r_{80} \rightarrow$  サイズをより統一的に

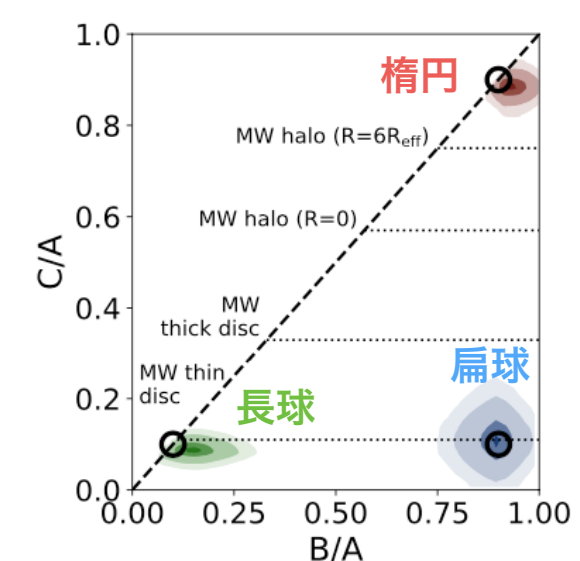
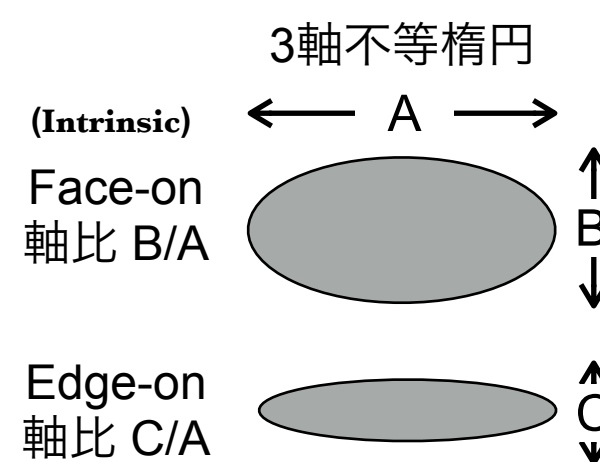
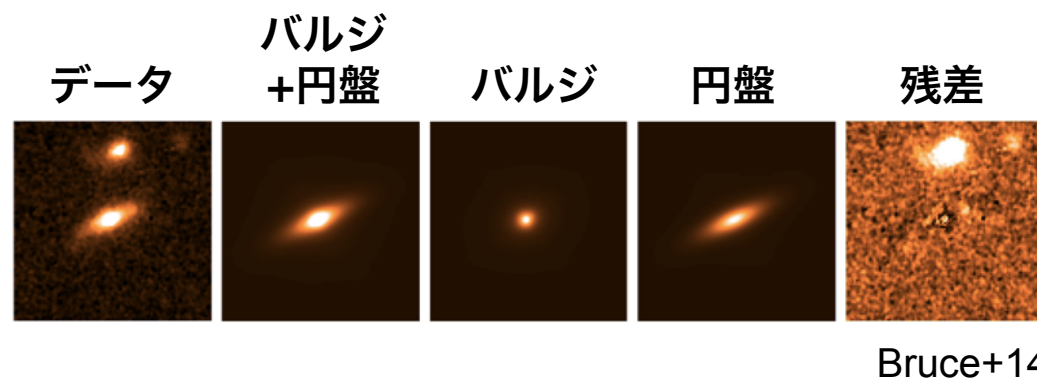


## 軸比分布

軸比  $q$  (from e.g., Sersic fit) の頻度分布 → 平均的な 3次元形態

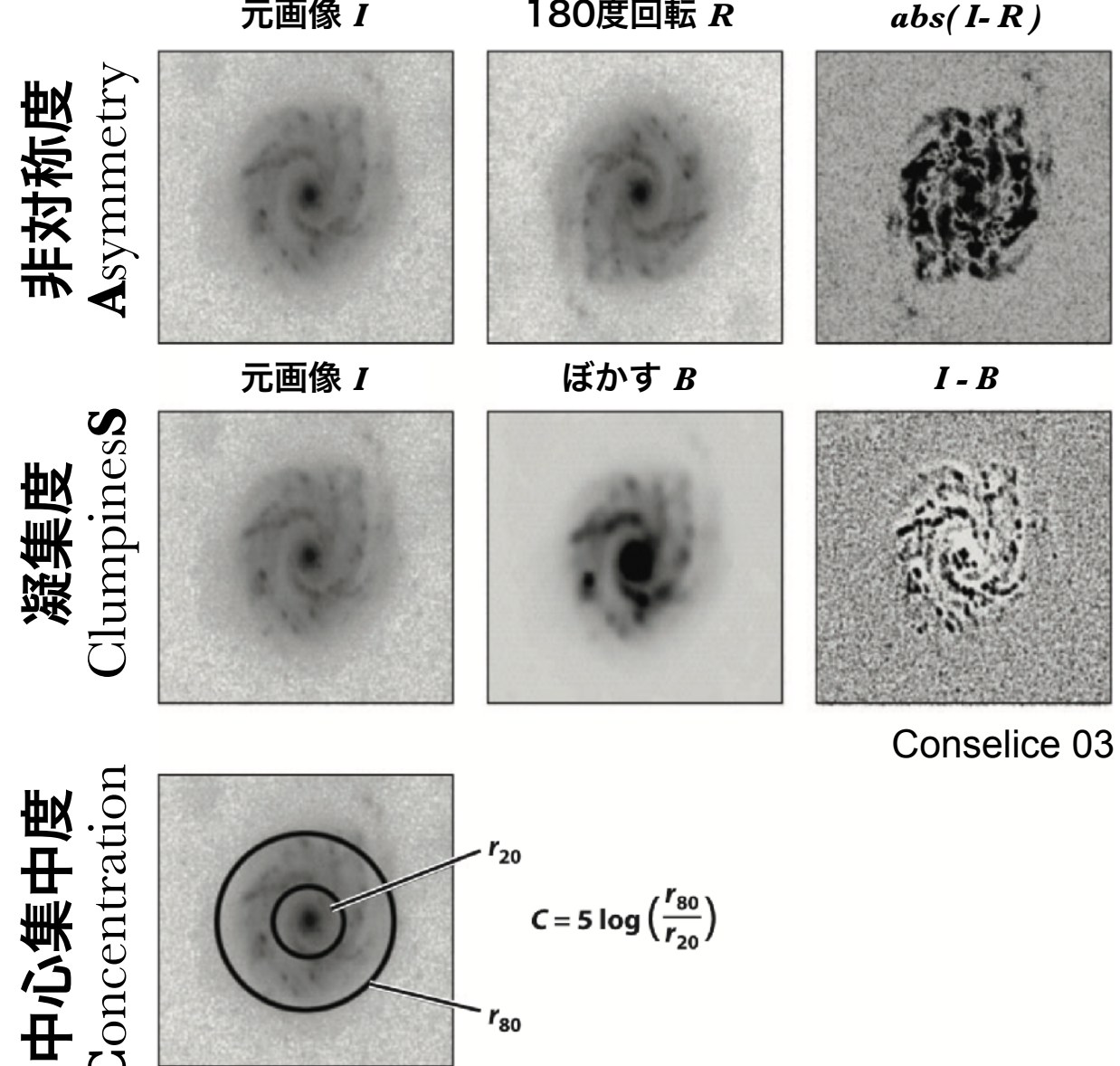


## 2-component Sersic fit

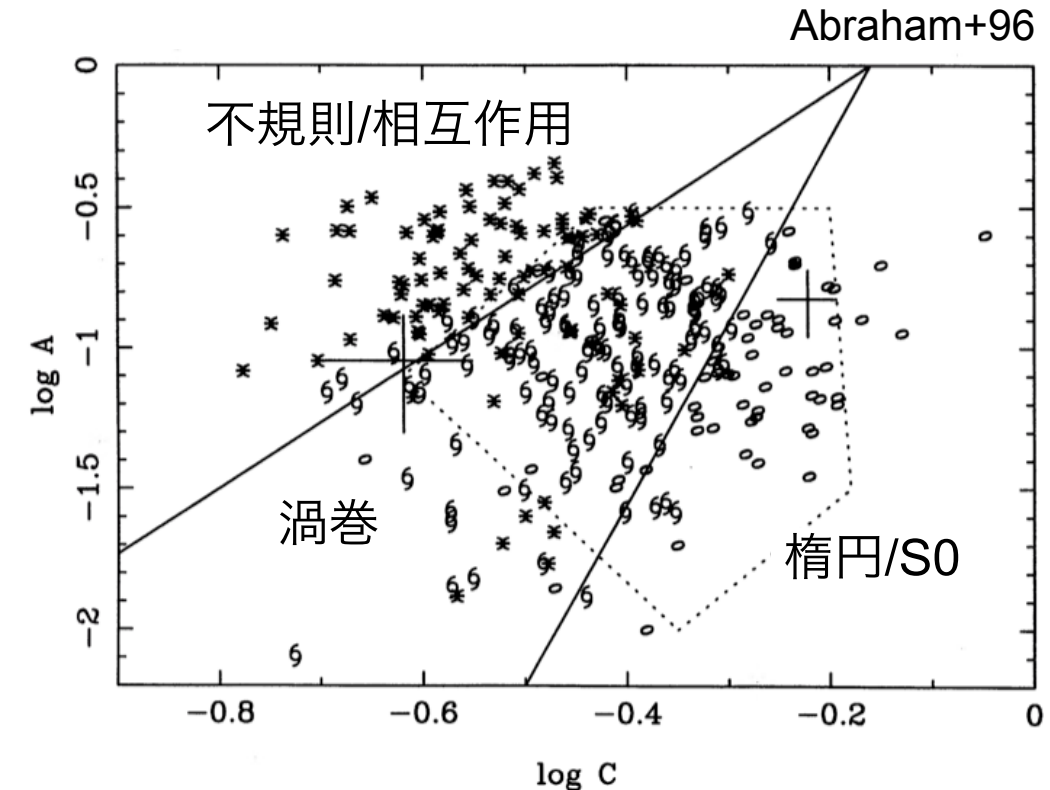


$B/A, C/A$  の平均, 分散などをパラメータに  
ランダムな方向から見て観測と比較

# 形態指標



他にも  $G$  ジニ係数 (Abraham+03)  
 $M_{20}$  明るいフラックス20%のモーメント (Lotz+04)  
 $\Psi$  Multiplicity (Law+07a) など



- ✓ 形態指標を組み合わせて分類可能
- ✓ しかし、単純な平面では高精度の分類は難しい → 機械学習

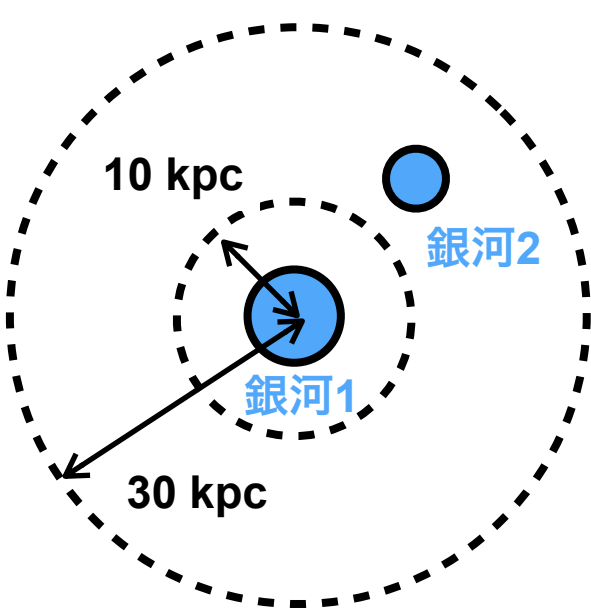
---

良い	ノン-パラメトリック, 単純, 実装し易い
悪い	低精度 (~70-80%)

---

# 合体銀河の定義

## Close-pairs



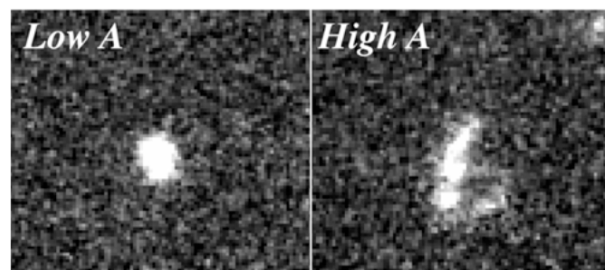
- ✓  $R_{\text{proj}} = 10 \sim 30 \text{ kpc}$
  - ✓ 光度比(質量比)  $L_1:L_2 (M_1:M_2)$   
 $= 1:1 \sim 4:1 \rightarrow \text{major merger}$   
 $= 4:1 \sim 10:1 \rightarrow \text{minor merger}$
- (赤方偏移情報  $z_{\text{phot}}, z_{\text{spec}}$  があれば)  
 $\Delta z$  が小さいもの ( $< 0.1, 0.2$  など)  
 $\Delta z \equiv |z_1 - z_2|/(1 + z_1)$
- (e.g., Man+16, 数値は研究によって少し変わる)

See also, Ventou+19

- 簡単 + 割と高精度 (major の場合)
- 統計的研究が容易

銀河2の検出限界に注意  
minor だと難しくなる

## 歪んだ形態



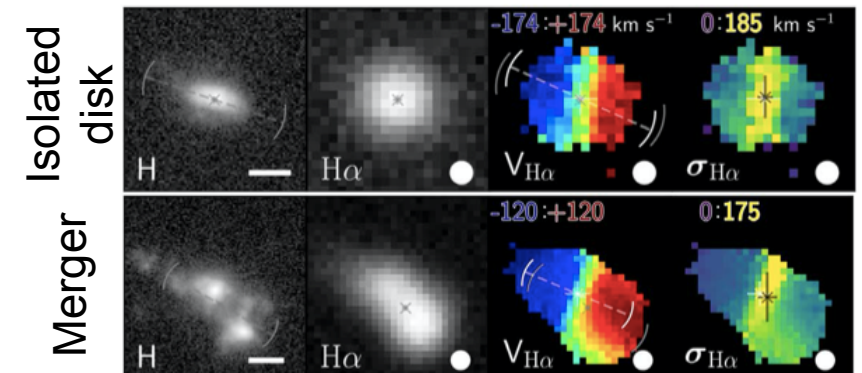
Shibuya+14a

- ✓ 形態指数  $A$  が高いものなど
- ✓ 他の形態指数との組み合わせも (前頁)  
→ 合体後期段階の検出

## 力学構造

### 分光データから分類する試み

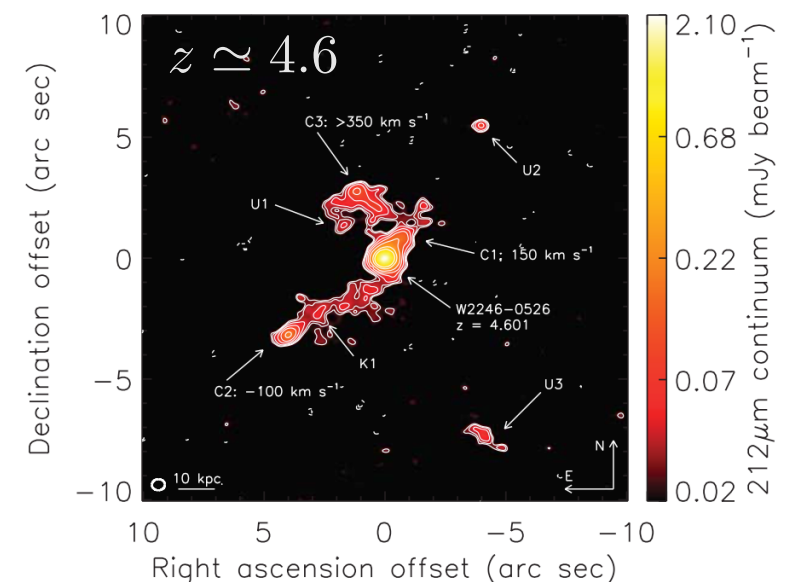
Simons+19



真面目にやると結構難しそう

## ガス, ダスト観測

Díaz-Santos+18

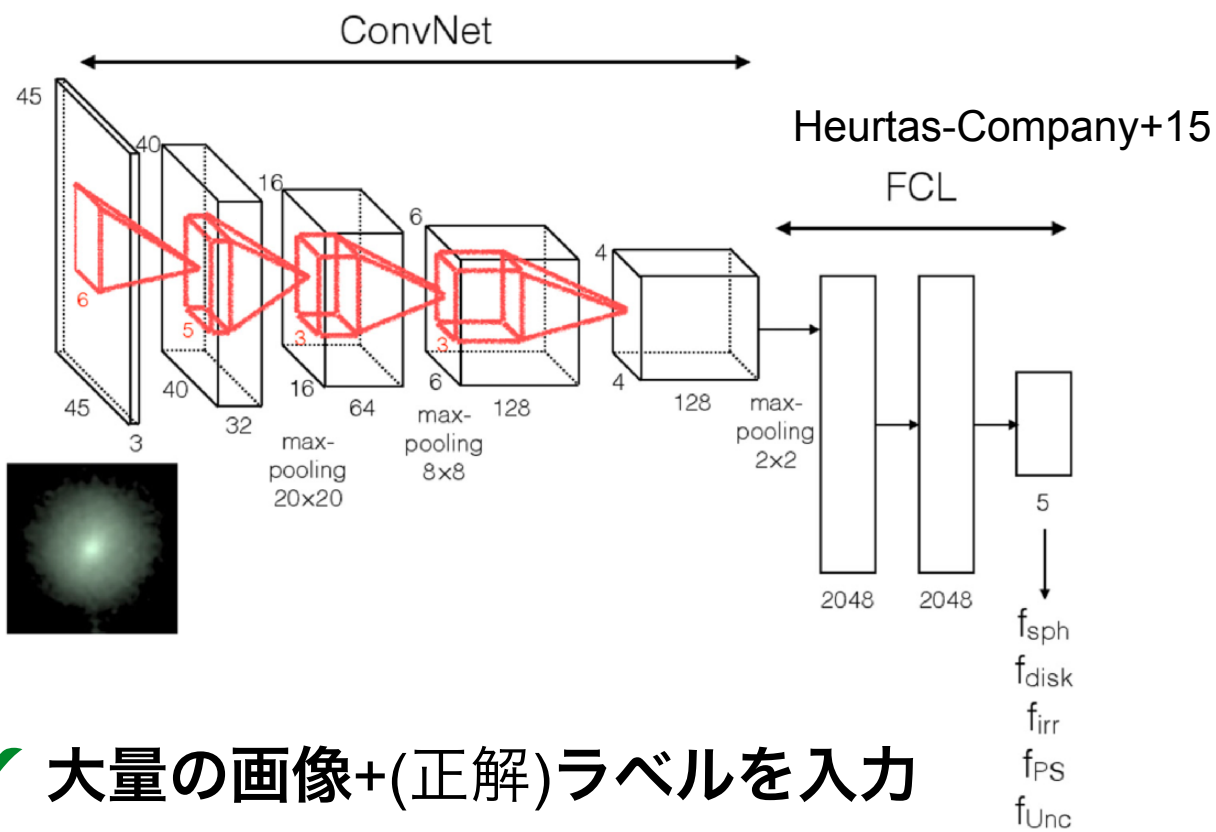


銀河間の gas/dust “bridge” の有無

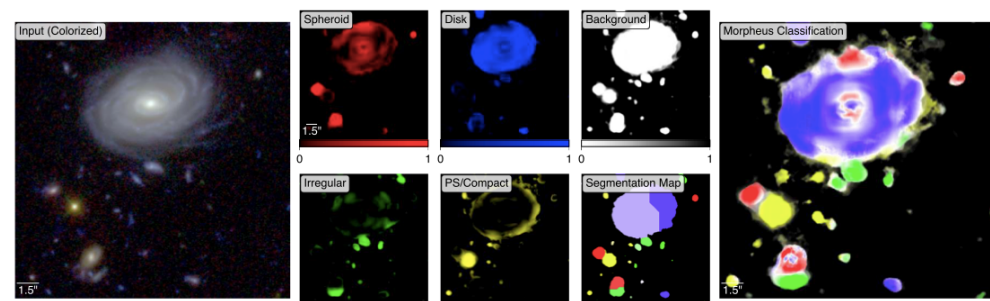
最近は機械学習も (e.g., Pearson+19)

# 機械学習 (形態分類)

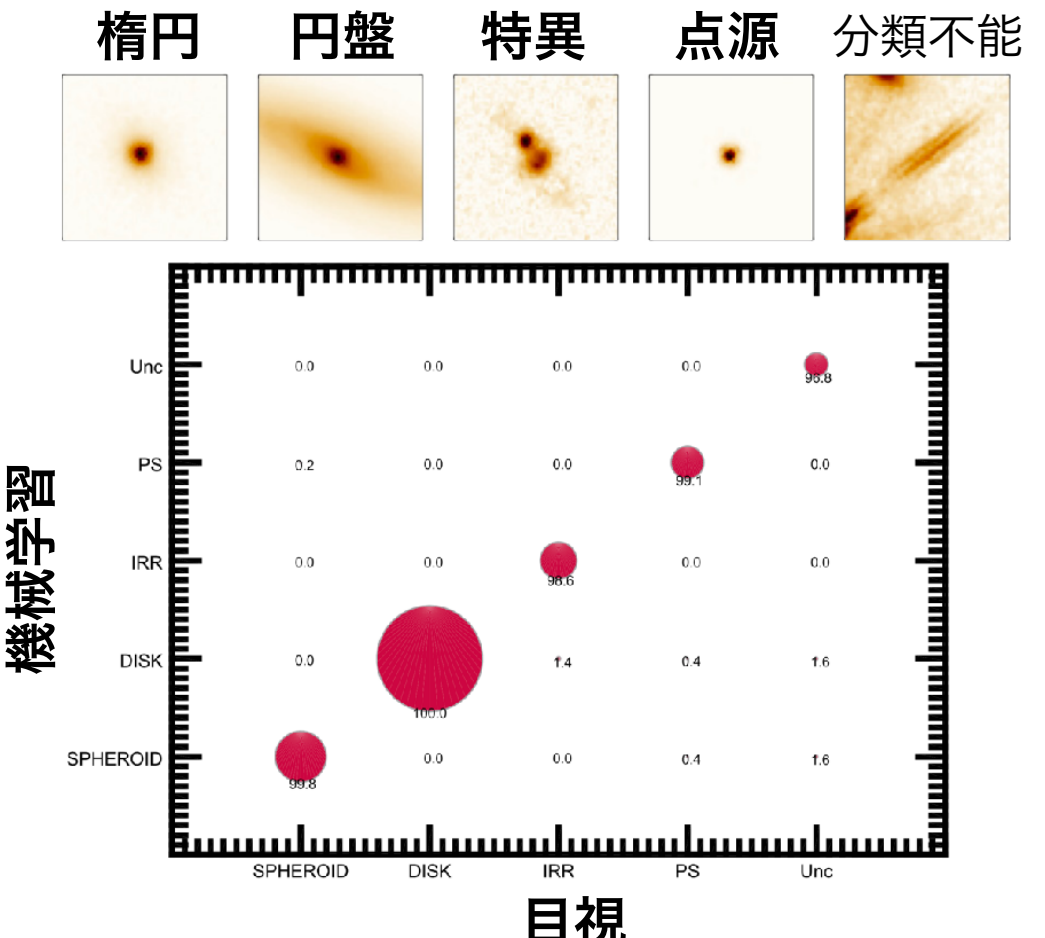
## 畳み込みニューラルネットワーク (CNN)



- ✓ 大量の画像+(正解)ラベルを入力
- ✓ 形態的特徴を学習
- ✓ 新たなデータに対して分類



Hausen & Robertson 20 ピクセルレベルの分類も



高精度, > 95-99% (明るさなどに依る)

良い

高速, 高精度

悪い

実装し難い (but, Tensorflow など),  
大量の教師データ (but, 転移学習など)

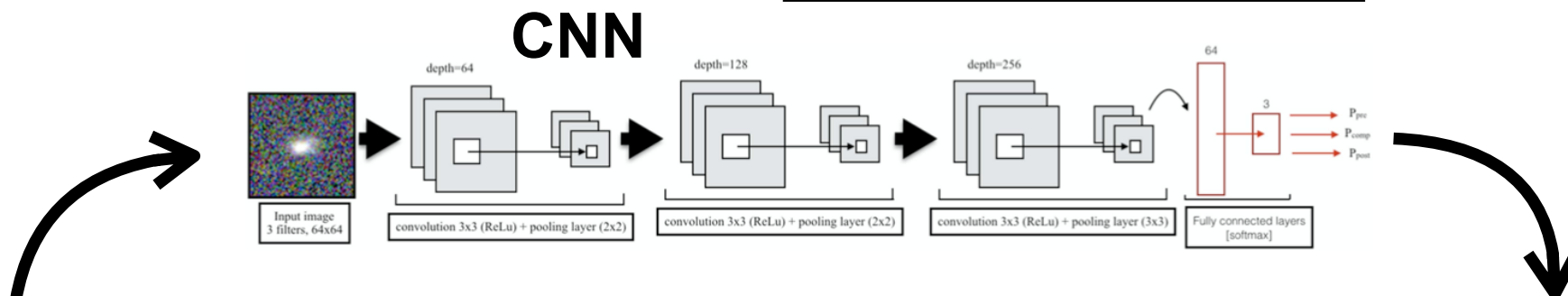
See, e.g., Ackermann+18,  
Domínguez Sánchez+19

# 機械学習 (Simulation 画像 + 形態分類)

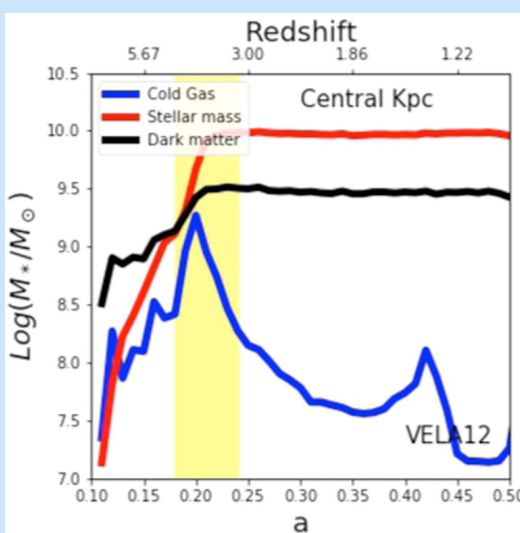
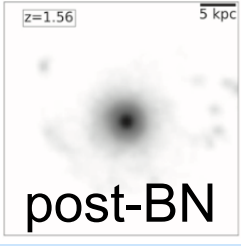
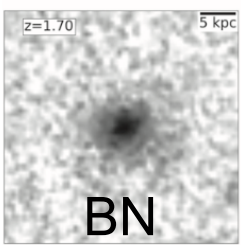
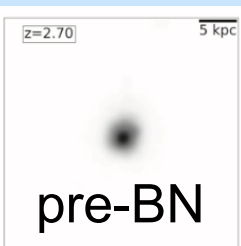
Simulation 画像を入力, 観測画像を分類

例) Blue nuggets (BN) の分類

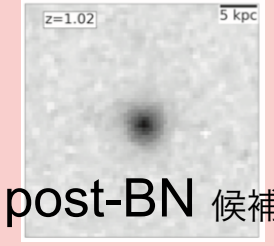
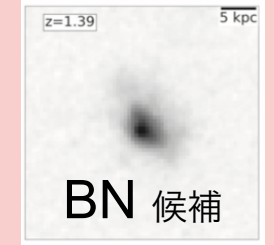
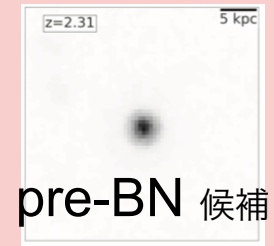
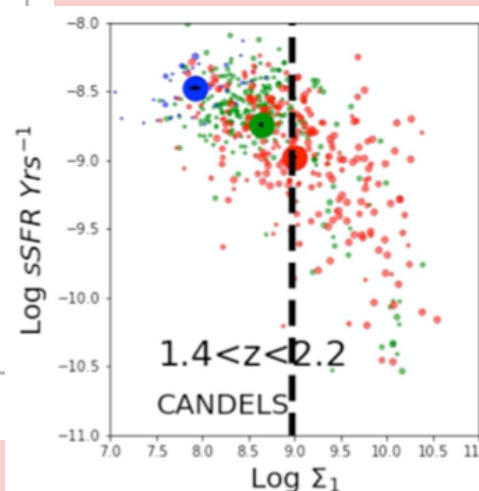
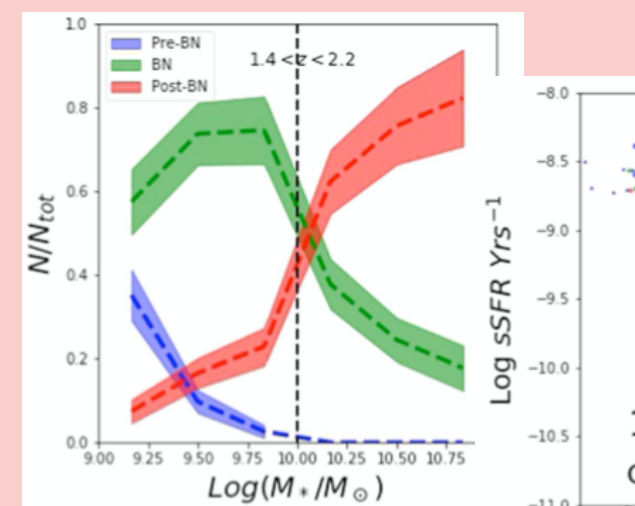
目視判断できないような形態的特徴も学習



Simulation (VELA)



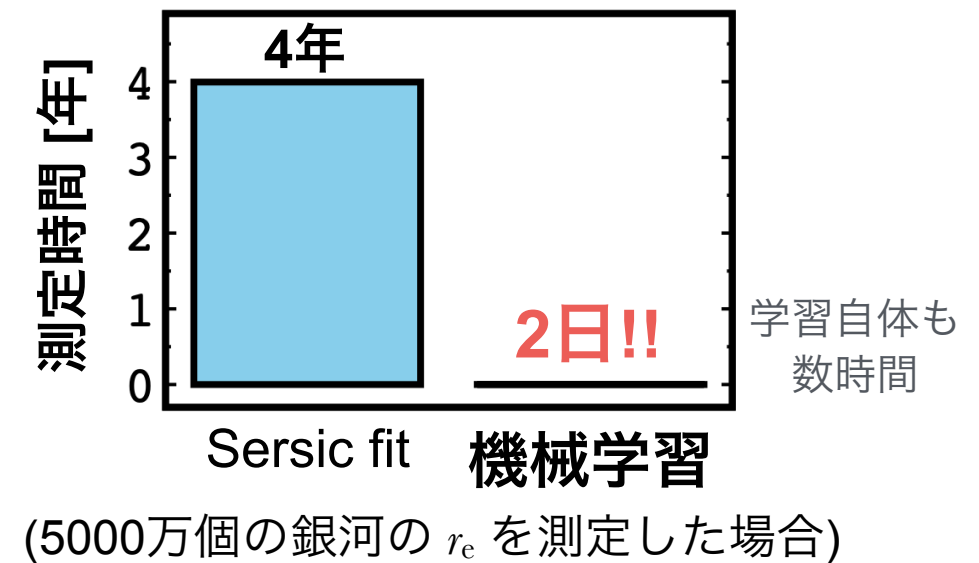
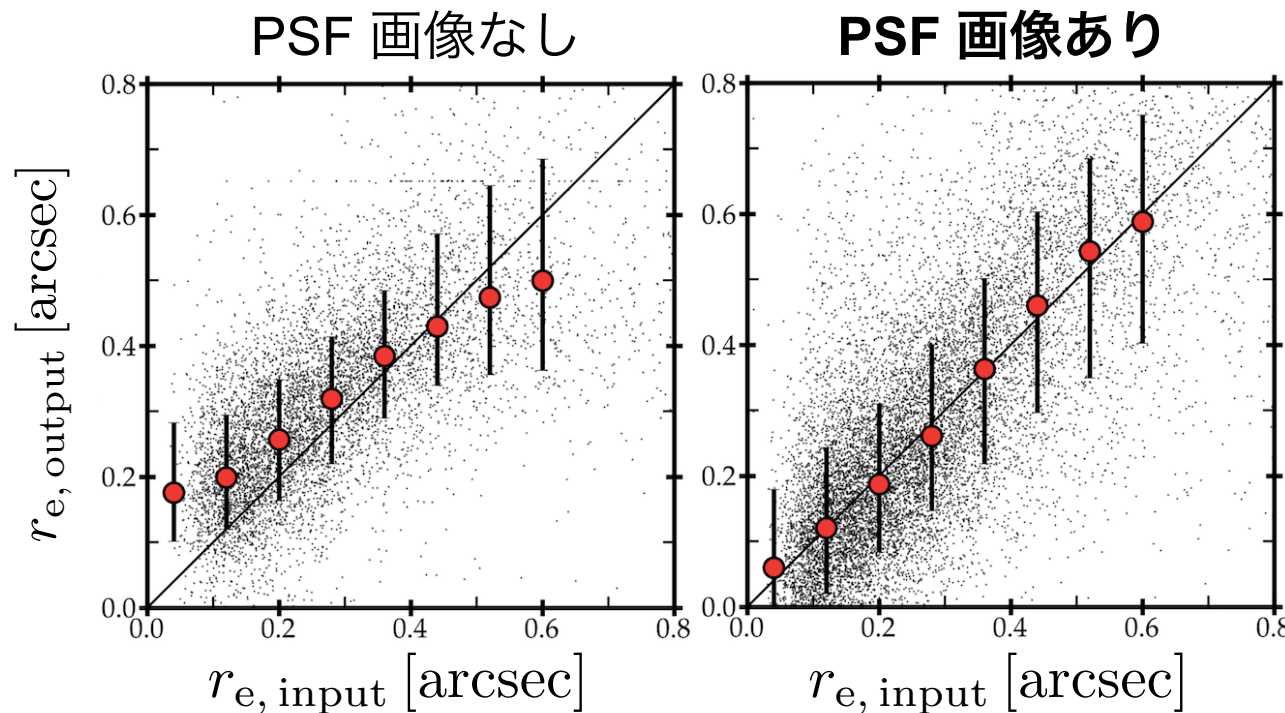
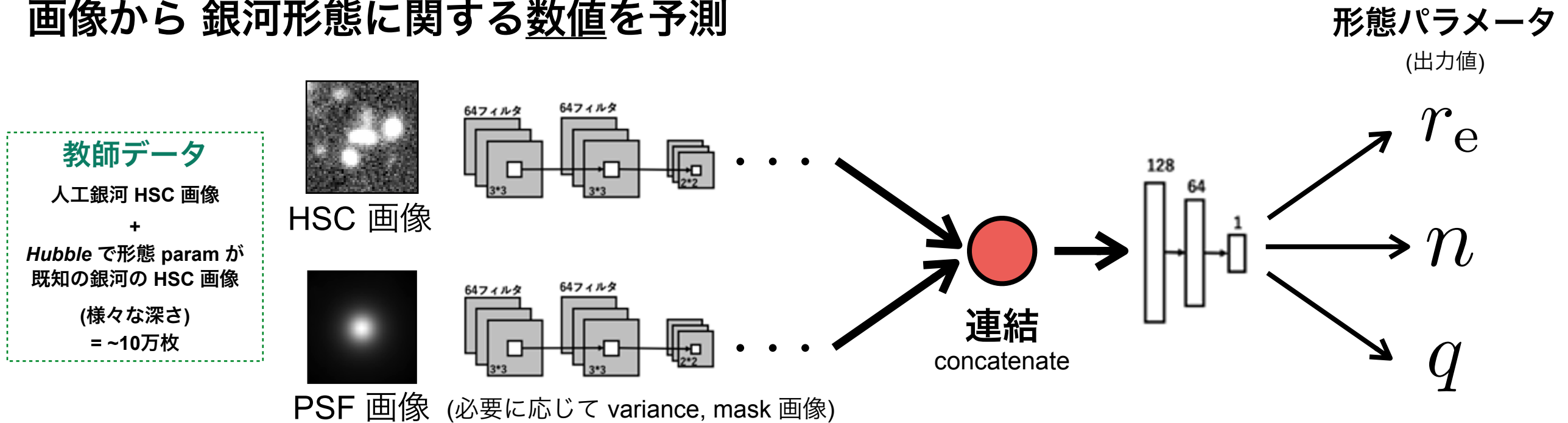
観測 (Hubble)



光度, 質量の情報を入力していないのに  
BN 星質量 理論予想などを再現

# 機械学習 (回帰)

画像から 銀河形態に関する数値を予測



Umayahara+in prep.

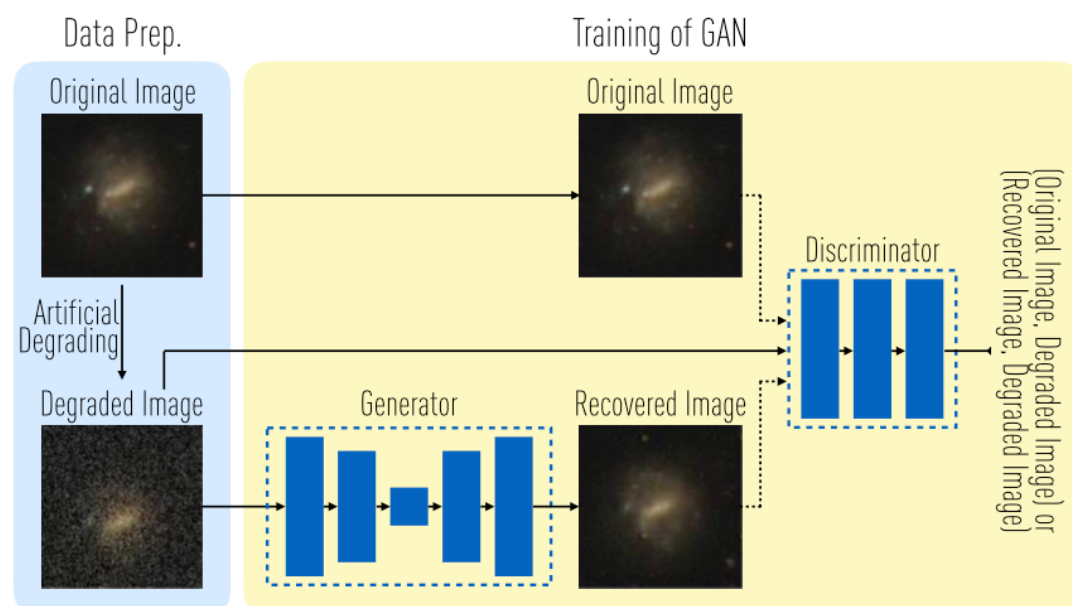
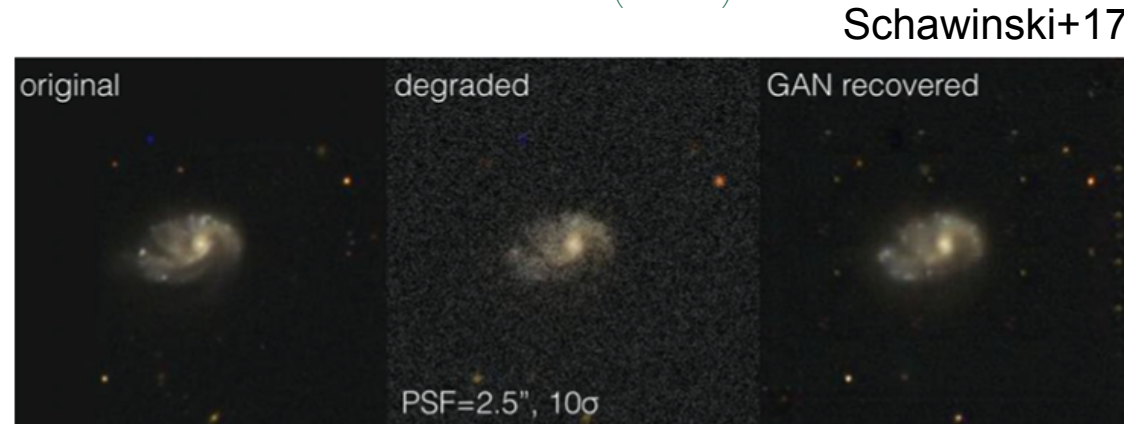
See also, Tuccillo+18, Ribli+19

→ HSC, VRO, RST 時代に必須の技術 (後述)  
(LSST), (WFIRST)

# 画像高解像度化

## 敵対的生成ネットワーク

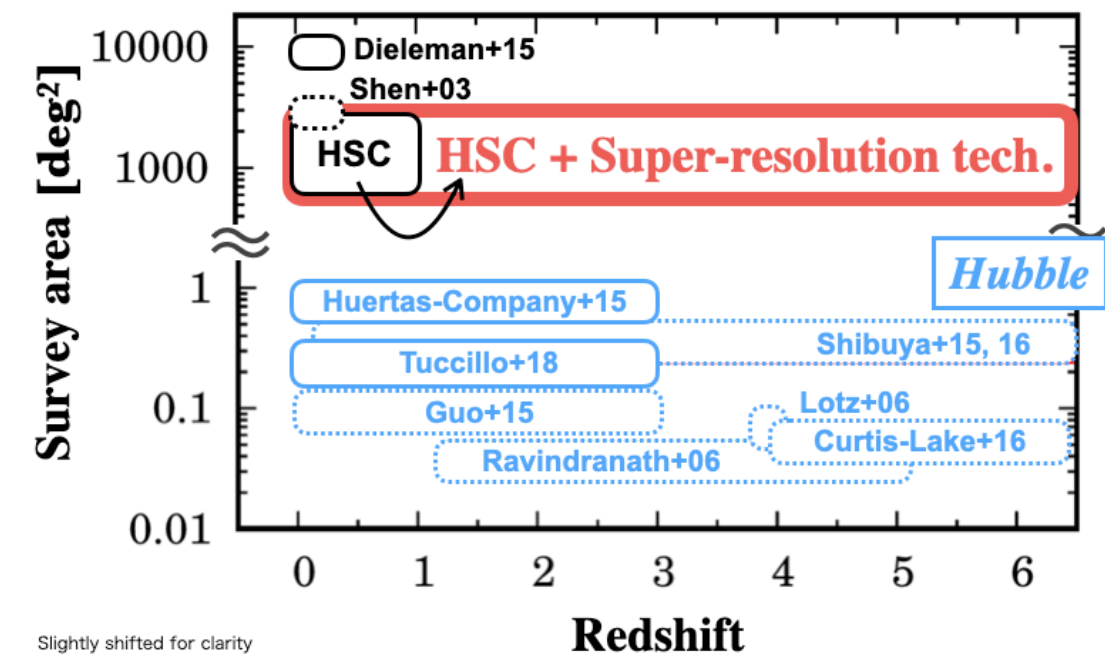
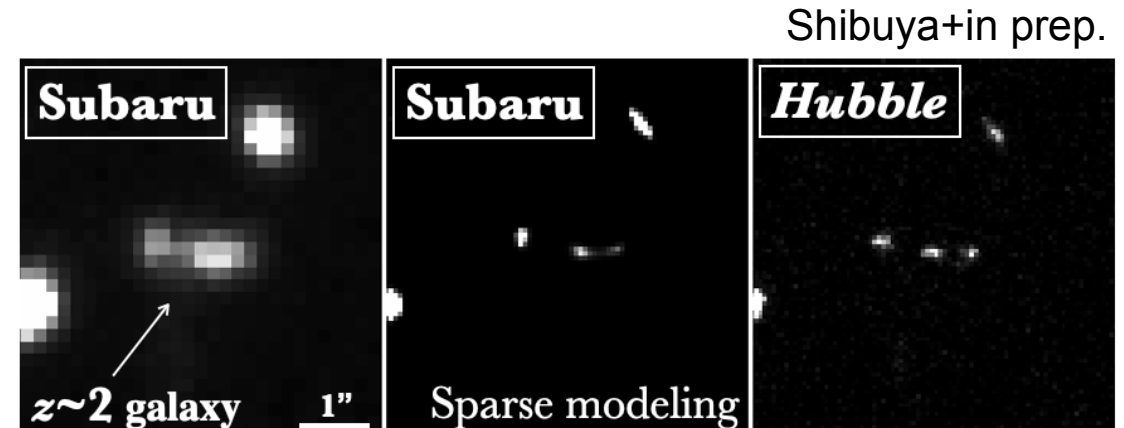
Generative Adversarial Network (GAN)



- 元の画像の質を人工的に落とす (S/N, 分解能)
- 画像を復元, 元画像と比較
- どちらが本物か判断, 繰り返し学習
- 高品質 復元画像へ

他にも色々な GAN  
e.g., Dominic+18

## スパースモデリング



- ✓ Merger fraction of bright-end galaxies
- ✓ Morph-density relation of  $z > 2$  (proto-)clusters
- ✓ High- $z$  rare populations (e.g., red/blue nuggets)

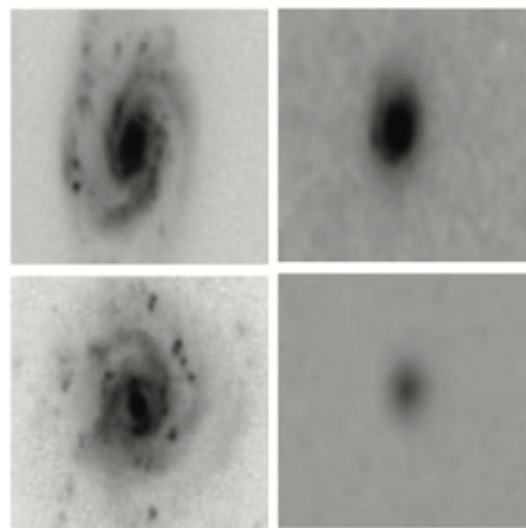
など が可能に

# 形態進化研究の注意点

## 宇宙論的表面輝度減光

Cosmological Surface Brightness Dimming

$(1+z)^{-4}$  の表面輝度減光を受け、high- $z$  の  
 $z=0$        $z=2.5$       淡い構造が見えなくなる



Conselice 14

### 対処法

- ✓ 人工的に減光画像を作成  
→ 比較
- ✓ 複数画像を足し合わせ  
→ 深い画像(サイズなど)

形態指数などの場合 → 補正項

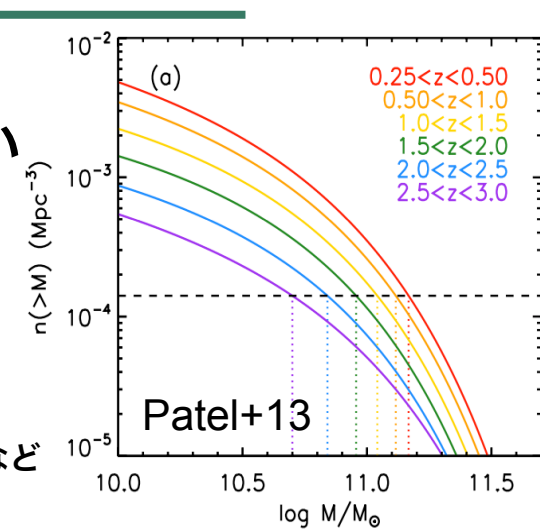
$$A_{\text{final}} = A_{\text{obs}} + \delta A_{\text{SB-dim}} + \delta A_{\text{k-corr}}$$

## Progenitor Bias

low- $z$ /high- $z$  の間で  
銀河は直接の進化関係はない

↓  
関係付け

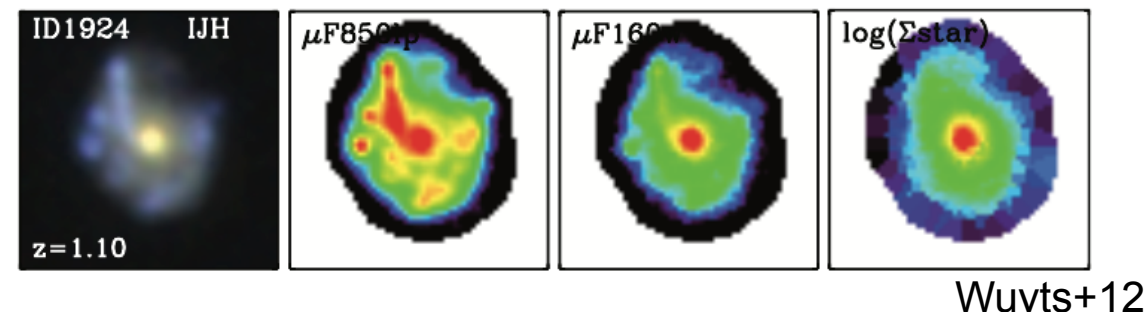
- ✓ 同一個数密度
- ✓ 星形成史など



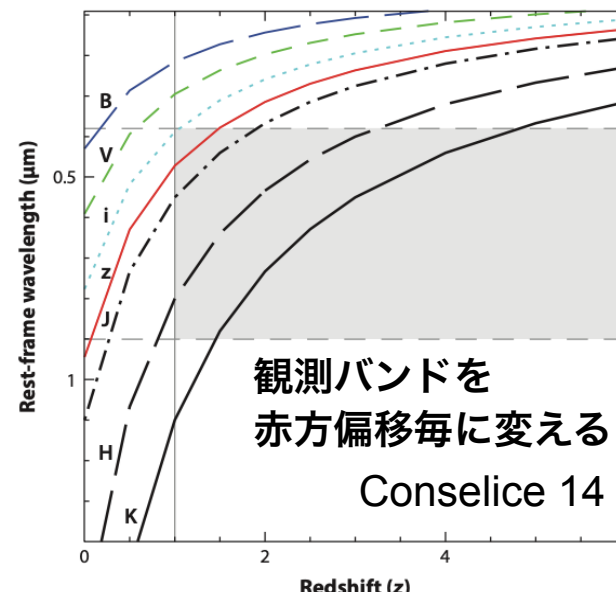
## 形態K補正

Morphological K-Correction

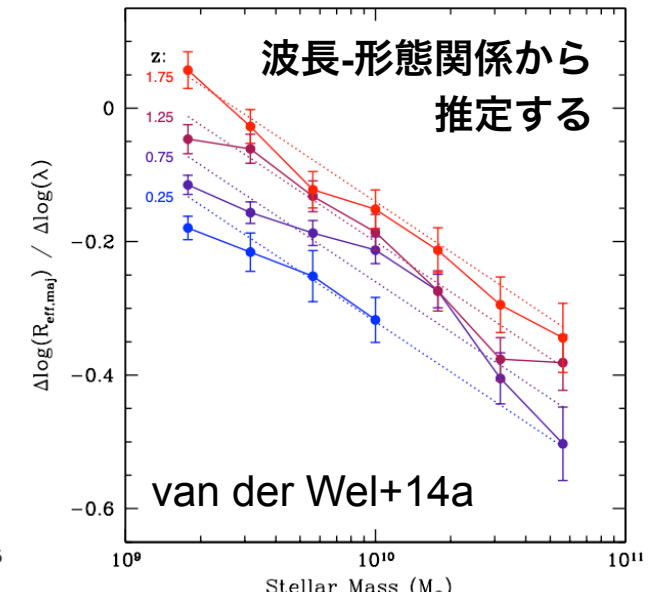
観測波長によって形態が変わる



### 対処法



観測バンドを  
赤方偏移毎に変える



(光度、重さなど)

単純に同一銀河種族の形態進化傾向を見る場合は、  
low- $z$ /high- $z$  で光度、重さなどを合わせる

## 2. 現状の理解

形態進化の概要

サイズ進化

大局的形態 ( $n$  など)

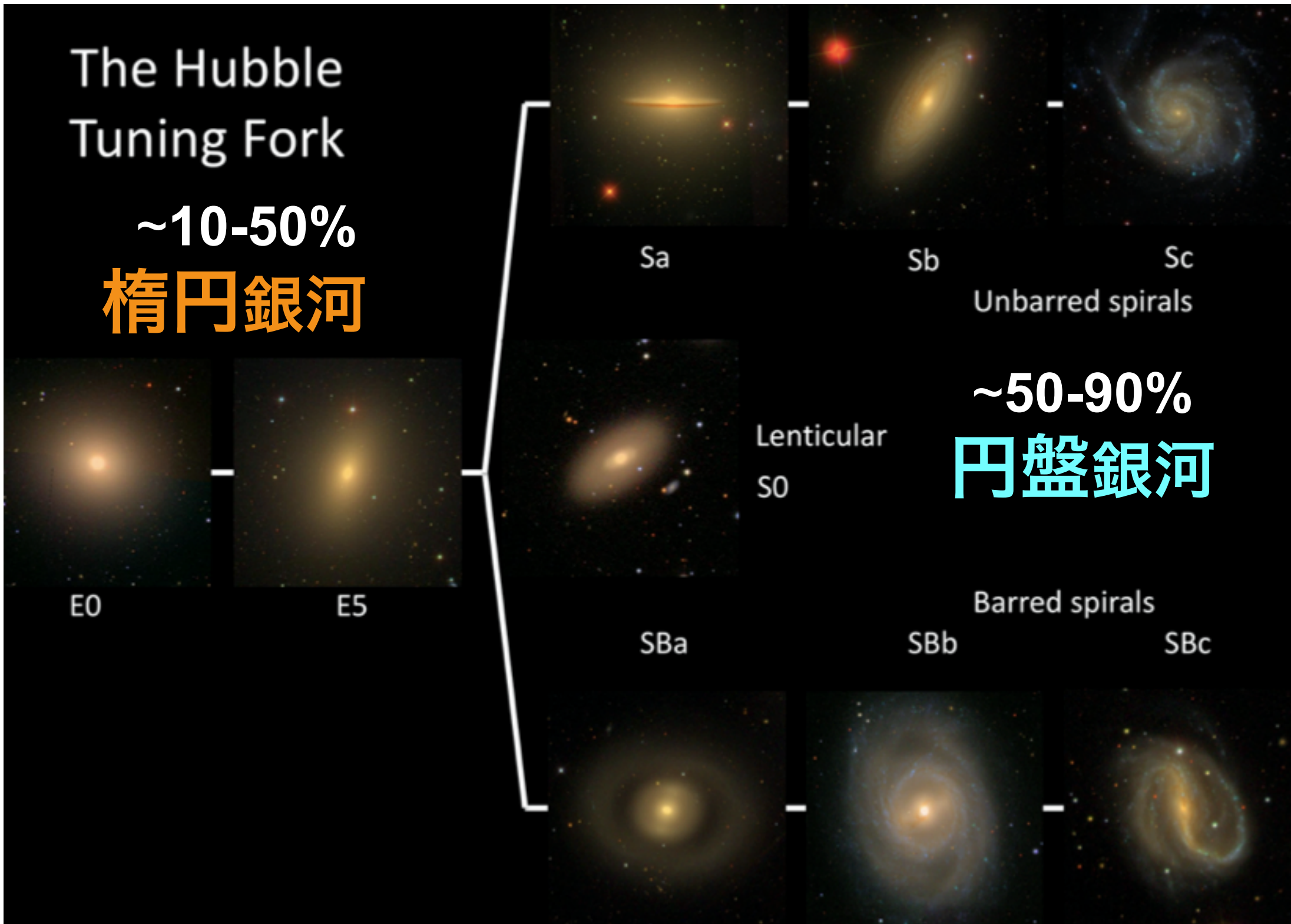
塊状銀河

Red/Blue Nuggets

合体銀河

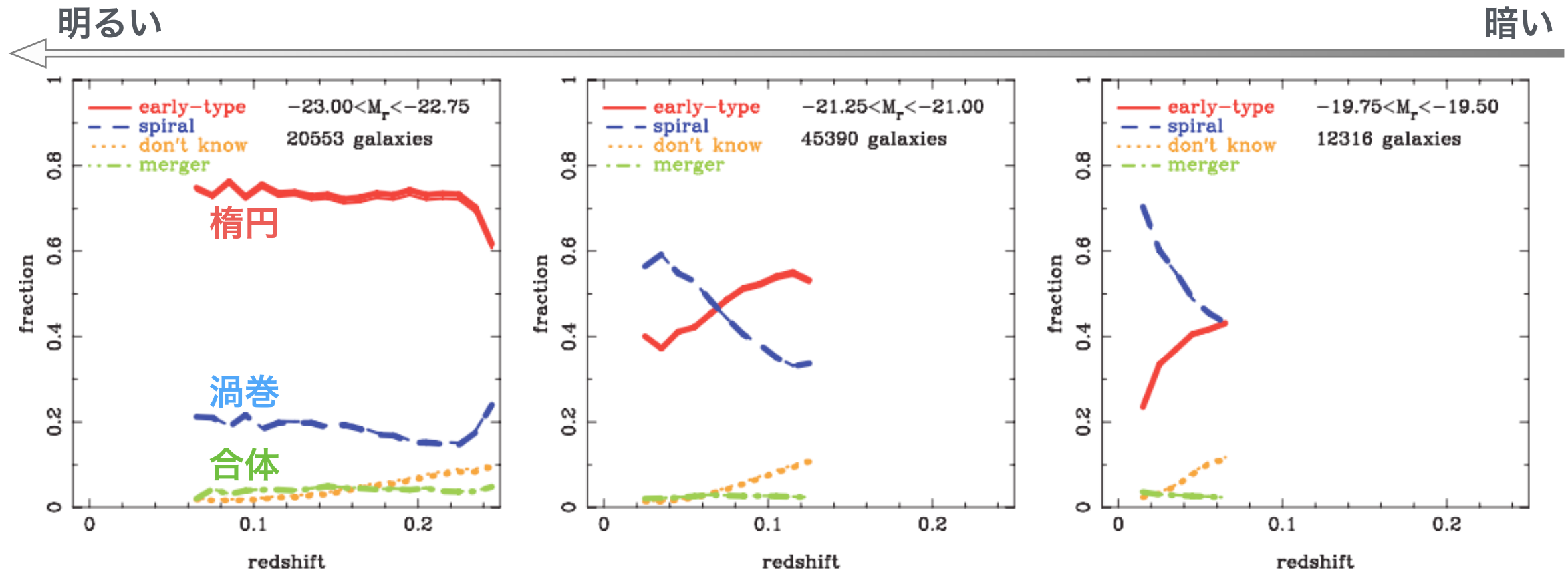
銀河環境と形態

# 近傍銀河の形態

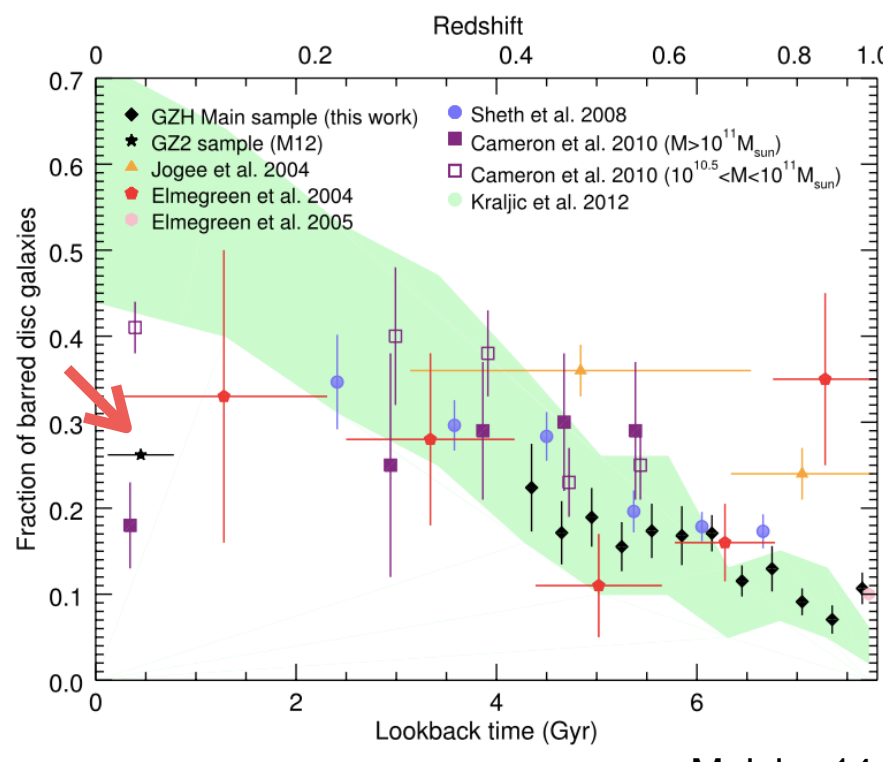


※割合は定義(測定方法, 基準など), サンプル(重さ, 明るさなど)によって変わる

# 近傍銀河の形態：Galaxy Zoo では



Bamford+09  
(Galaxy Zoo の初期結果)

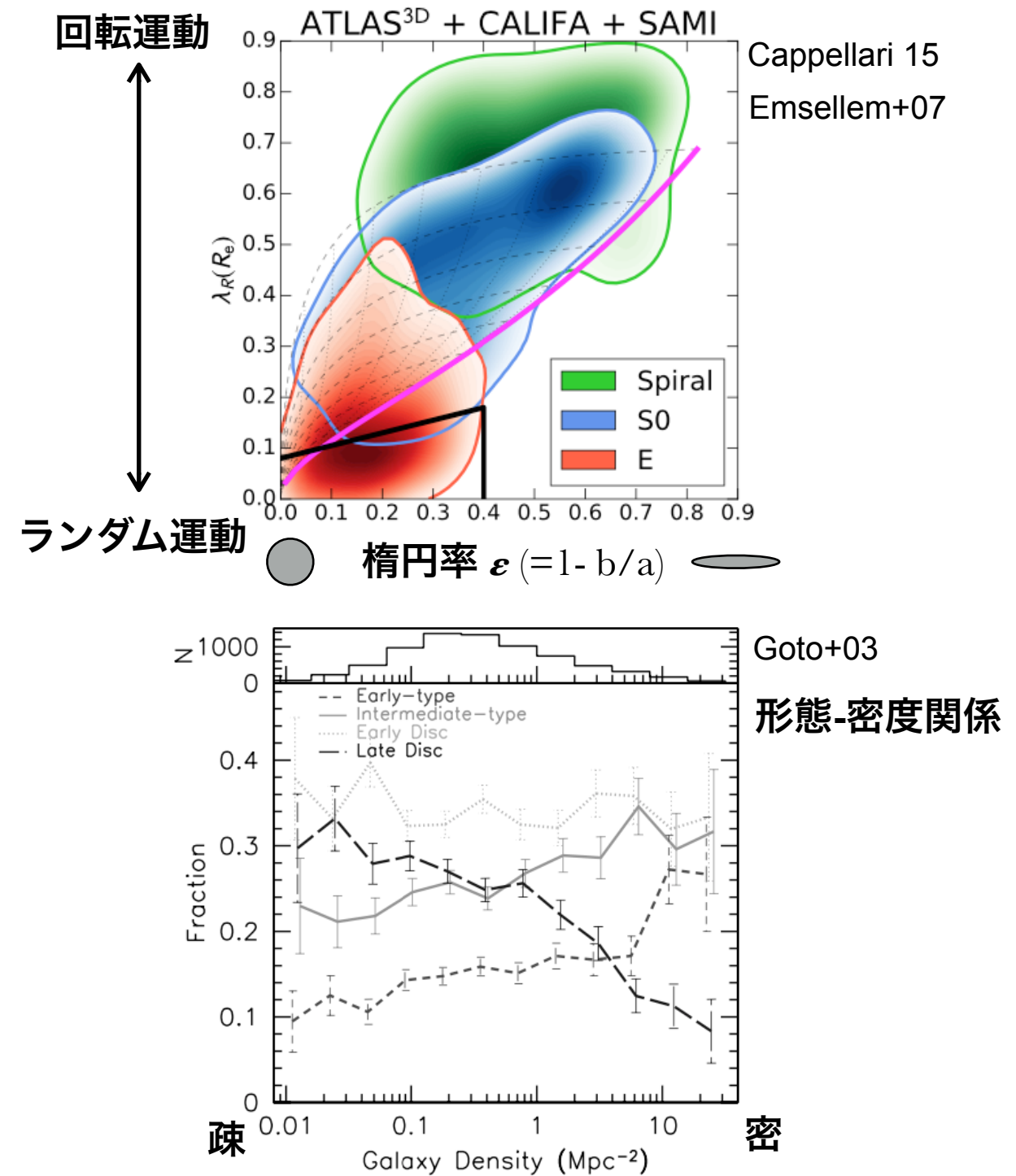
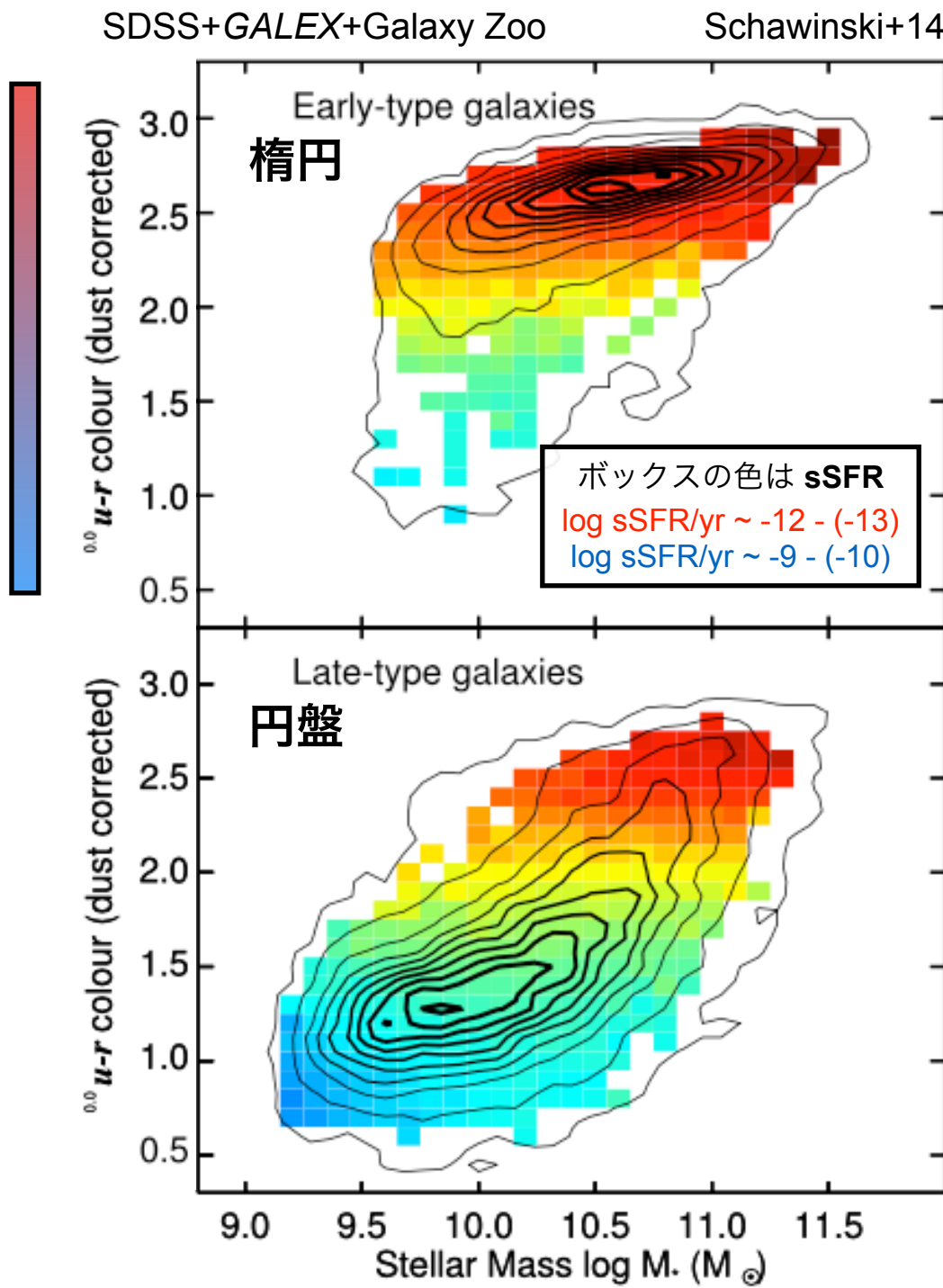


明るい(~重い)ほど橢円銀河の割合が増える  
 $M_r \sim -21$  で橢円/渦巻 半々くらい

円盤銀河のうち  
棒構造を持つ銀河の割合  $N_{\text{bar}}/N_{\text{disk}}$

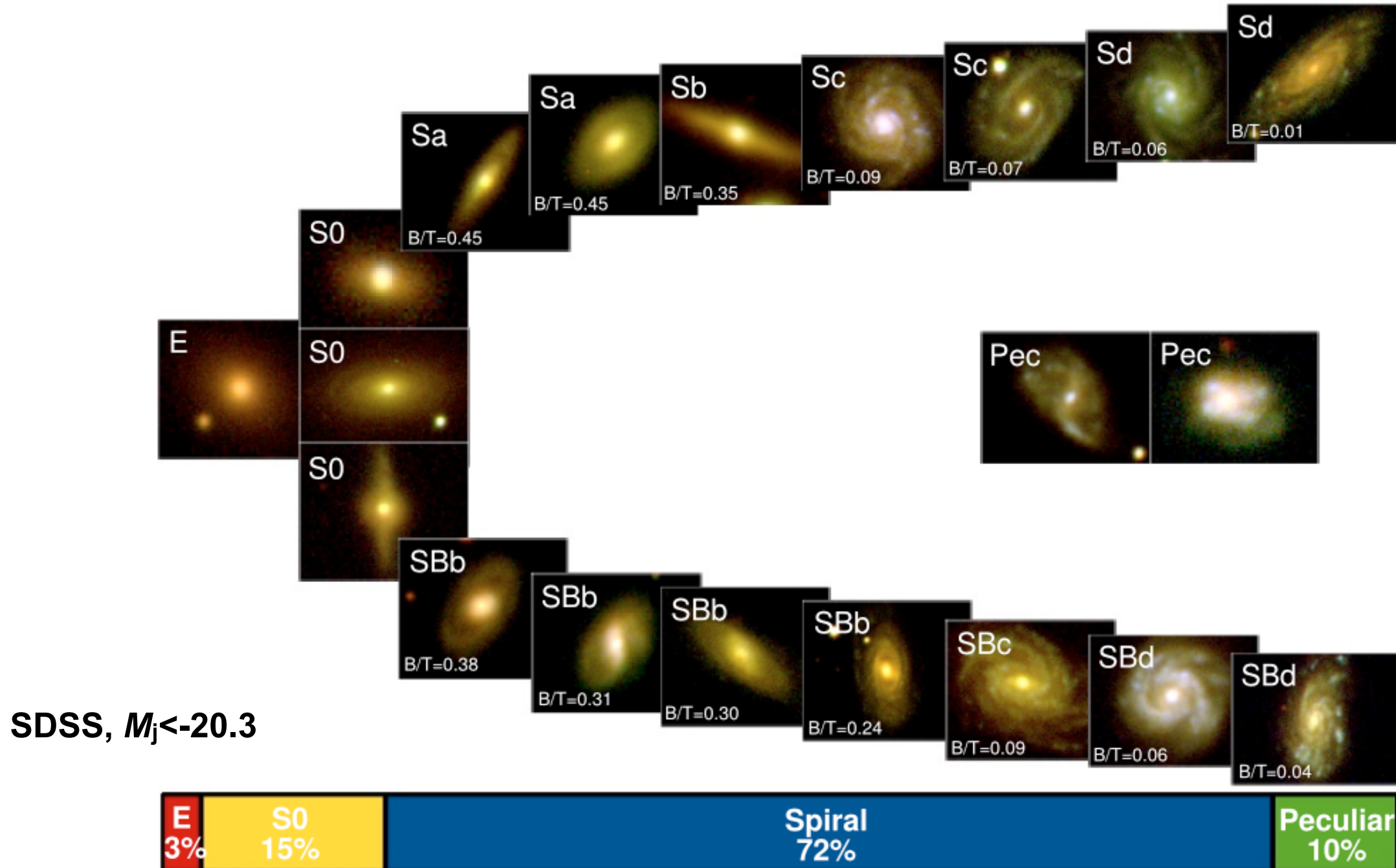
(Galaxy Zoo では)  $\sim 20 - 30\%$  ( $\log M_*/M_{\odot} \geq 10$ )

# 形態と物理量の関係 $z \sim 0$



(円盤に対して相対的+典型的に) 楕円は 赤い, 重い, 高 sSFR, ランダム運動, 高密度環境に多い

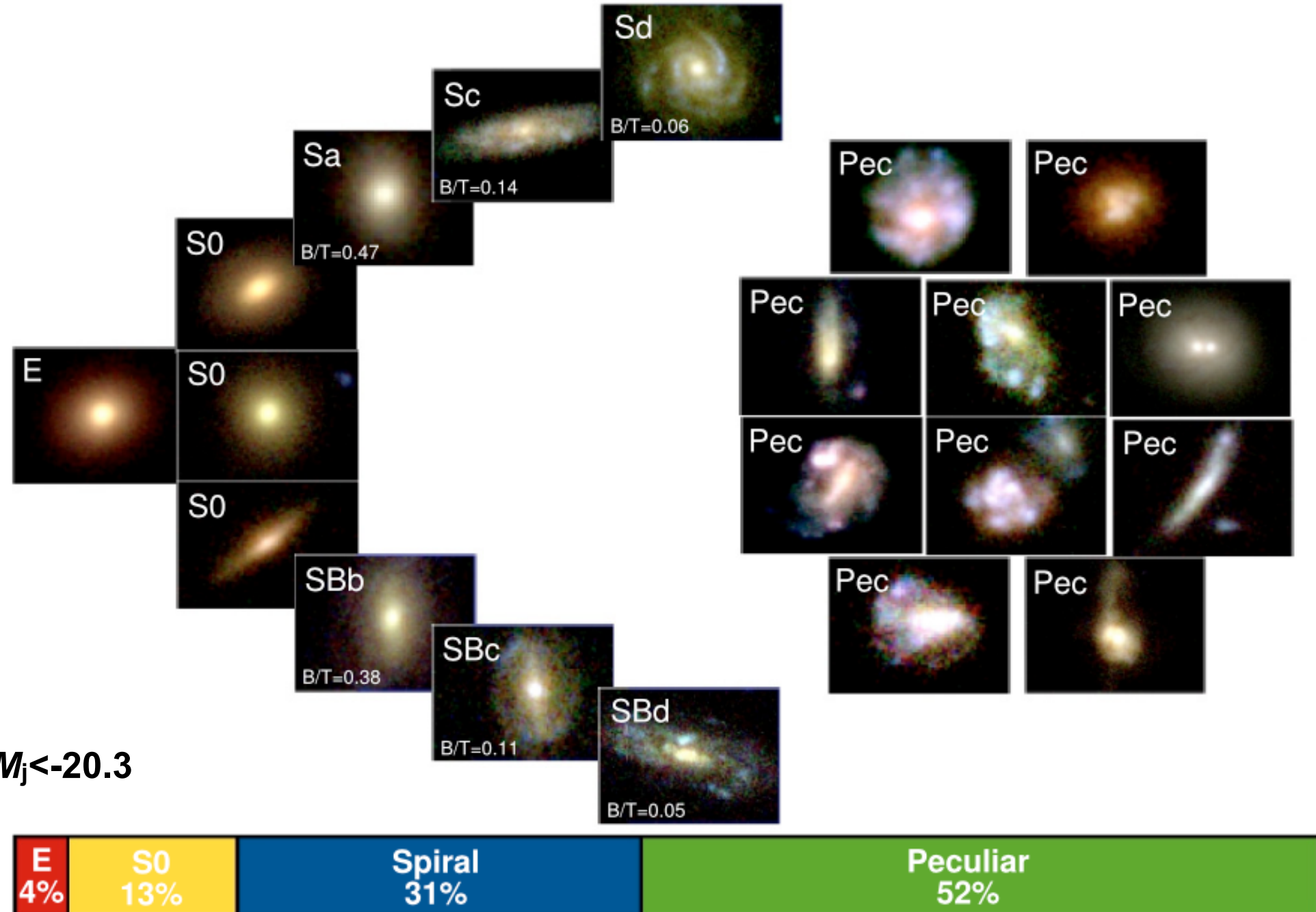
# ハッブルの形態分類 $z \sim 0 - 0.15$



$B/T, r_e$ , Sersic parameters, Sersic モデル画像, 残差画像など  
→ 決定木 + 目視

Delgado-Serrano+10

# ハッブルの形態分類 $z \sim 0.4 - 0.8$

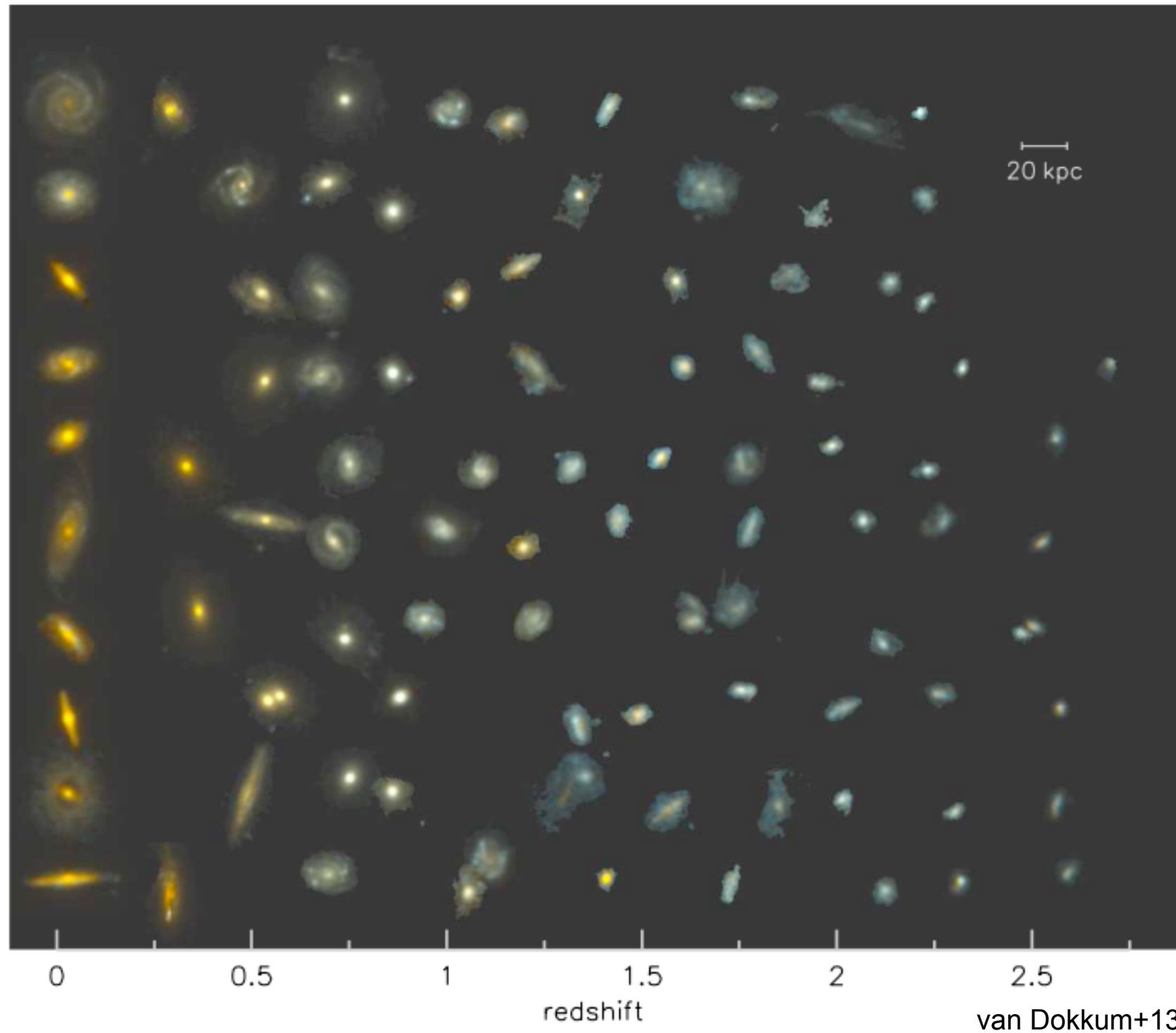


$B/T, r_e$ , Sersic parameters, Sersic モデル画像, 残差画像など  
→ 決定木 + 目視

Delgado-Serrano+10

渦巻が減り, 特異(粒々)が増える

# 形態進化 $z \sim 0 - 3$



遠方ほど

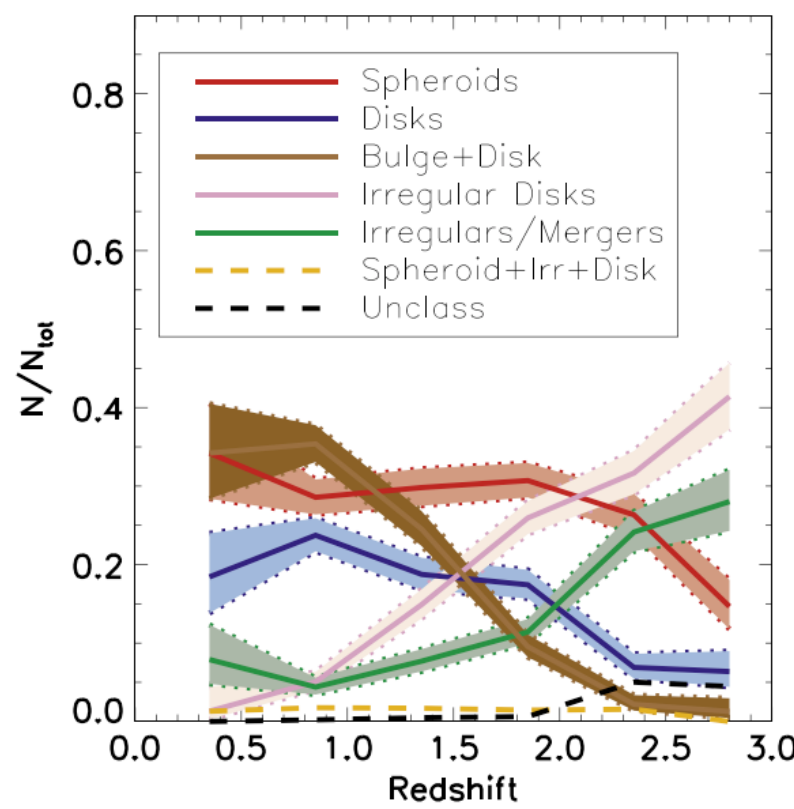
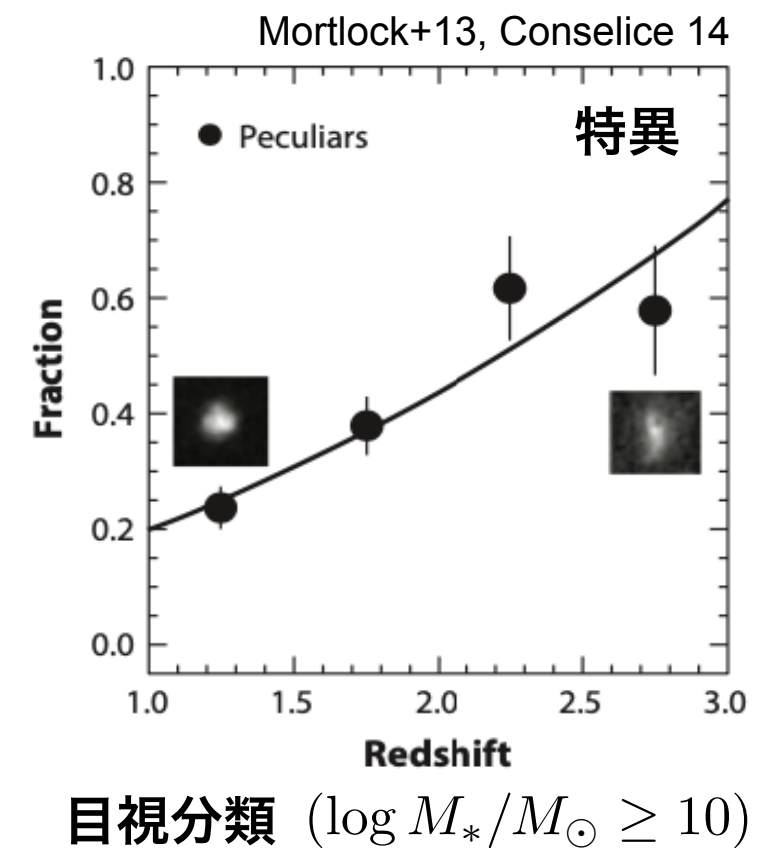
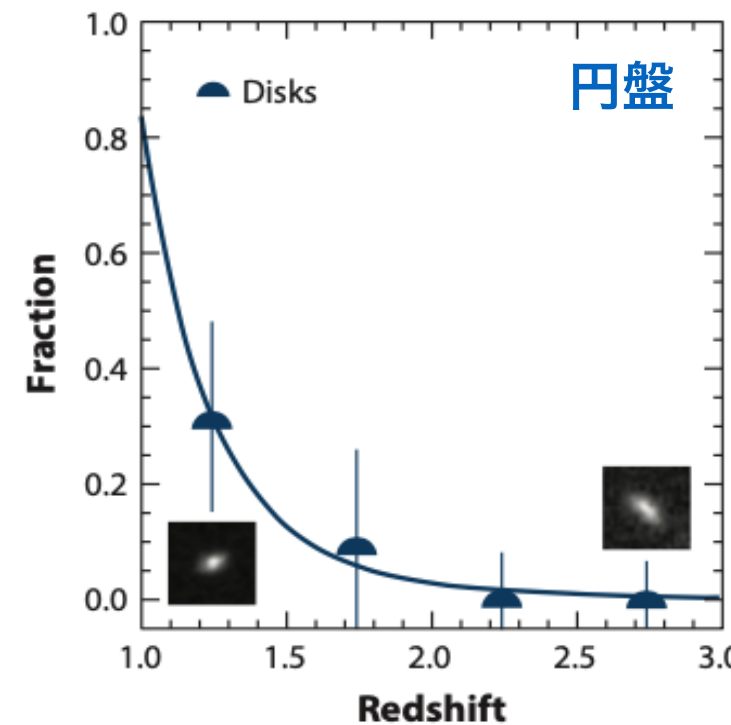
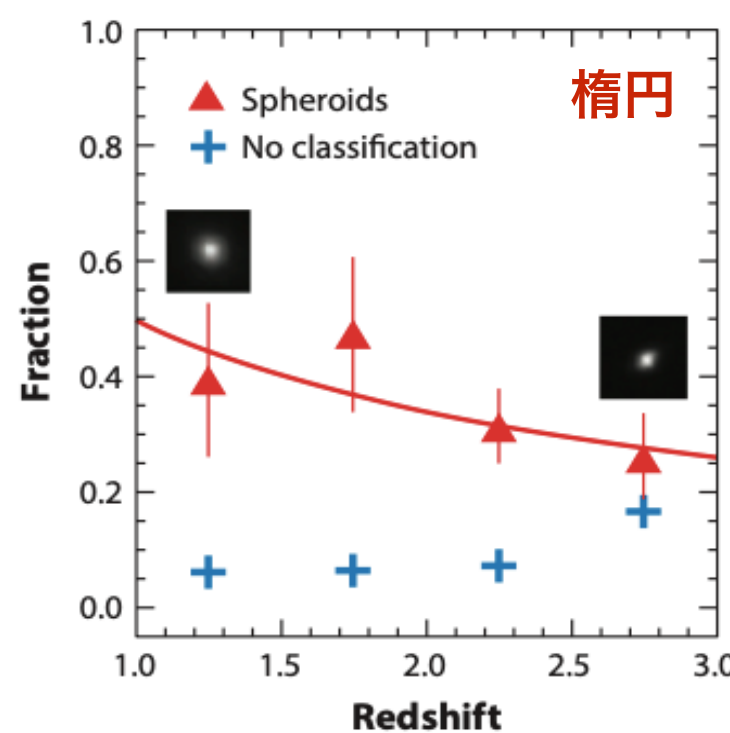
不規則な形

渦巻/橢円銀河が  
少ない

小さい

(青い)

# 各形態の銀河の割合

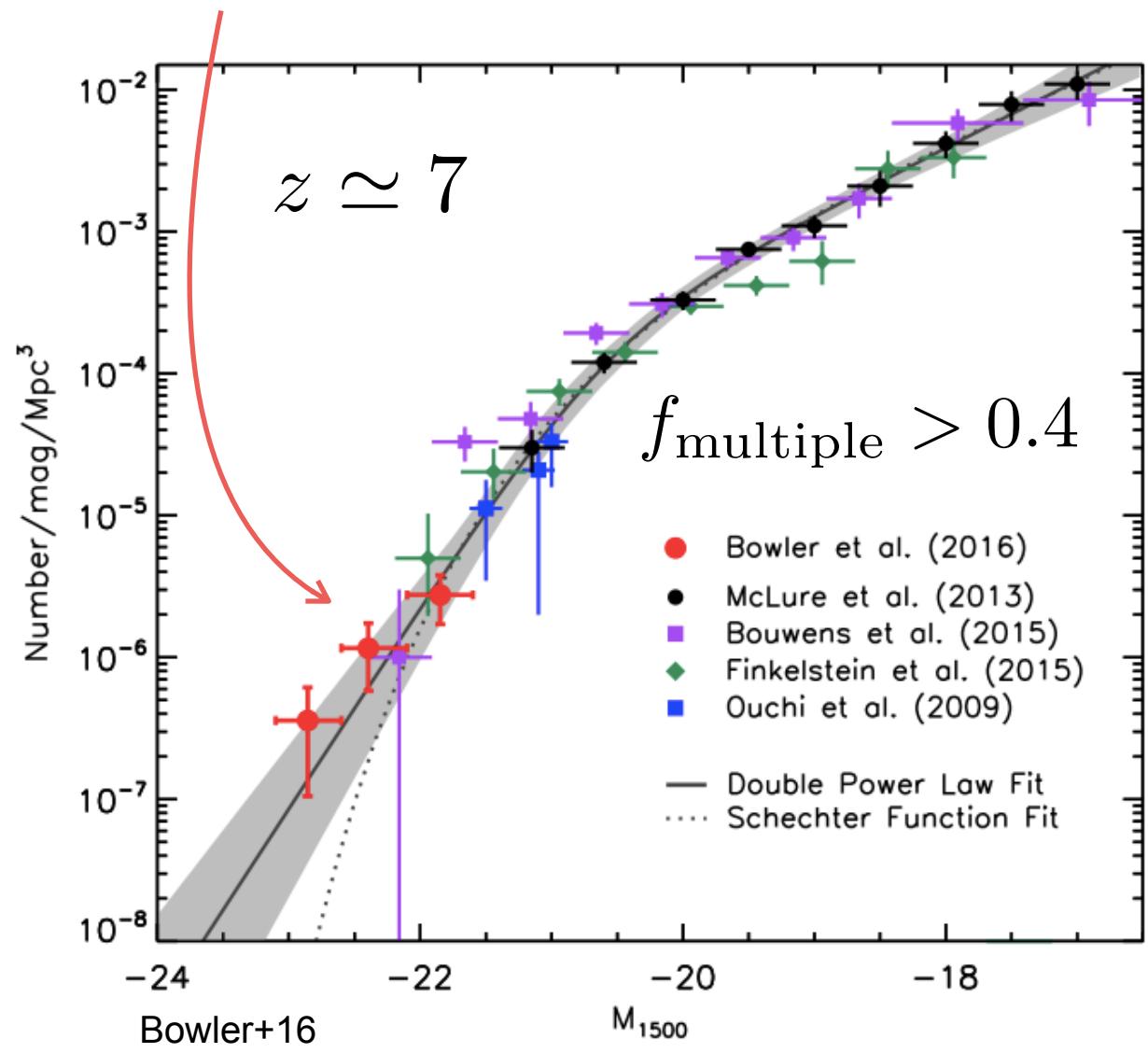
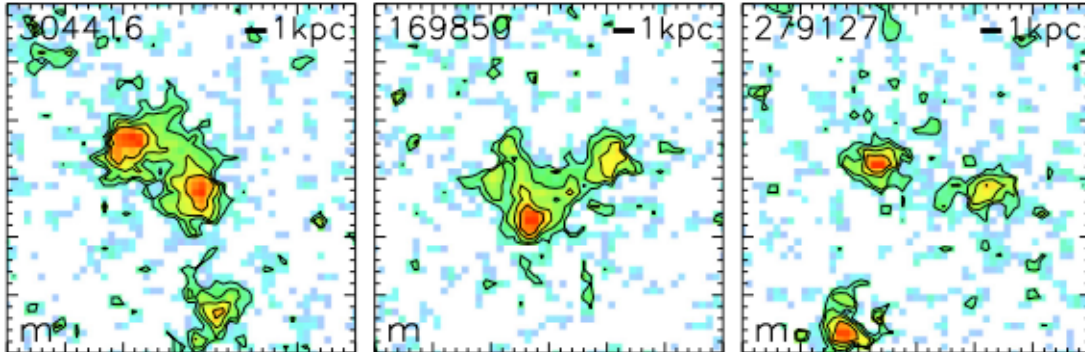


✓ 遠方ほど楕円/円盤が減り、特異が増える

特異も大局的には円盤（後述）

✓ 機械学習でも傾向は概ね同じ

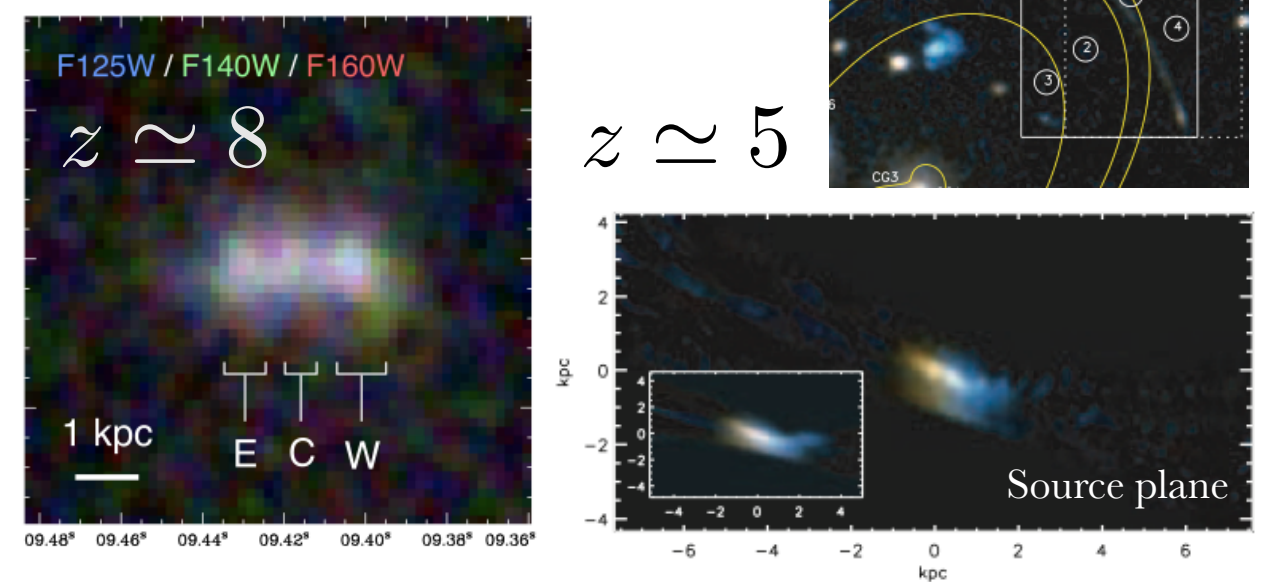
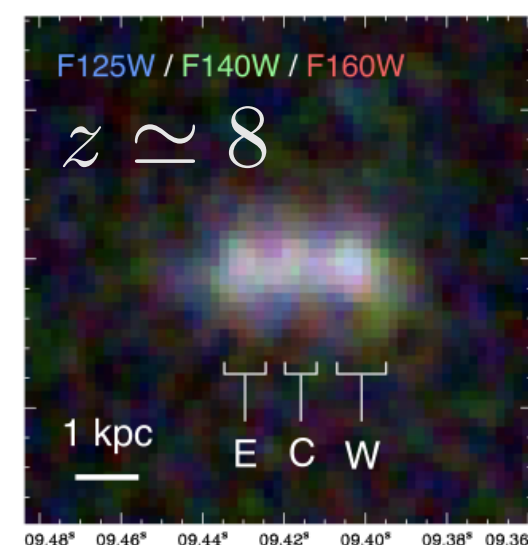
# 銀河形態 $z > 4$



内部構造がハッキリ分かる銀河は  
 $z > 4$ でまだそれほど多くない (感度, 分解能)

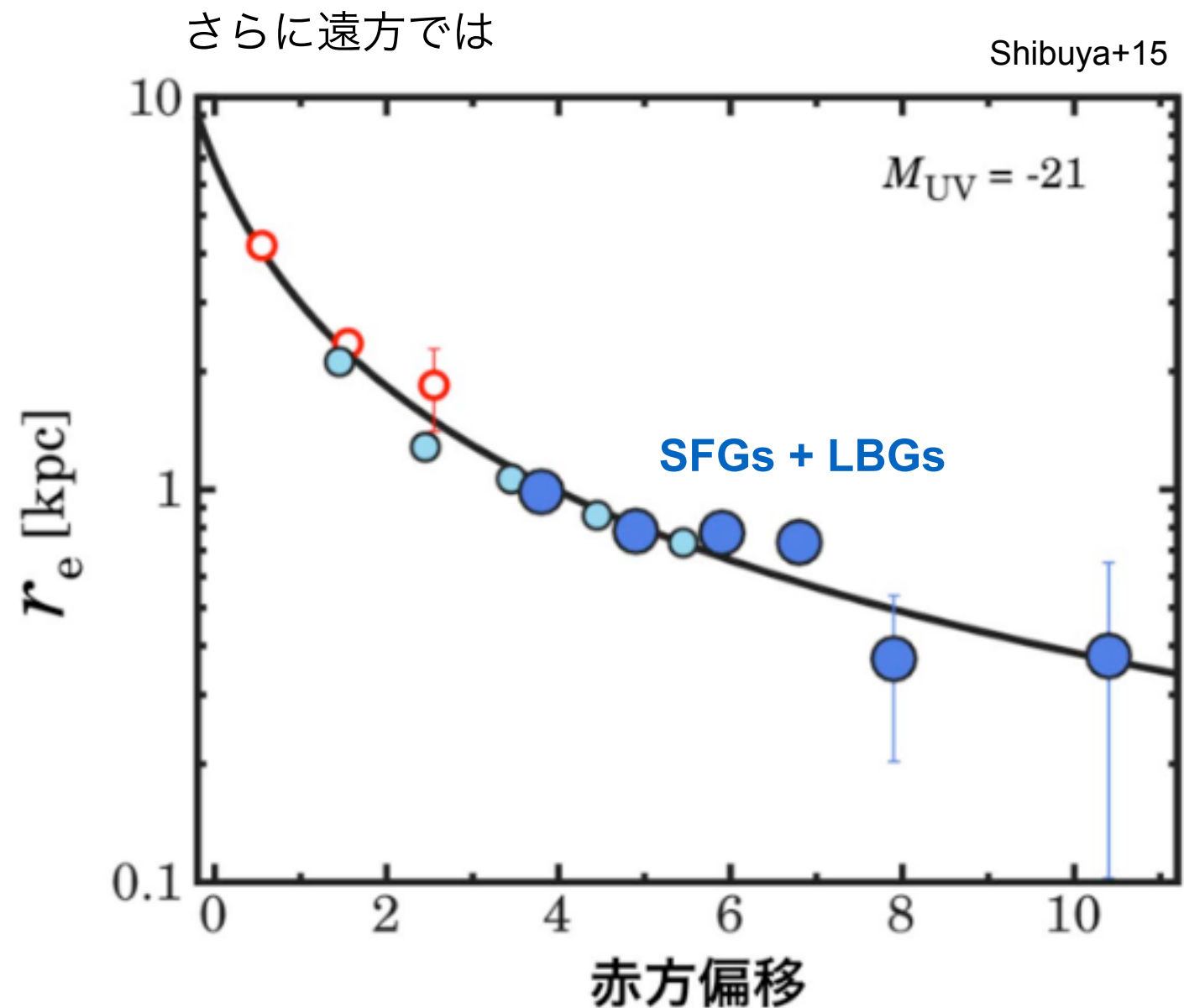
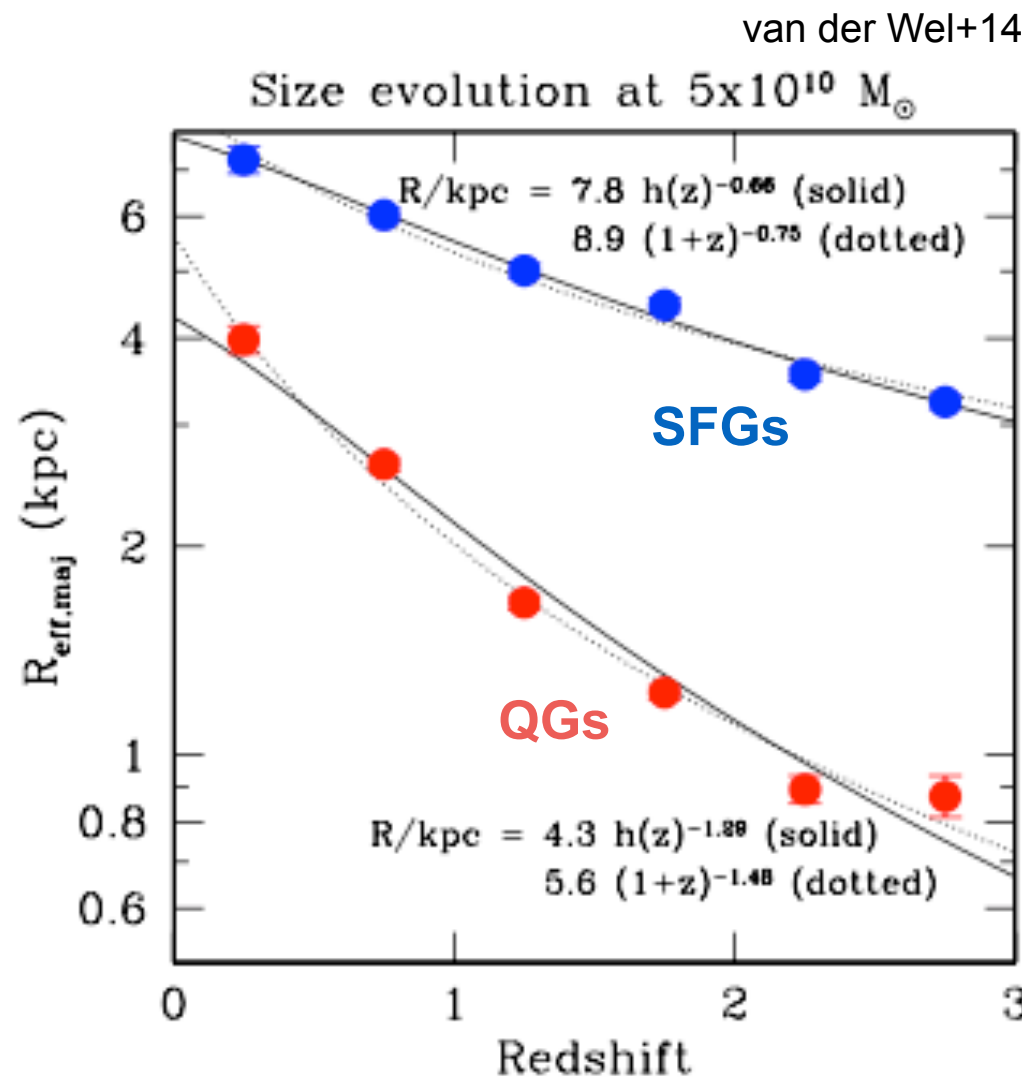


- ✓ 明るい銀河, 重力レンズ銀河
- ✓ ALMA によるガス, ダスト観測
- ✓ 大局的構造 ( $r_e$ ,  $n$  など, 次頁)
- ✓ 合体 or 塊状構造 (後述)



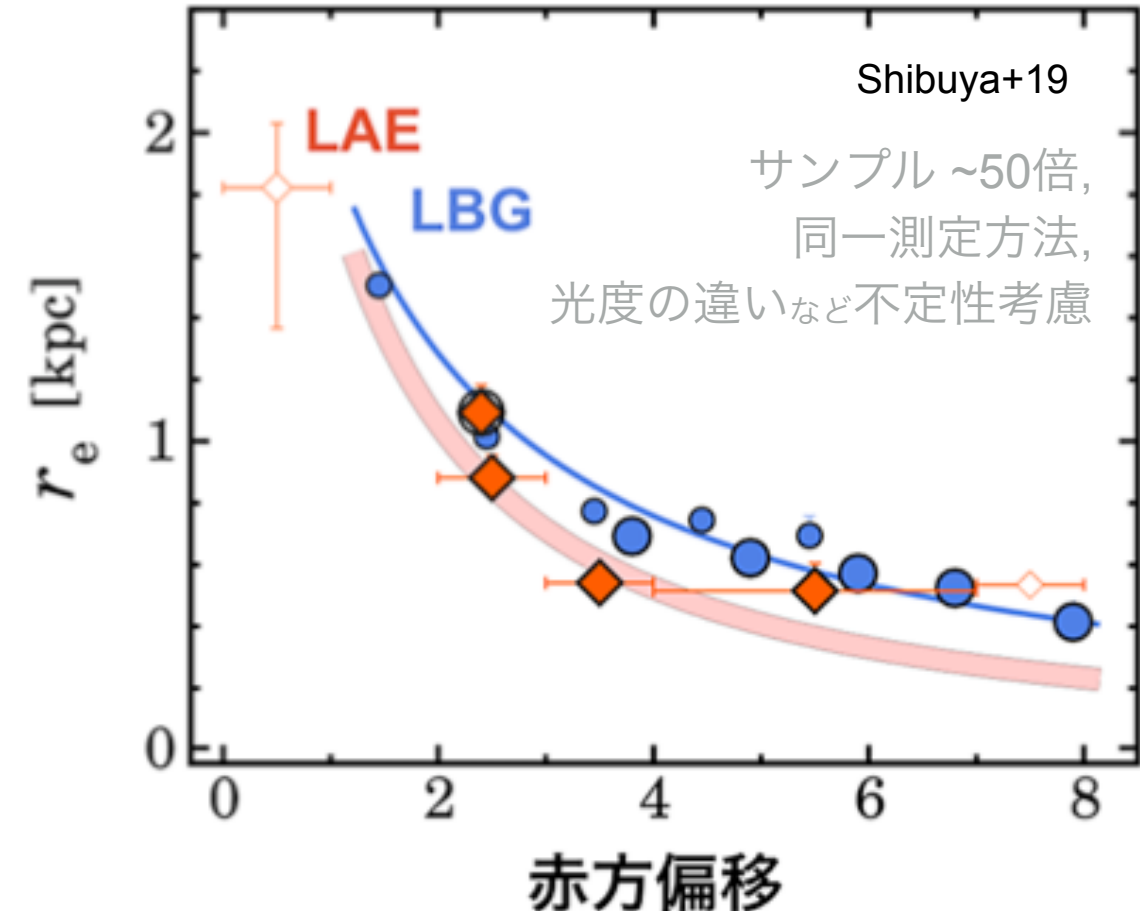
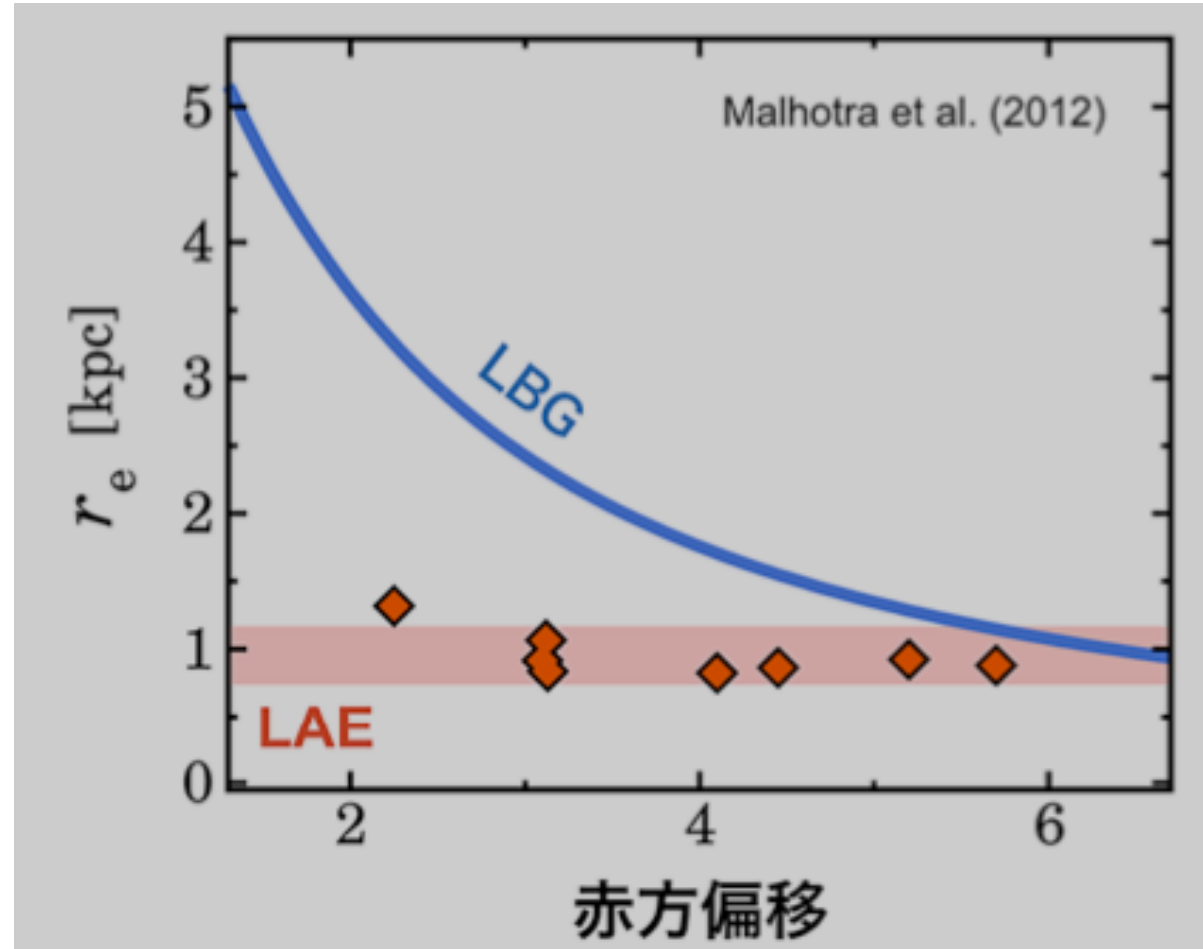
See also, e.g, Hashimoto+18

# サイズ進化



- ✓ 同一種族(SFGs, QGs など), 同一星質量(光度)のサイズ進化
- ✓ 平均的に, 単調にサイズ進化
- ✓ QGs は  $z \sim 3 \rightarrow z \sim 0$  で ~4-5 倍の急激なサイズ進化か

# LAEs のサイズ進化



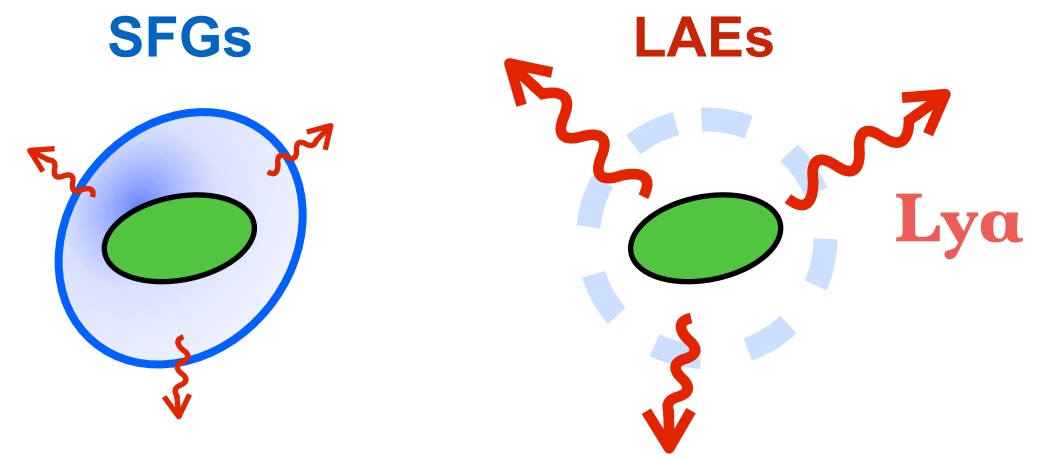
✓ LAEs も LBGs と同様のサイズ進化

✓ LBGs と同じく円盤型  $n \sim 1$  (後述)

→ LAEs の高い Ly $\alpha$  強度

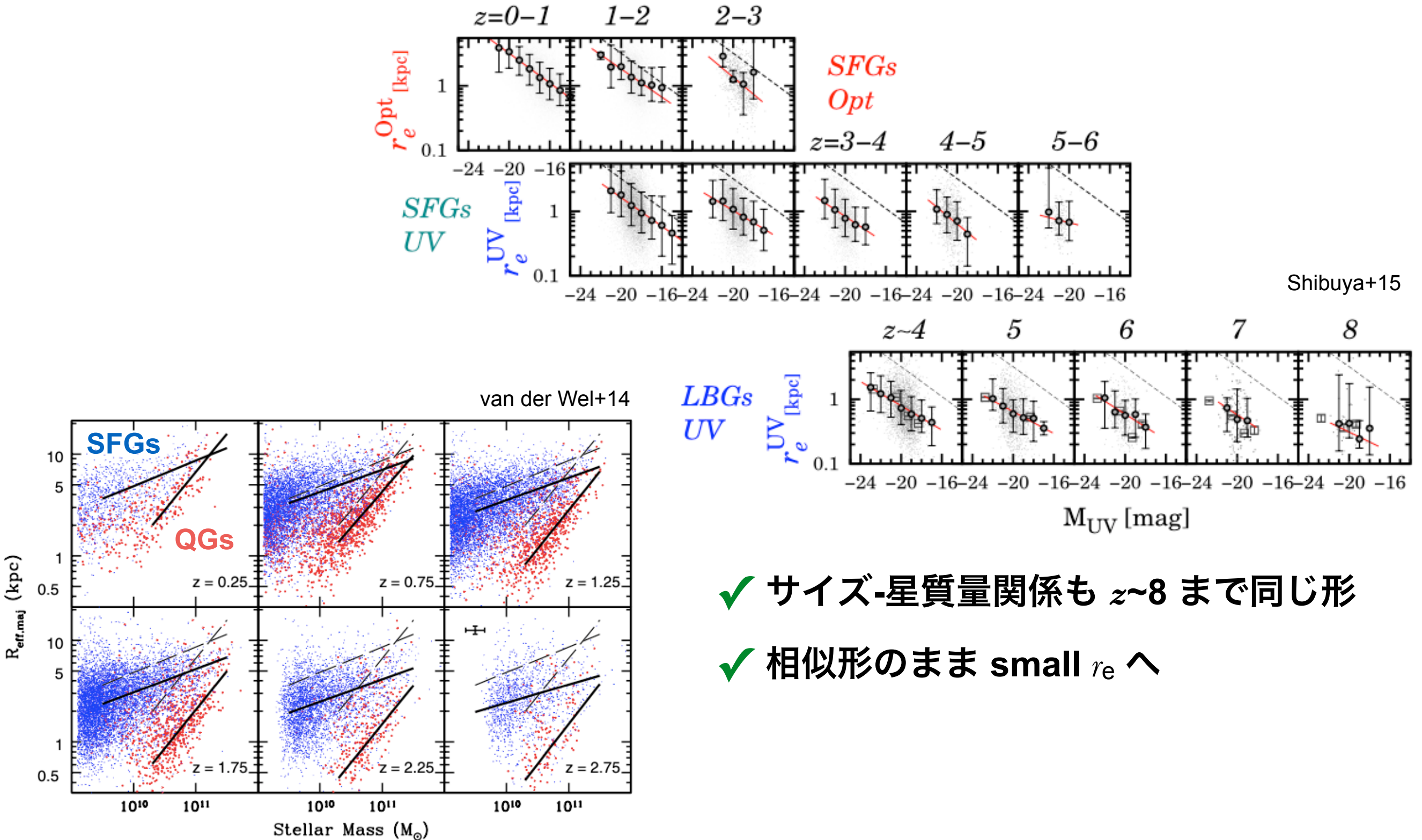
△ 星成分の形態の違い?

○ 星間物質の性質の違い (中性水素 柱密度など)?



e.g., Hashimoto+15, Nakajima+18, Harikane+18

# サイズ-質量(光度)関係

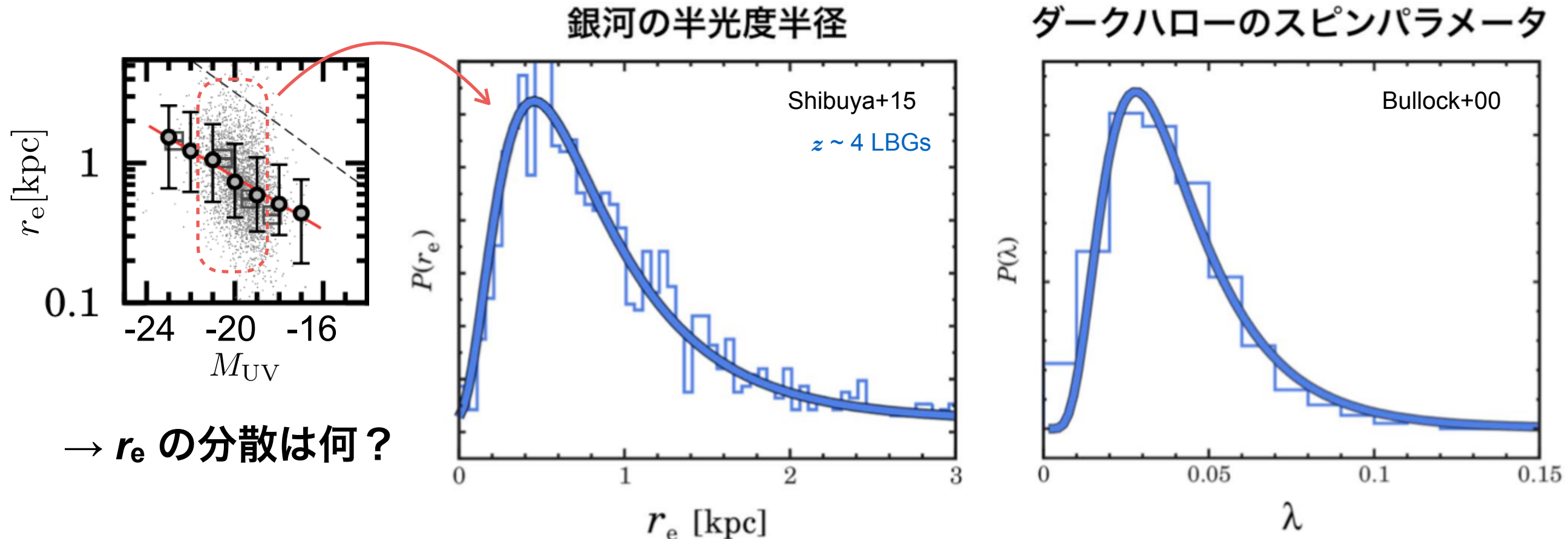


✓ サイズ-星質量関係も  $z \sim 8$  まで同じ形

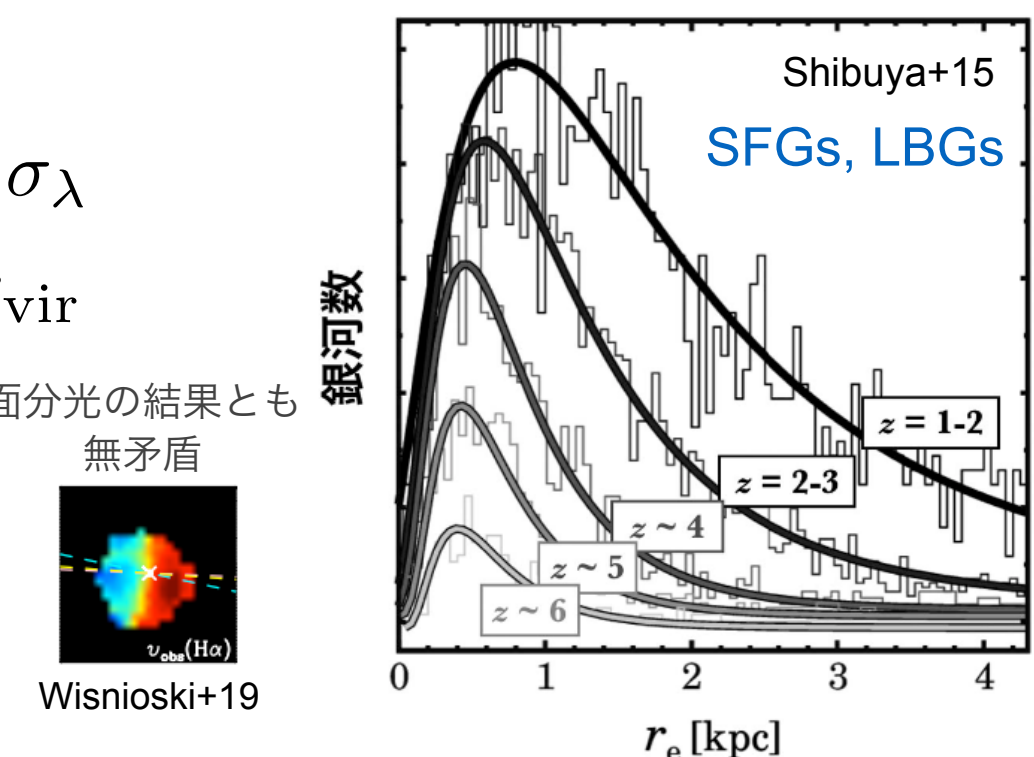
✓ 相似形のまま small  $r_e$  へ

\*  $M^* - M_{\text{UV}}$  関係によると、両者 ( $M^* - r_e$ ,  $M_{\text{UV}} - r_e$ ) は大体同じ関係

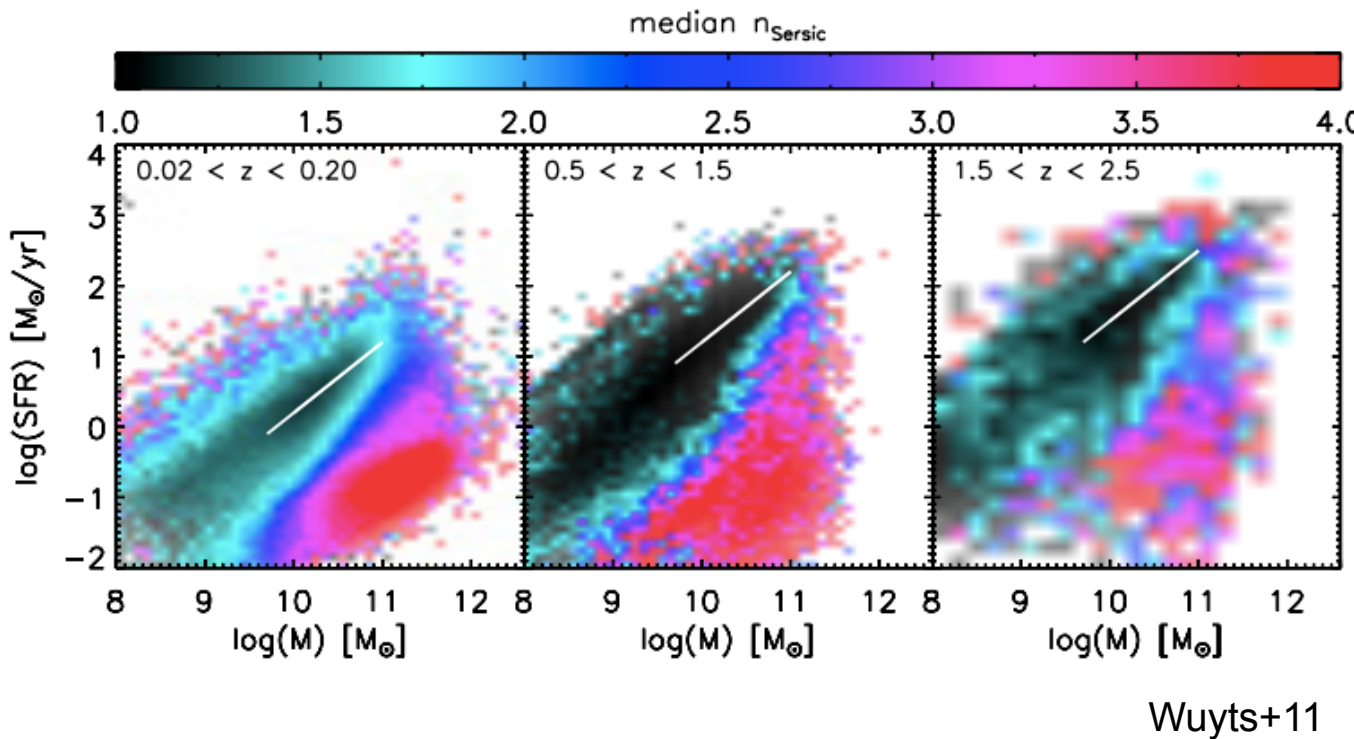
# サイズ頻度分布



- ✓ 対数正規分布 log-normal distribution
- ✓ DM halo の  $\lambda$  と分布 & 幅 共に概ね同じ  $\sigma_{r_e} \sim \sigma_\lambda$
- ✓ 円盤形成モデル(e.g., Mo+98)によると  $r_e \sim \lambda r_{\text{vir}}$   
→  $r_e$  は  $\lambda$  の頻度分布を反映
- SFGs は DM halo 内で角運動量を獲得し形成
- 円盤型に



# セルシック指数

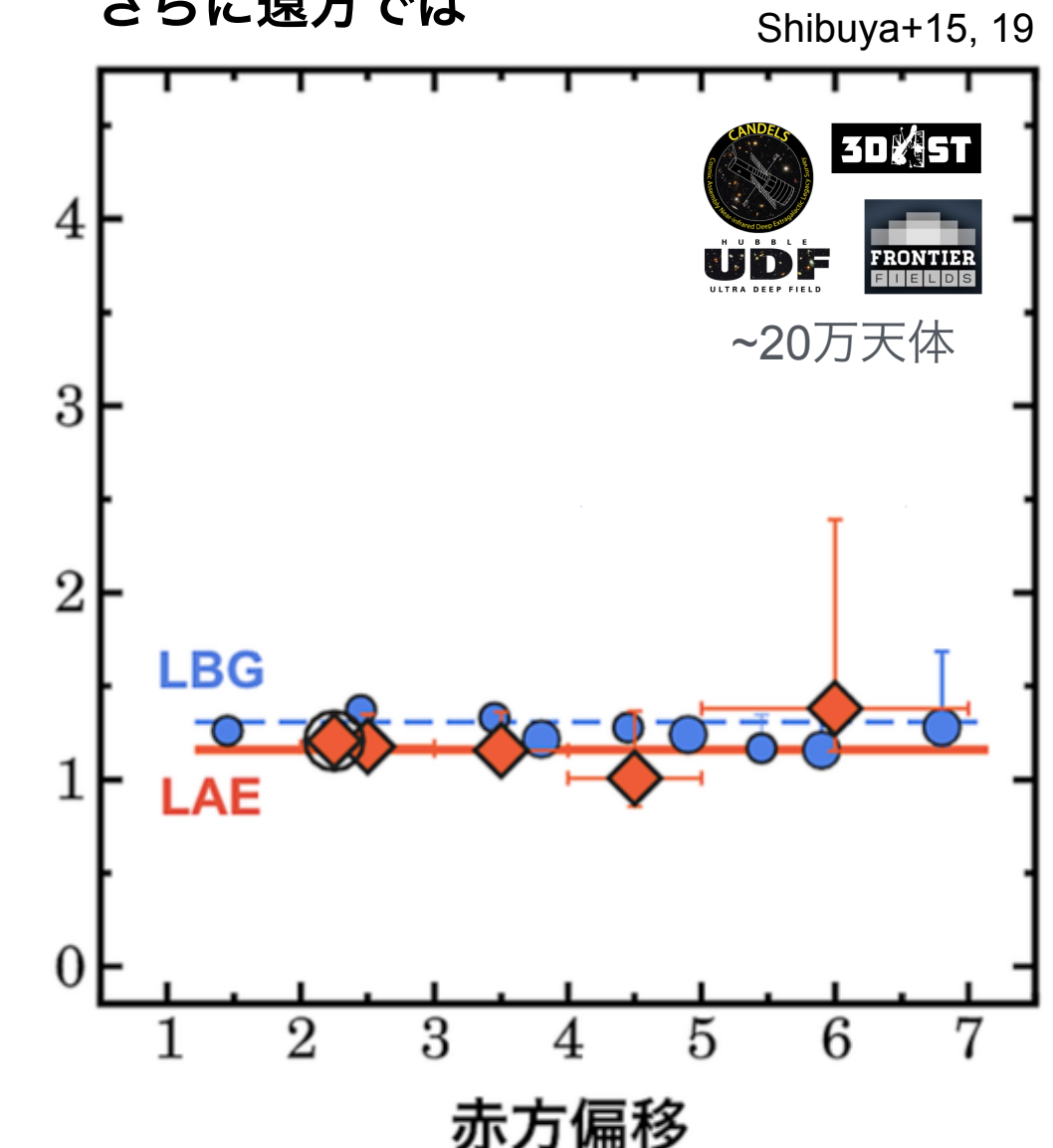


Sersic fit  $\rightarrow n$

表面輝度プロファイルの傾き, 大局的な形態

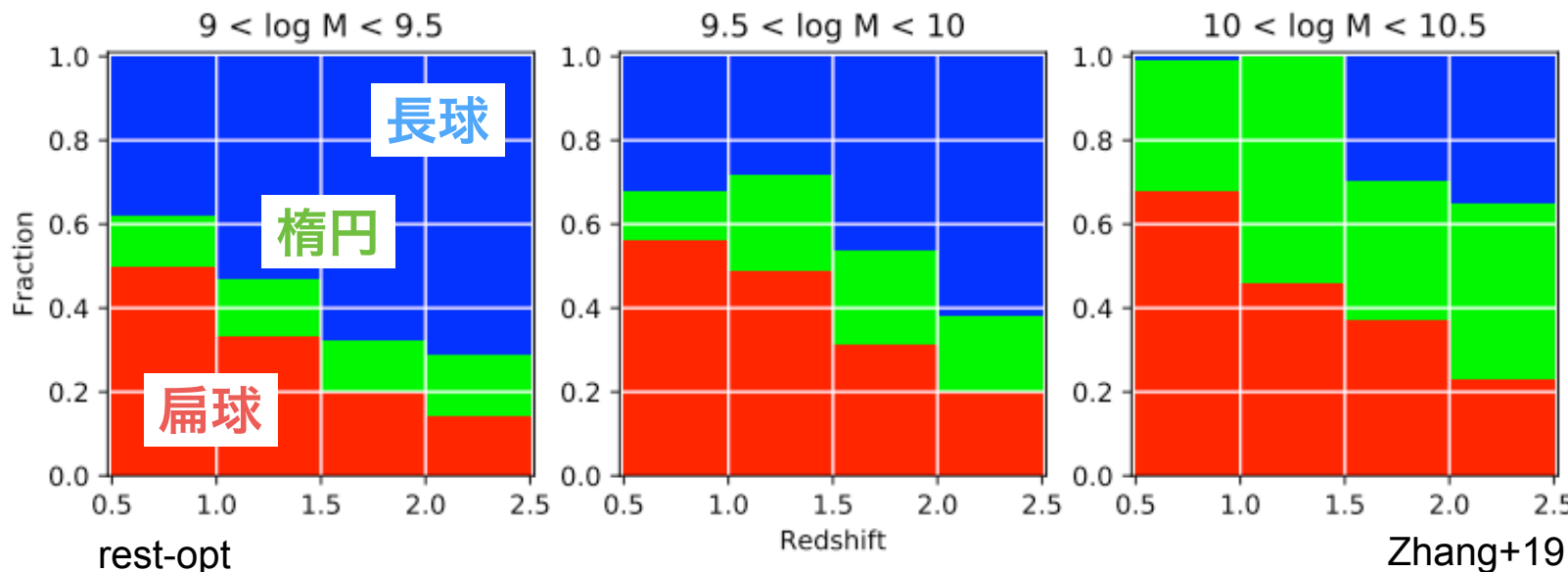
- ✓ 星形成銀河 SFGs は円盤型 ( $n \sim 1$ )
- ✓ 非星形成銀河 QGs は橢円型 ( $n \sim 4$ )
- ✓ Ly $\alpha$ 輝線銀河 LAEs も円盤型
- ✓  $n \sim 1$  は少なくとも  $z \sim 7$  まで続く

さらに遠方では

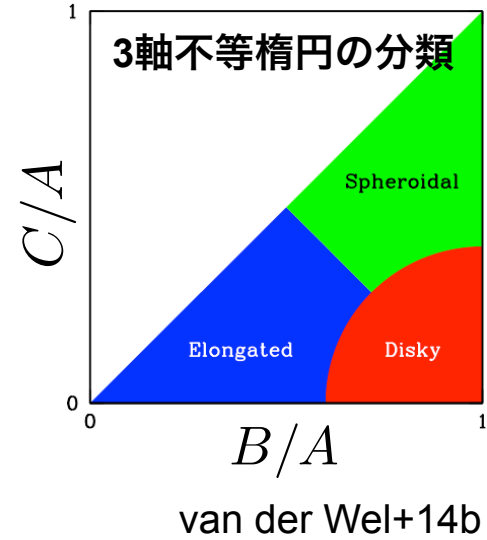
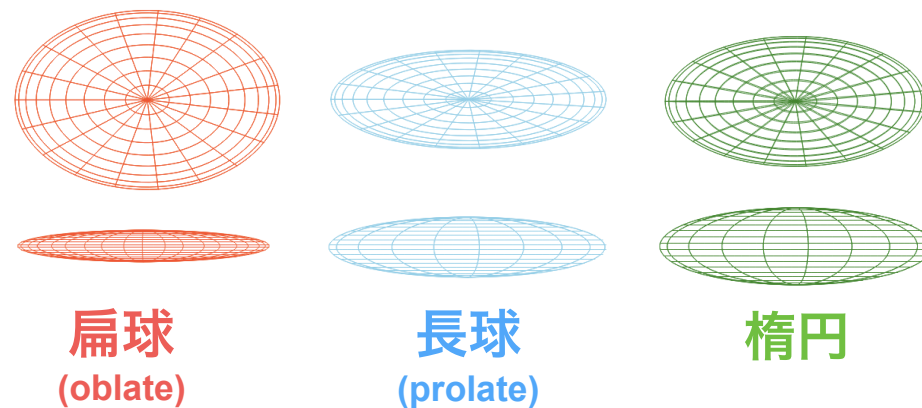


# 軸比分布

## SFMS 銀河



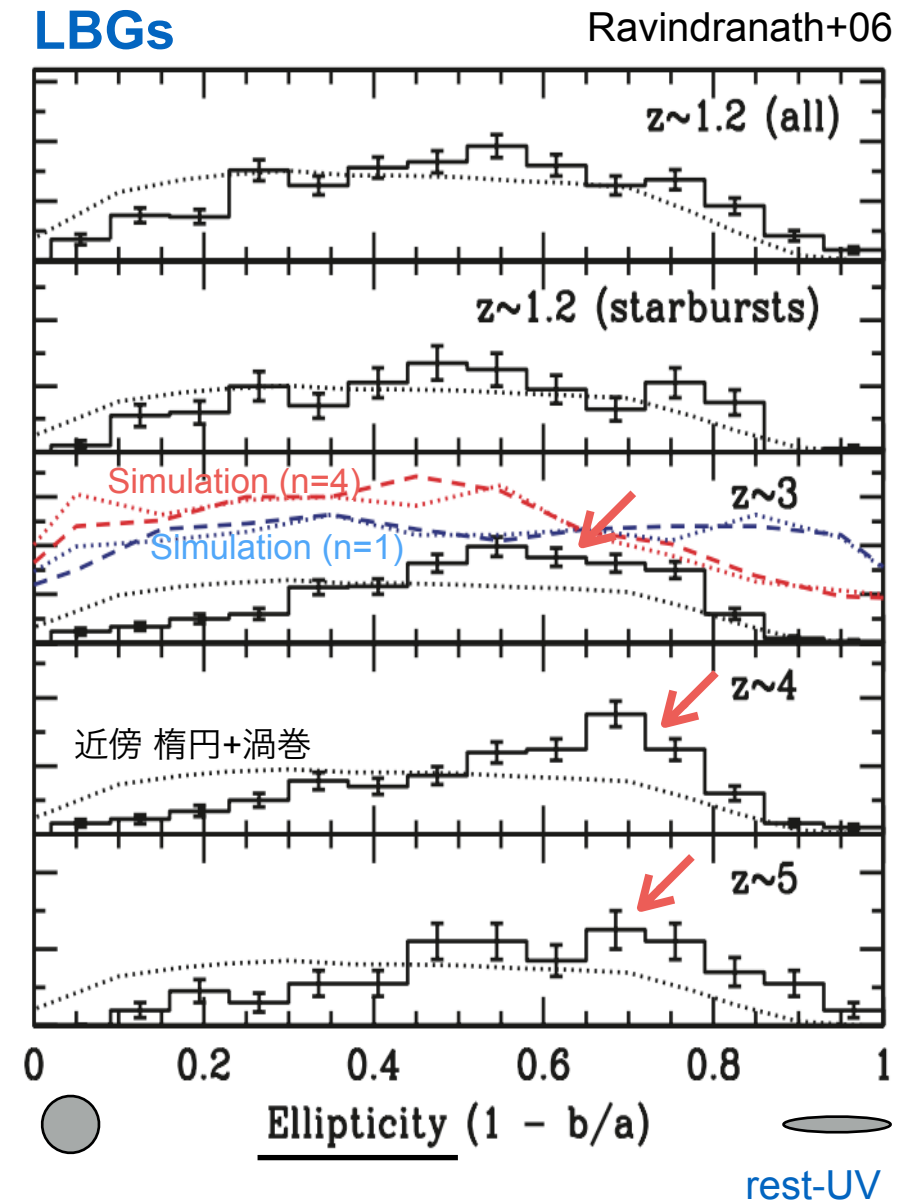
Best-fit (各分類で一番顕著な例)



- ✓ 大まかには円盤っぽい
- ✓ 低質量, high- $z$  に行くにつれて長球が増加
- ✓ 長球→扁球の形態は “compaction” が関係?

See also, Yuma+12, Takeuchi+15, Satoh+19,  
Tomassetti+16, Meng & Genuin 20

## LBGs



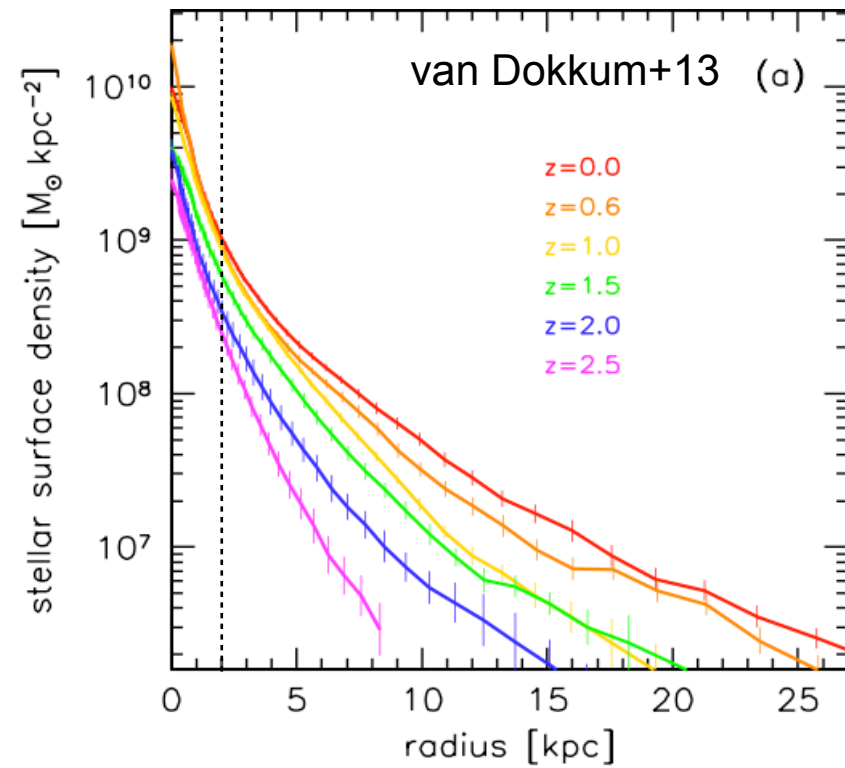
Model fit はしていない

- ✓  $z \sim 3-5$  で elongated が増加
- ✓ 銀河合体?

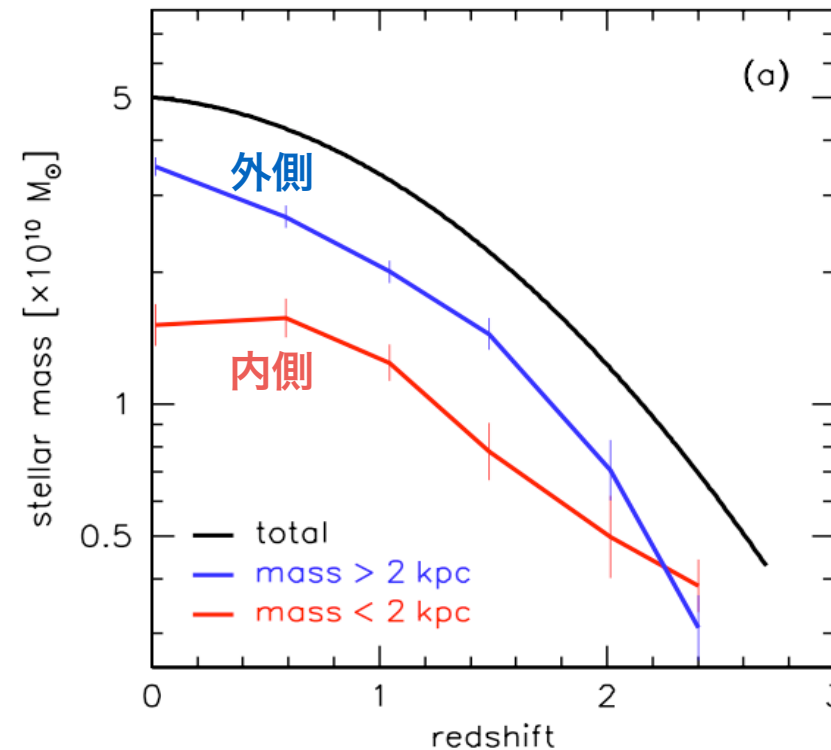
# 動径プロファイル

$\log M_*$   
 $@z=0$

$\sim 10.7$   
銀河系  
質量



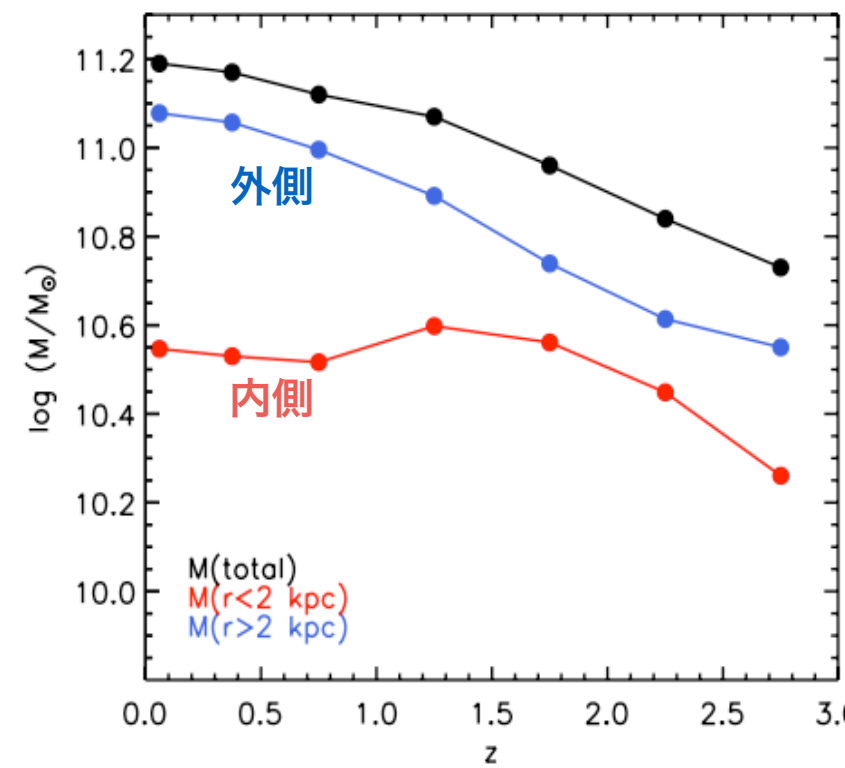
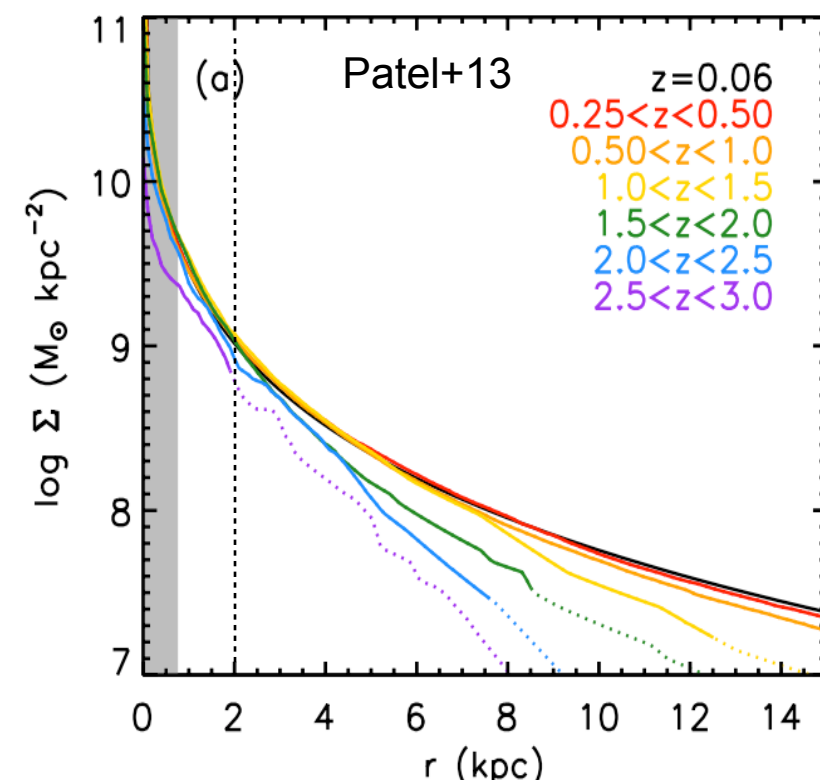
外側 ( $>2\text{kpc}$ ) & 内側 ( $<2\text{kpc}$ ) の星質量変化



外側と内側  
概ね  
共に成長

$z < 1$  で内側の  
成長が止まる

$\sim 11.2$

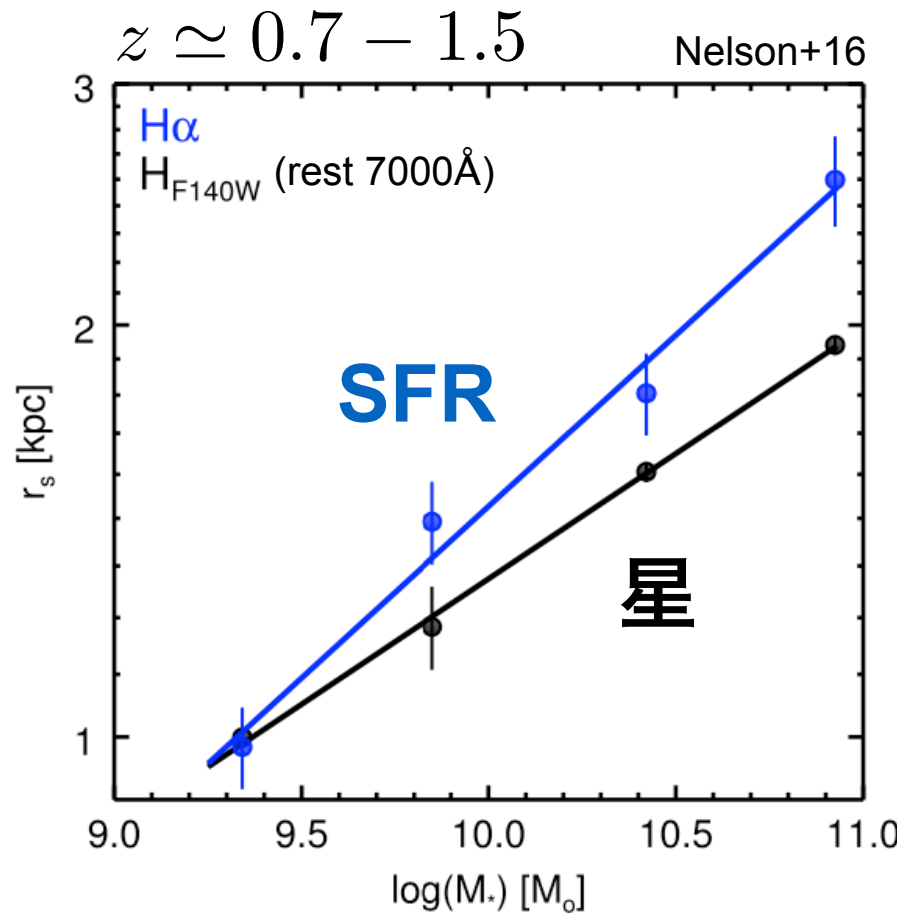


内側は  
 $z \sim 2$  の形成以降  
ほぼ変化なし

外側は  
ずっと成長

→ Inside-out growth

# 星 & 星形成領域の比較

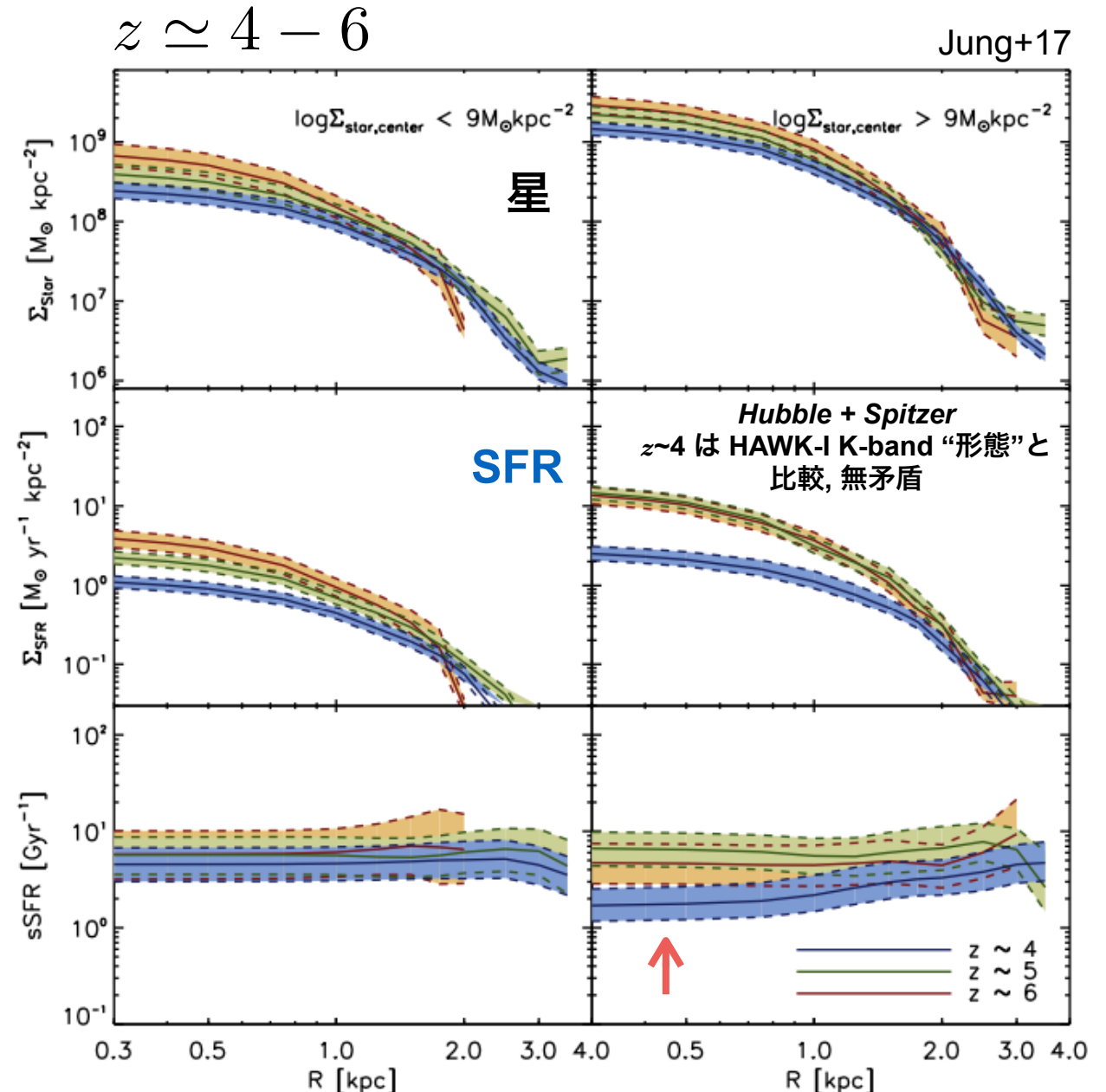


- ✓ 3D-HST (image+grism)
- ✓ 星 & SFR 半径を比較

$r_{\text{SFR}} > r_*$  → 外側で星形成 繼続

→ **Inside-out growth**  
(重い銀河ほど)

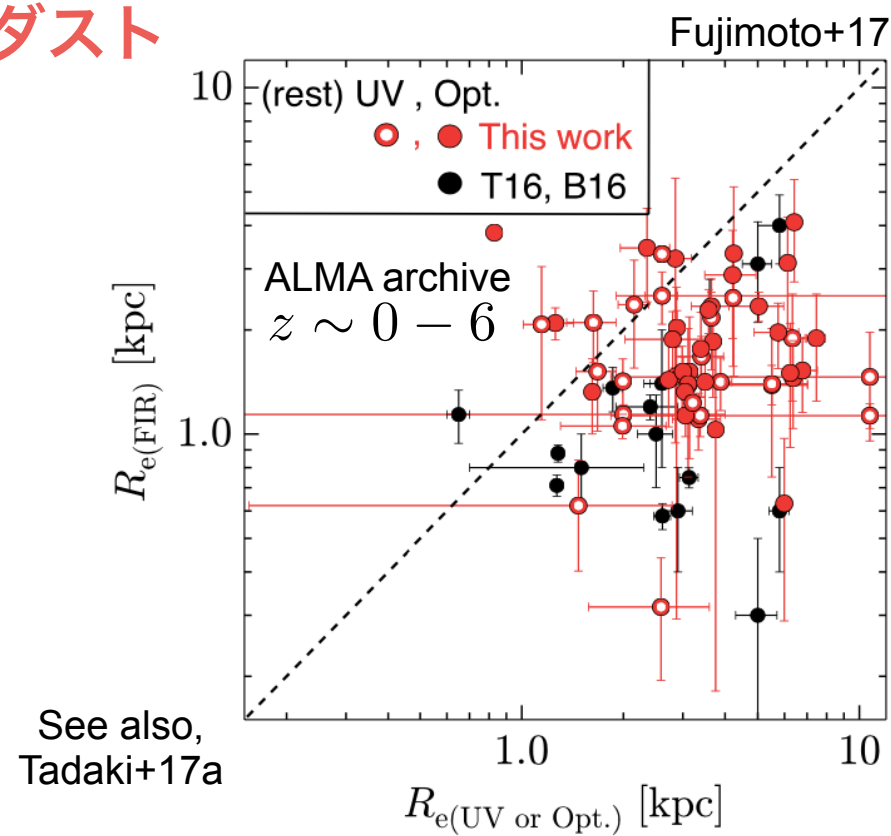
See also, Tacchella+15a for  $z \sim 2$  銀河, AO+IFU



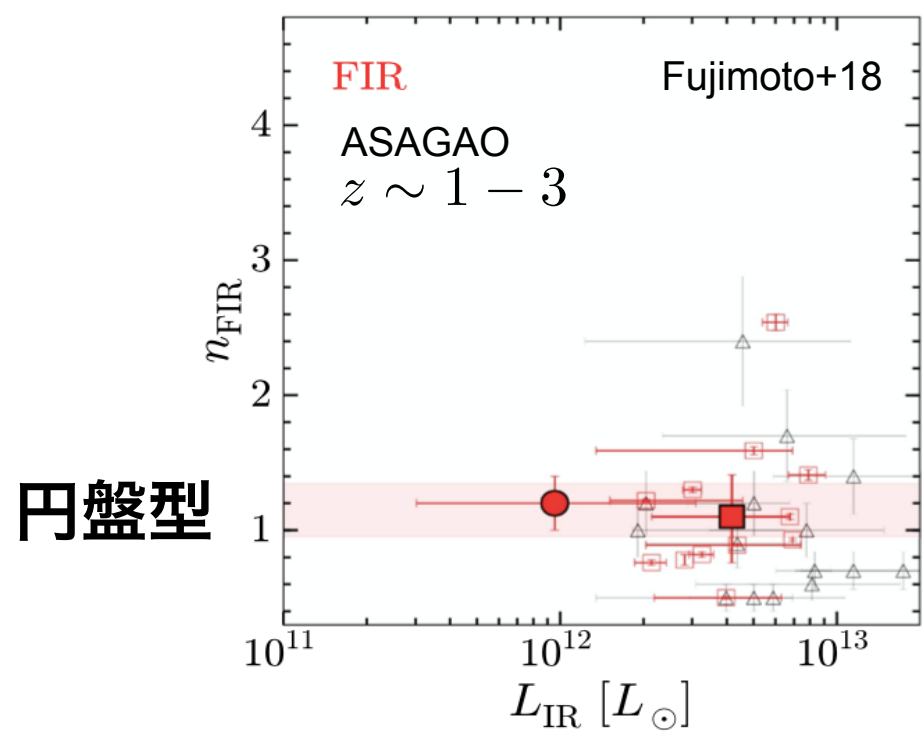
- ✓ 半径毎の SED → 星/SFR profile を推定
- ✓  $z \sim 4$  高中心密度 銀河 → 中心 sSFR が低い  
→ Inside-out growth/quenching
- ✓  $z \sim 5-6$  などその他 → 全体で星形成

# ダスト, 分子ガスの $r_e$ & $n$

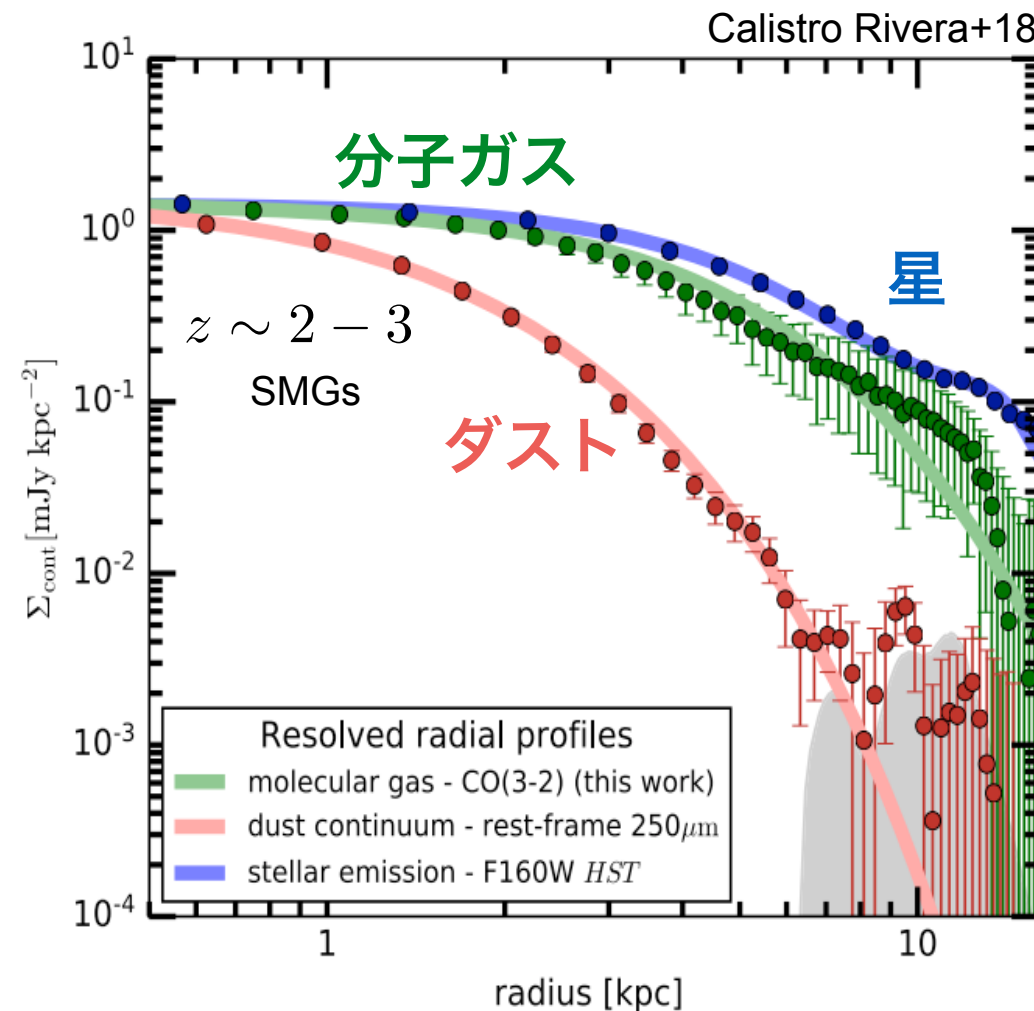
ダスト



$r_{\text{FIR}} < r_{\text{UV/Opt}} \rightarrow \text{中心で活発な星形成}$



円盤型

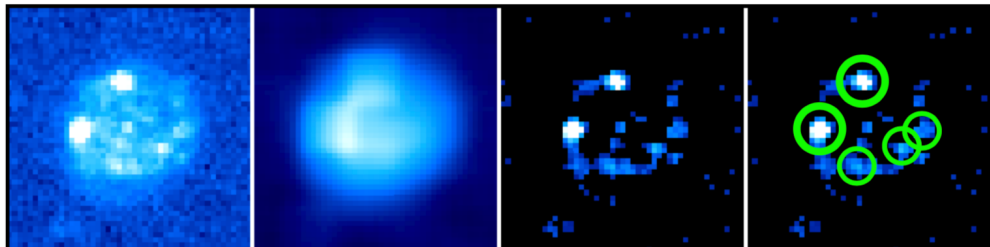


- ✓ 分子ガスは星の分布と概ね同じ
- ✓ 分子ガス  $n \sim 1$
- ✓ ダストのみコンパクト

# 塊状銀河

SFGs は大局的には円盤。では、より細かい構造は？

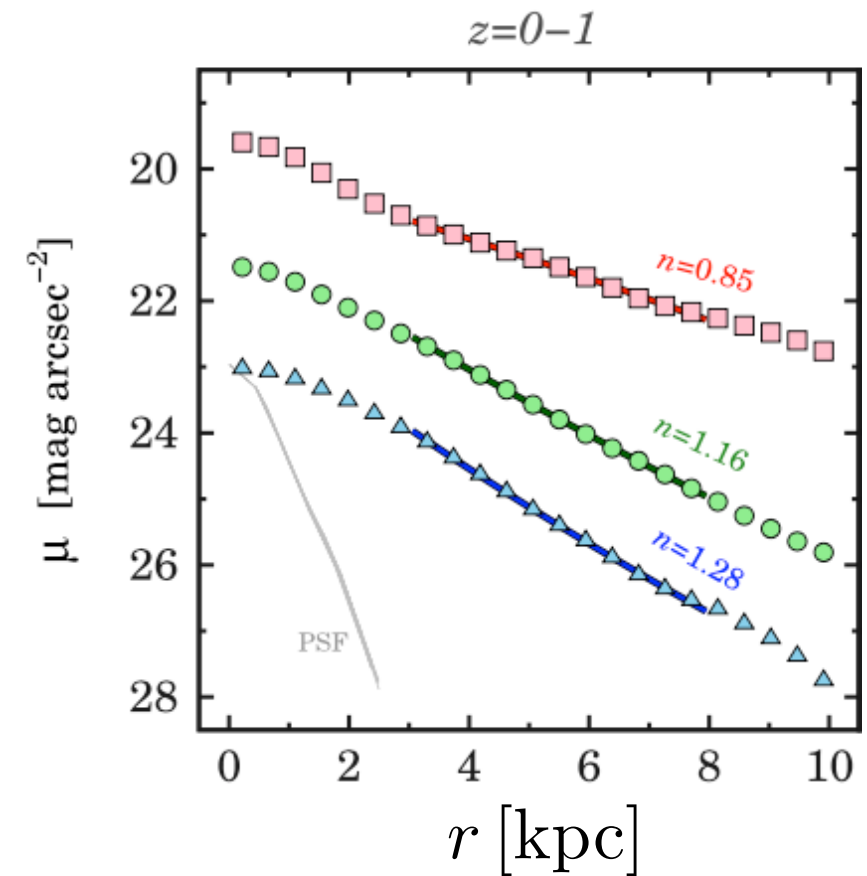
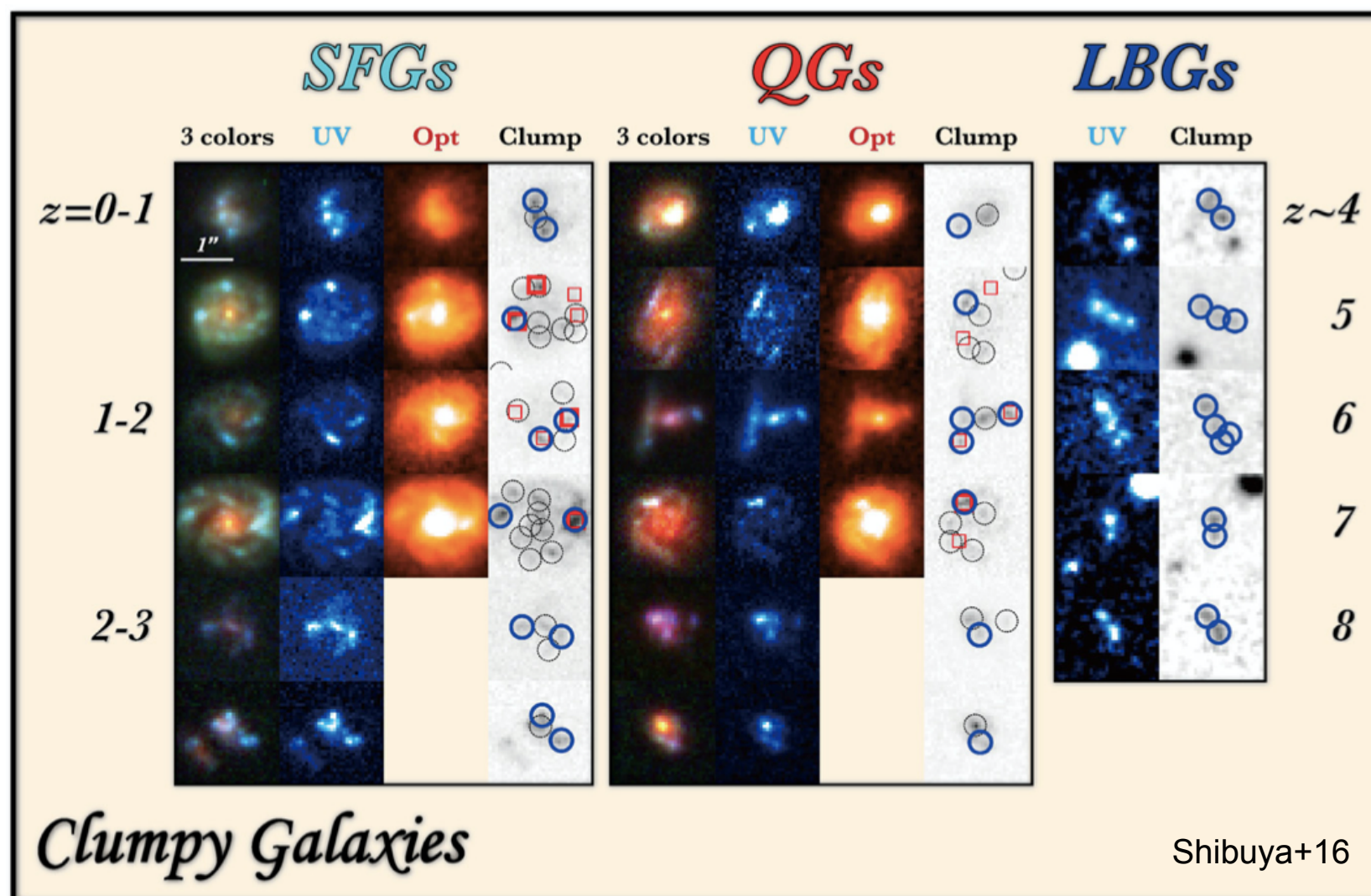
①実際の  
銀河画像    ②ボカす    差し引く  
(①-②)                  検出



塊状銀河の足し合わせ

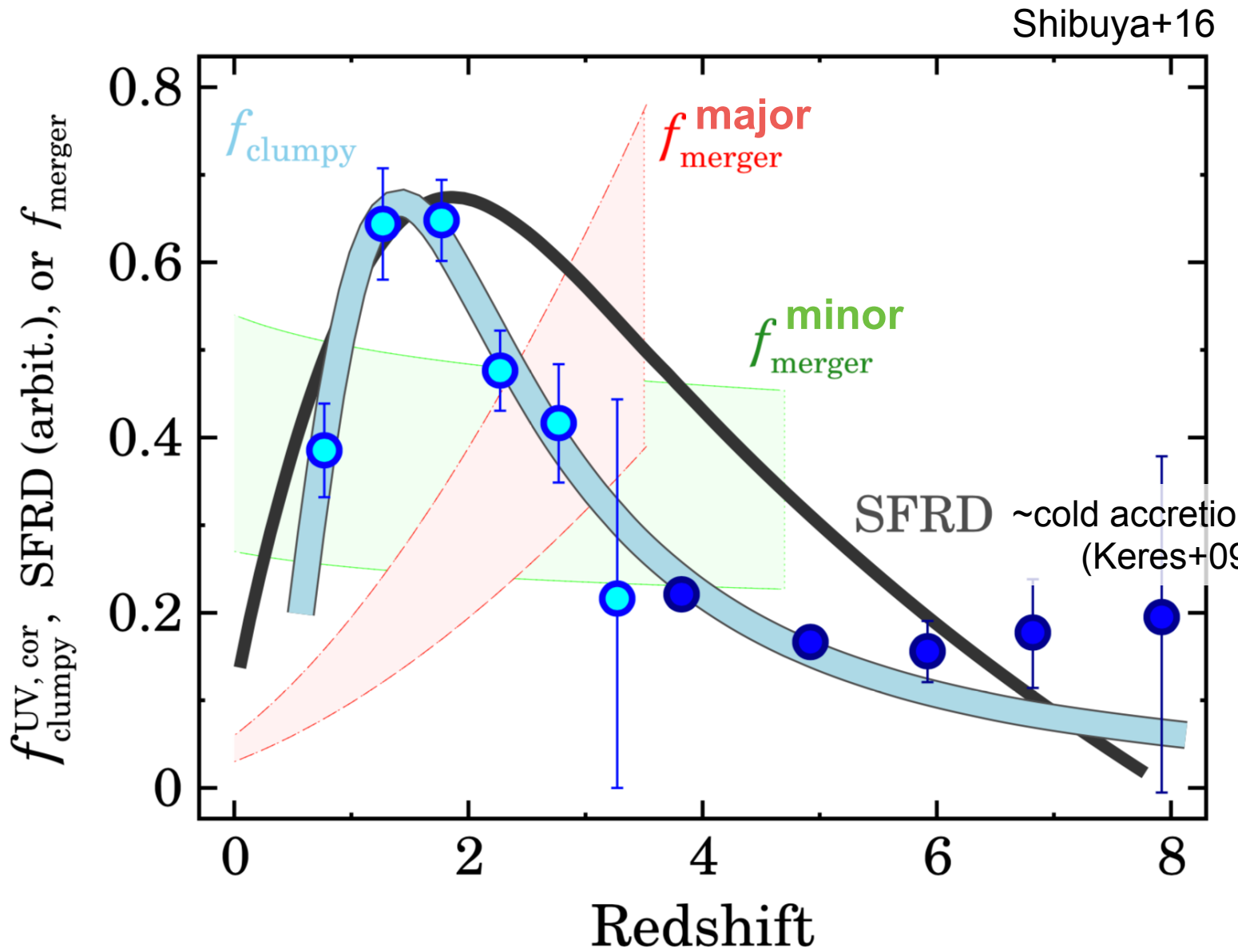
→ “母銀河”的 輝度 profile

→ 円盤 ( $n \sim 1$ )



Shibuya+16

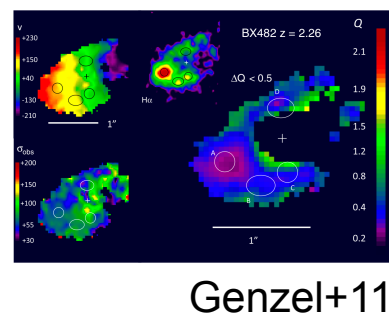
# 塊状銀河



色  
古い  
若い

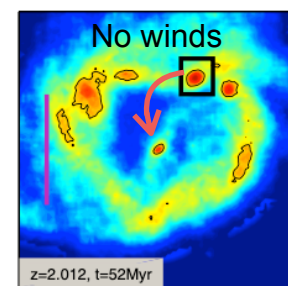


年齢でも同様の傾向 (Guo+18)



塊状構造の多くは  
内的要因 (e.g., 円盤不安定) で形成?

Cold accretion  $\rightarrow$  High  $f_{\text{gas}}$   
 $\rightarrow$  Low Toomre Q, Violent disk instability?



塊状構造が中心へ移動?  
Clump migration

(擬似)バルジ形成?  
(実際に移動するかは要議論)

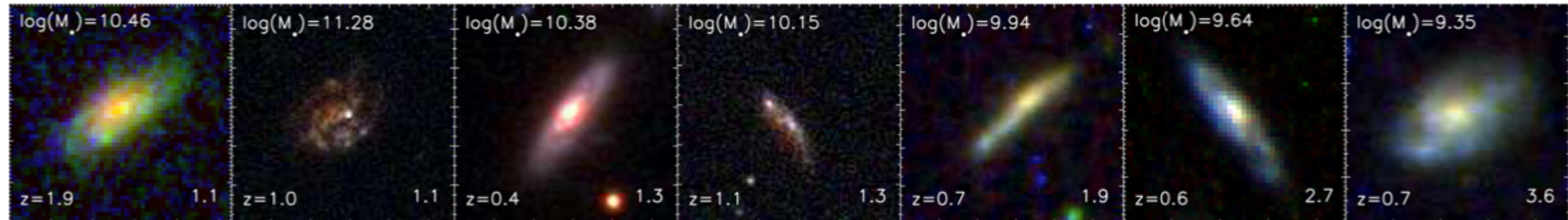
# 力学構造と形態の関係

面分光観測 + *Hubble* で力学構造と形態の研究も

Swinbank+17

$$j_\star/j(M_\star) = 1.1 - 3.6$$

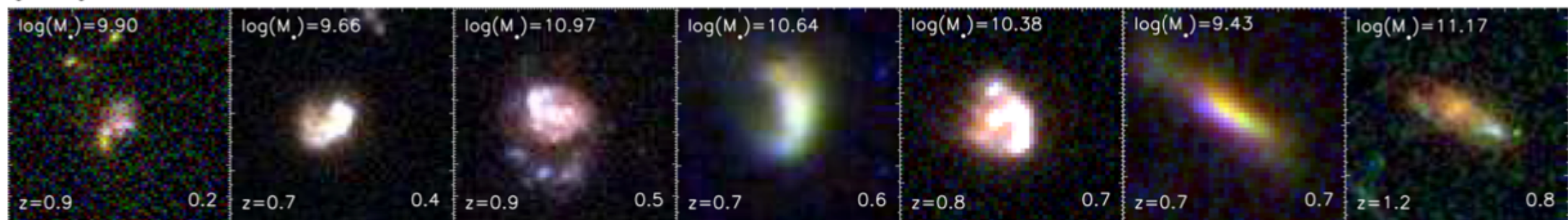
KMOS+MUSE, ~400 SFGs@ $z \sim 0.3 - 1.7$



High specific Angular momentum (sAM)

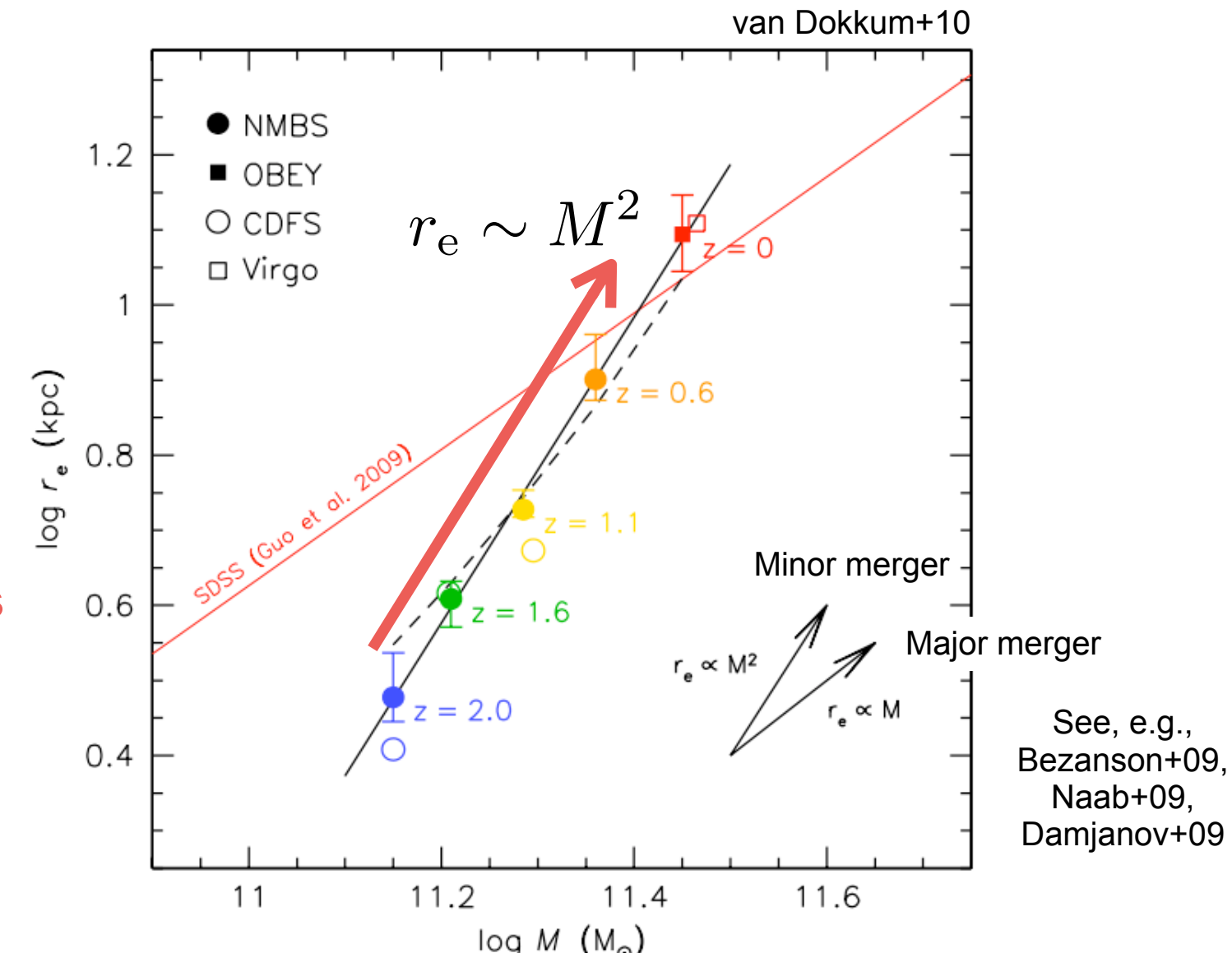
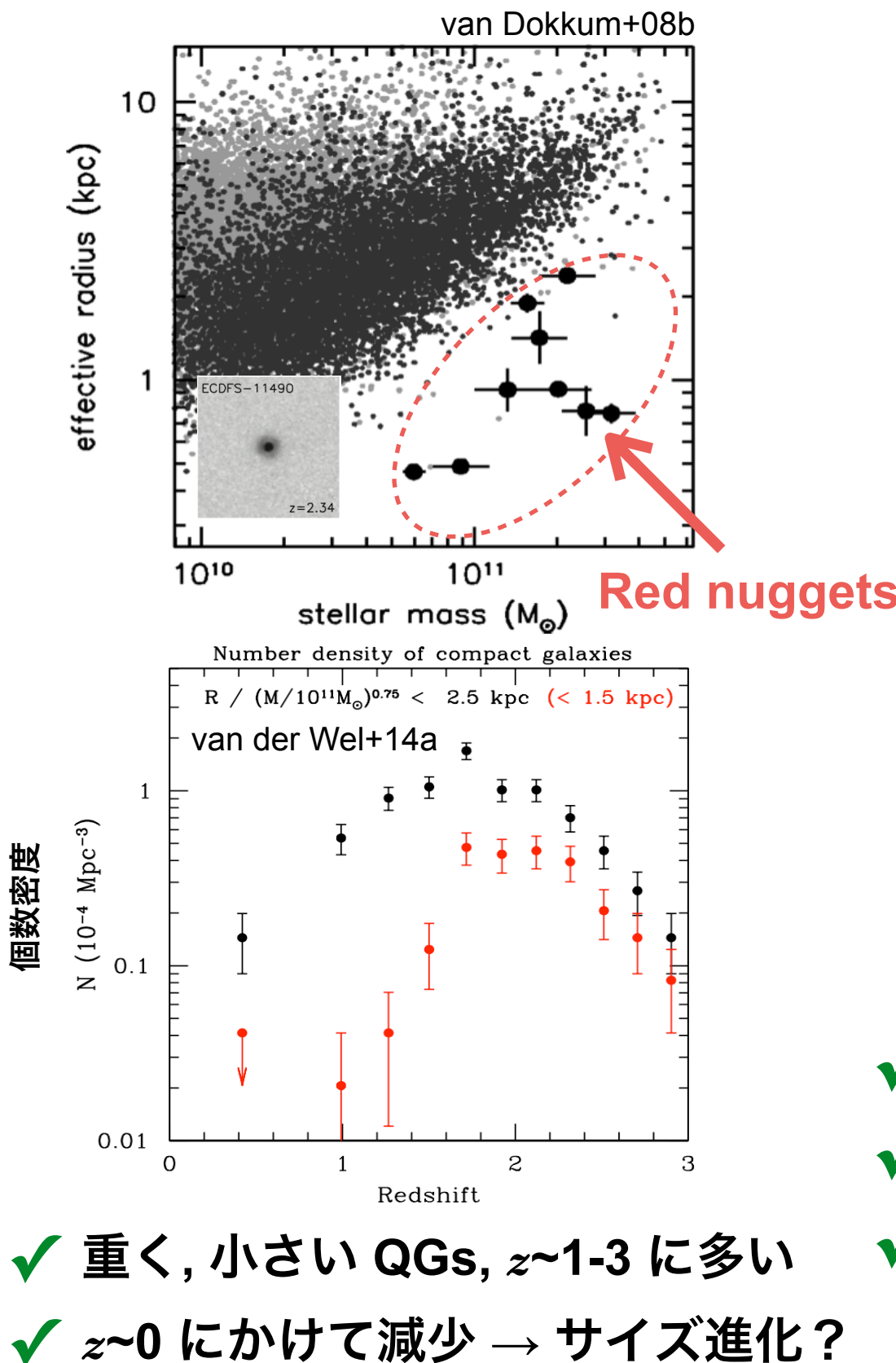
→ 安定 Toomre Q~1.1, 渦巻き銀河に似た形態

$$j_\star/j(M_\star) = 0.2 - 0.8$$



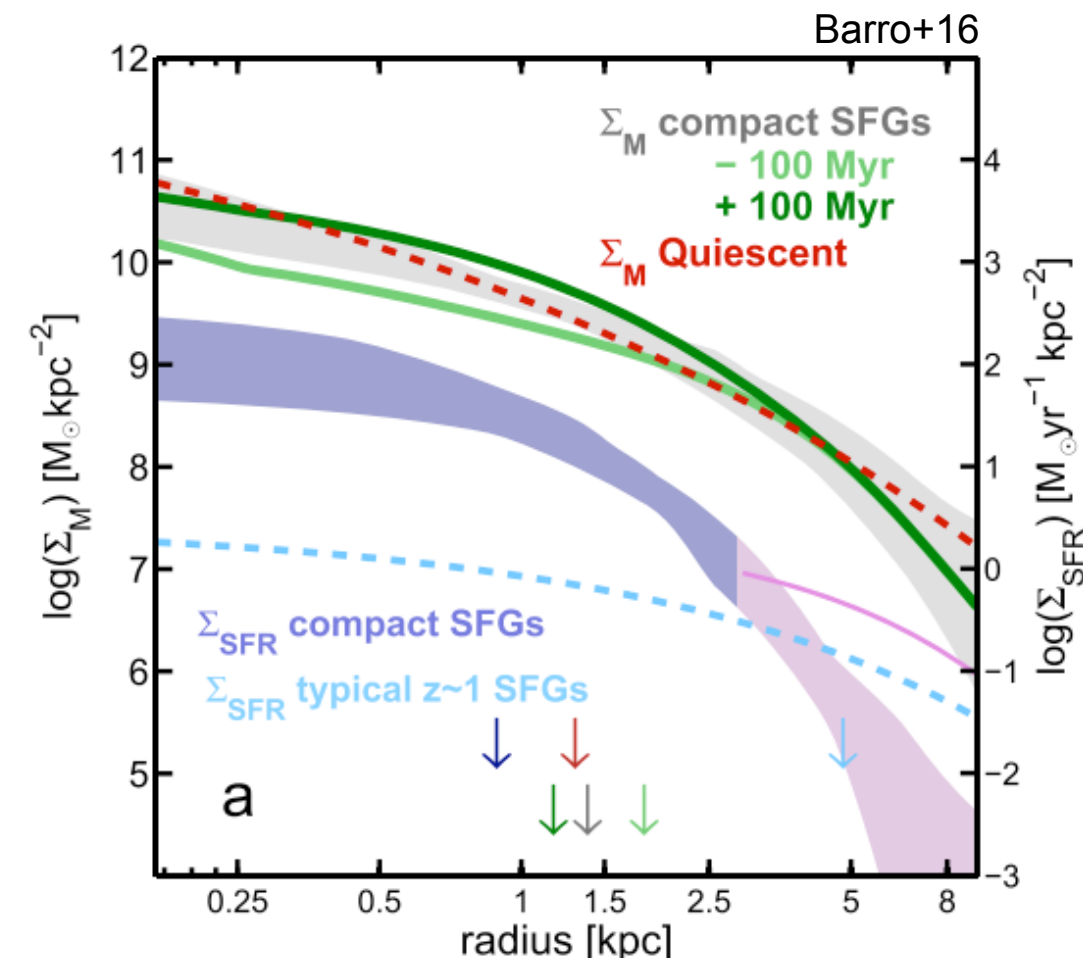
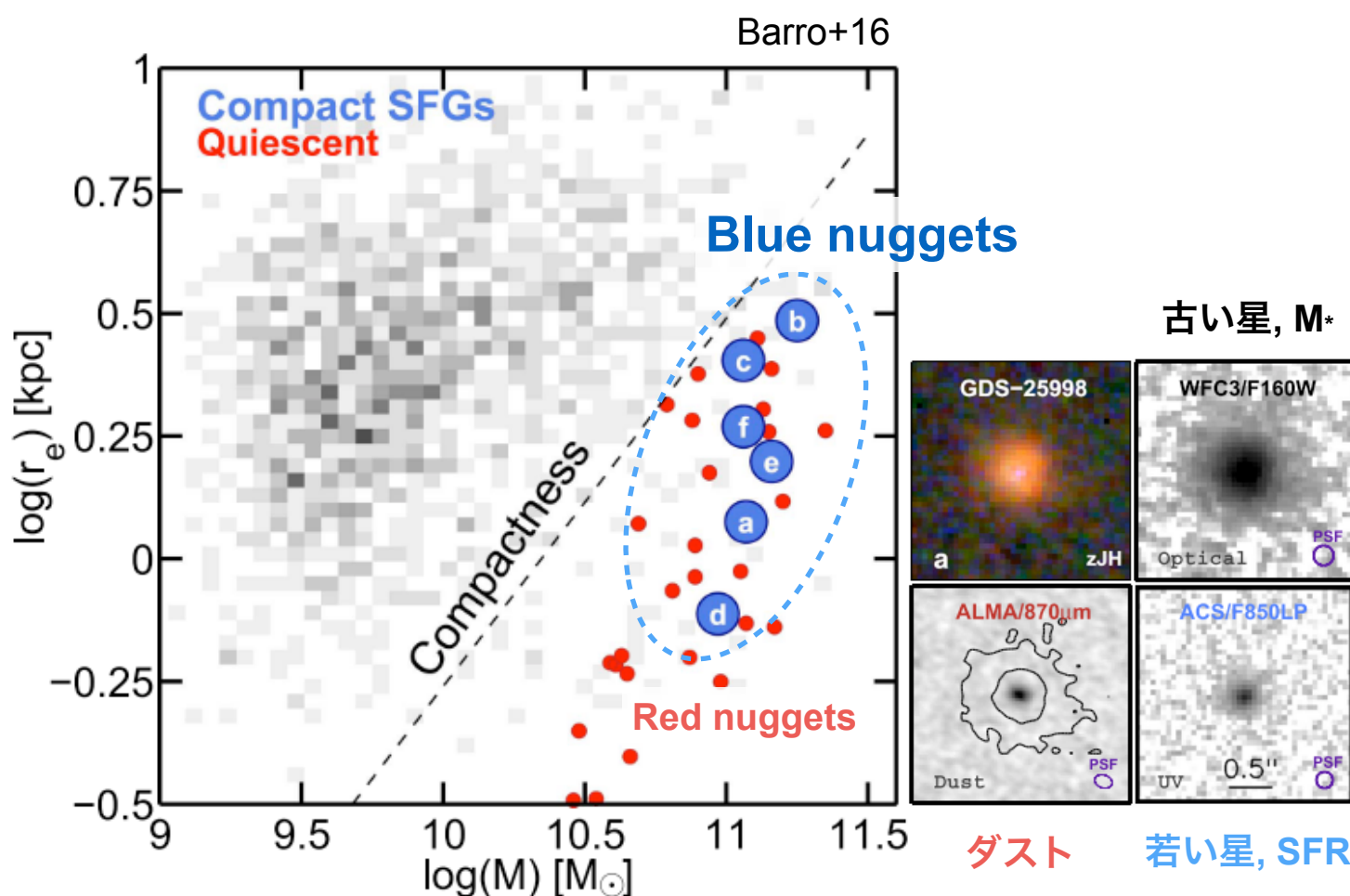
Low sAM → 不安定 Toomre Q~0.5, 複雑な形態, いくつかの星形成領域

# Red Nuggets



- ✓ 主に **minor merger** でサイズ & 質量成長か
- ✓ Merger だけでは不十分という指摘も (e.g., Man+16)
- ✓ Progenitor bias の見積よりも重要 (e.g., Belli+13c)

# Blue Nuggets, compact SFGs/SMGs

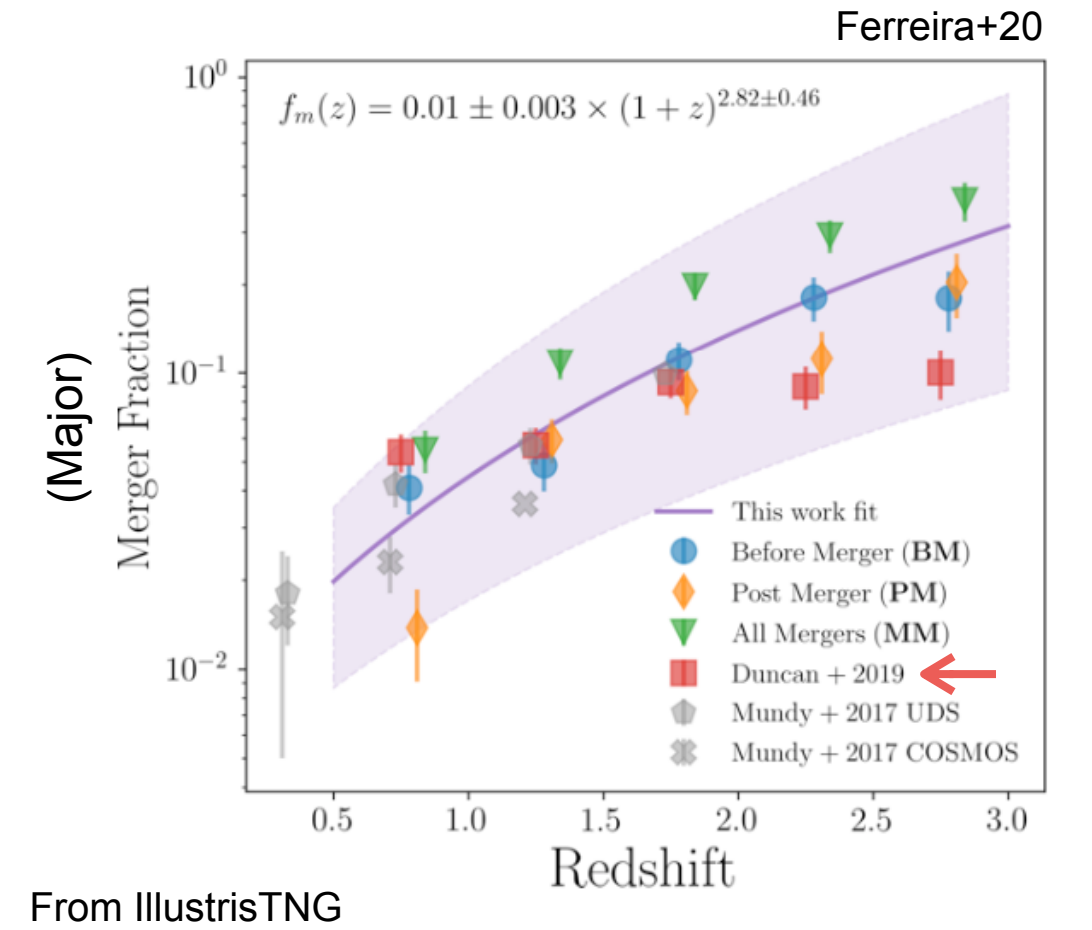
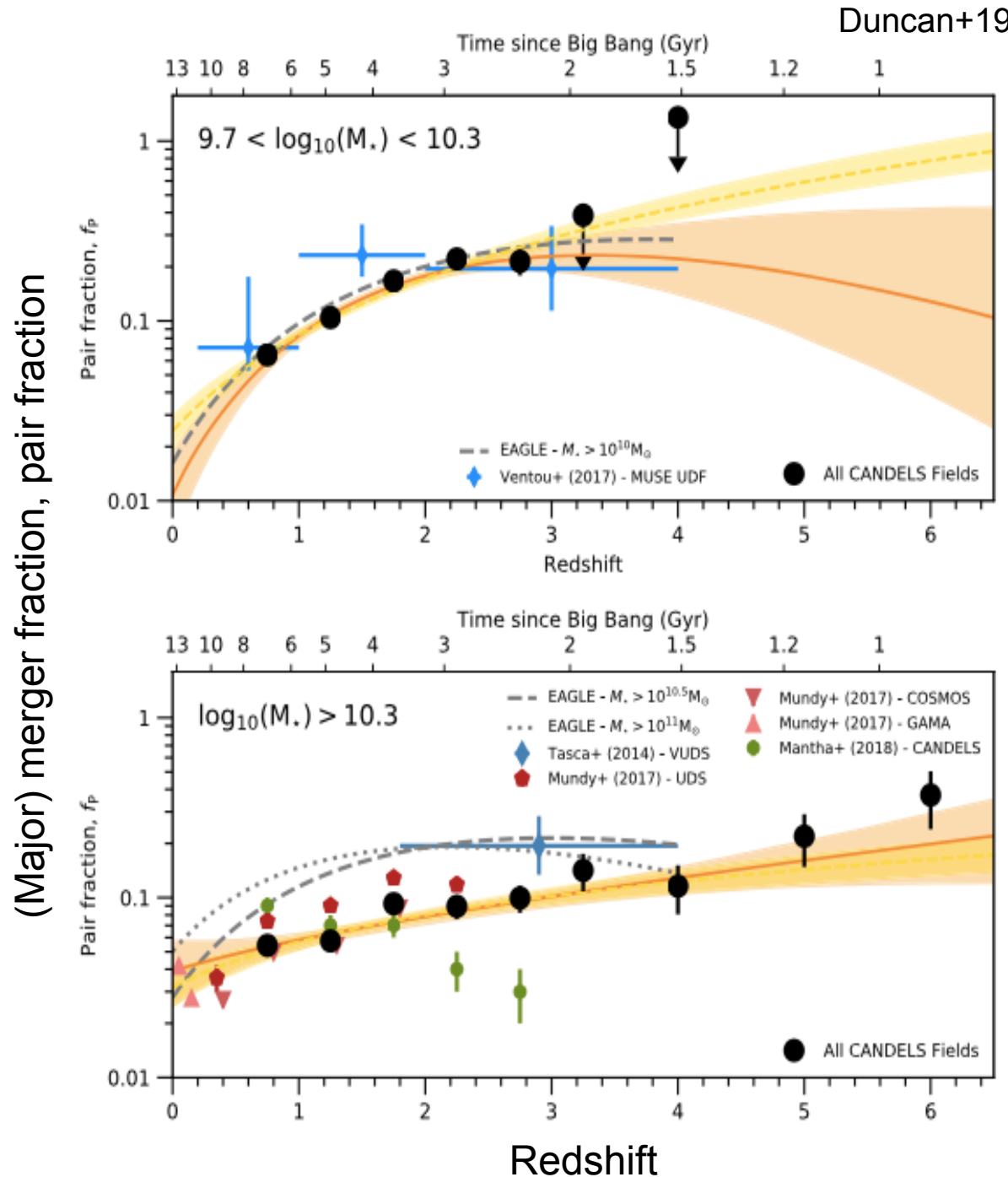


- ✓ Red nuggets と同じくらい重く小さい SFGs  
→ Blue nuggets (compact SFGs/SMGs)
- ✓ Red nuggets の progenitors か
- ✓ 中心 1kpc 以内の星質量密度  $\Sigma_{1\text{kpc}}$  が  
形成/進化過程と密接に関係か (e.g., Barro+17)

中心の激しい星形成により  
Blue → red nuggets の  
サイズ & 質量進化が可能か

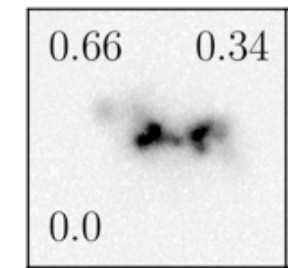
See also, e.g., Toft+14, Gómez-Guijarro+18

# 銀河合体率の進化

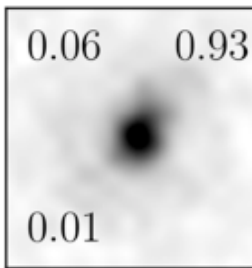


From IllustrisTNG

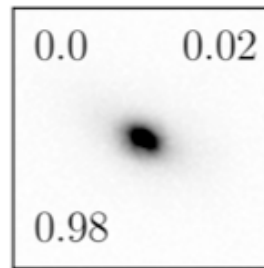
Before merger



Post merger



Non merger

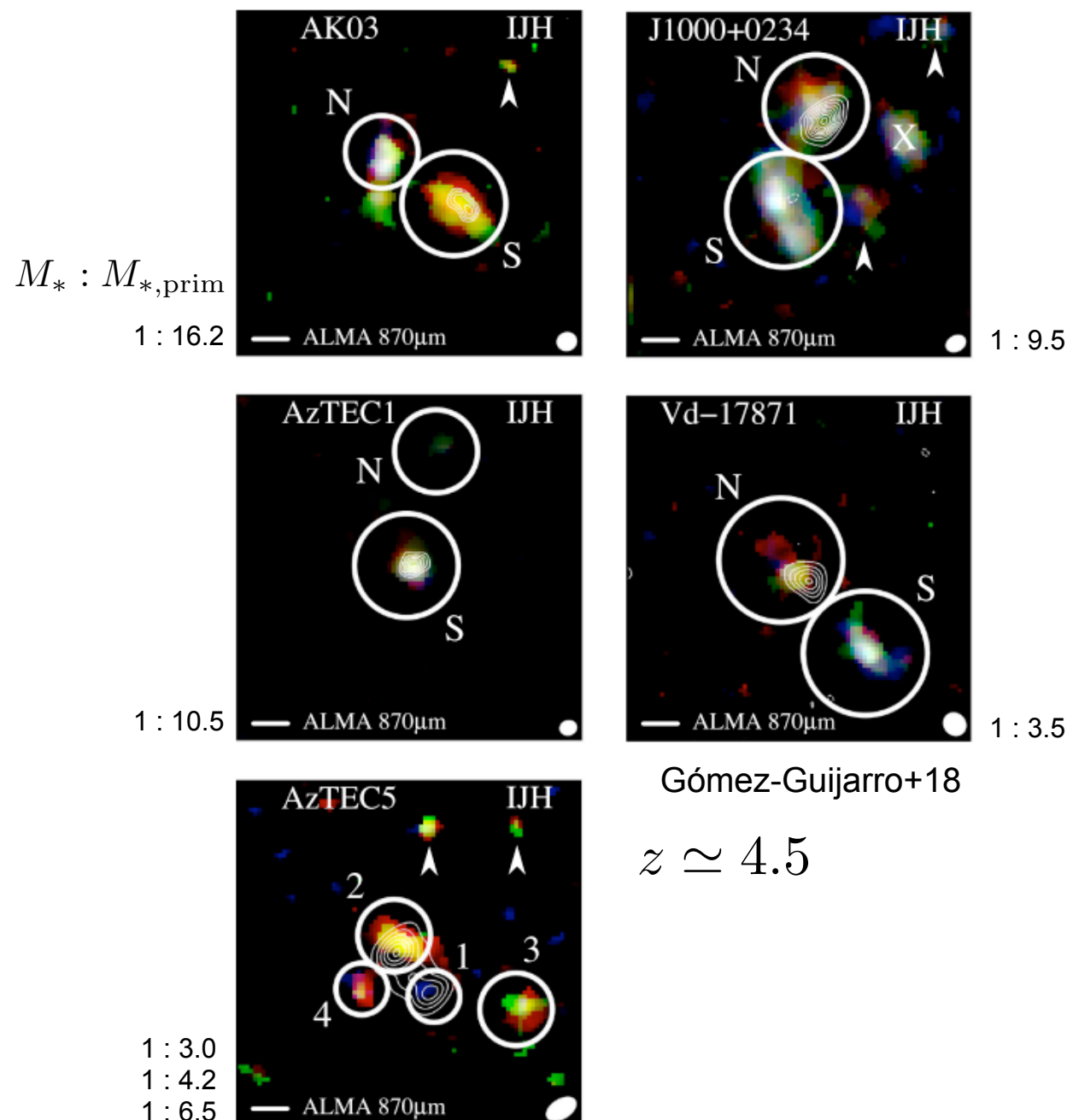


(Major) 合体率は  $z \sim 4-6$  まで増加傾向  
→ 過去に頻繁な合体

- ✓ 機械学習でも  $z = 0-3$  は同傾向
- ✓ Simulation 画像を入力

# 銀河合体と SMGs, AGNs の関係

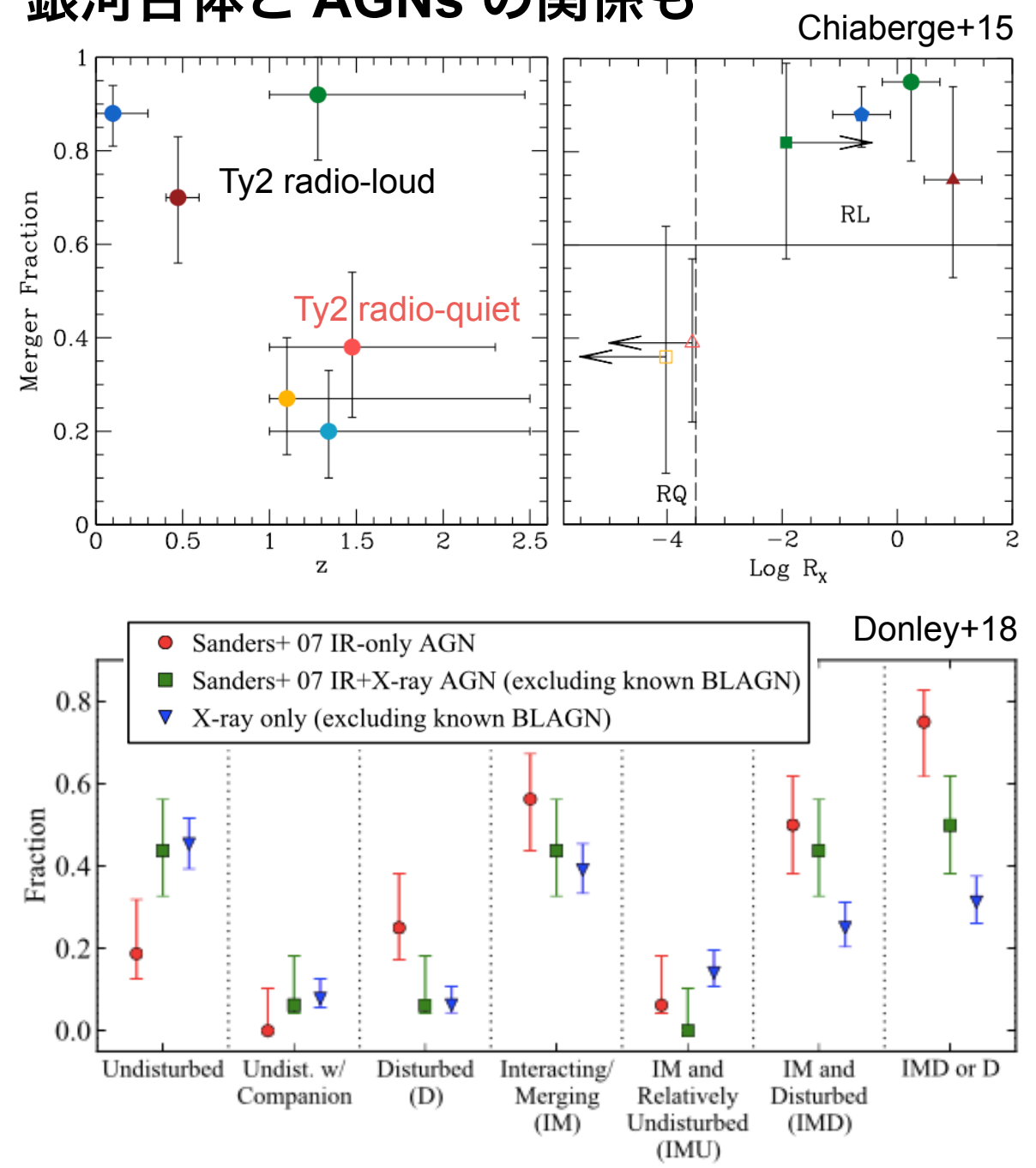
合体を引き起こしている SMGs も



(Minor mergerが多い?)

See also, e.g., Fu+13, Ivison+13

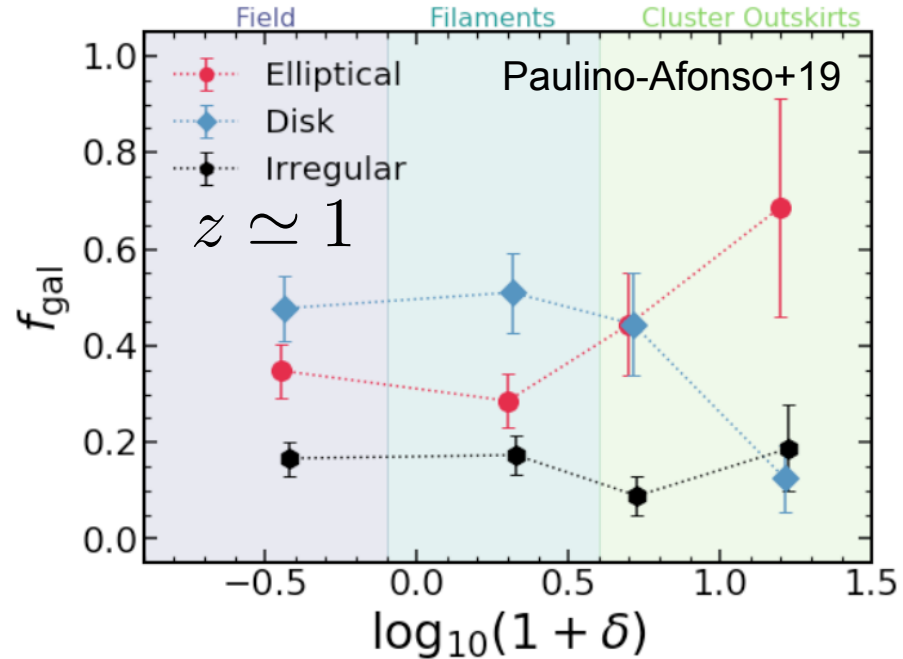
銀河合体と AGNs の関係も



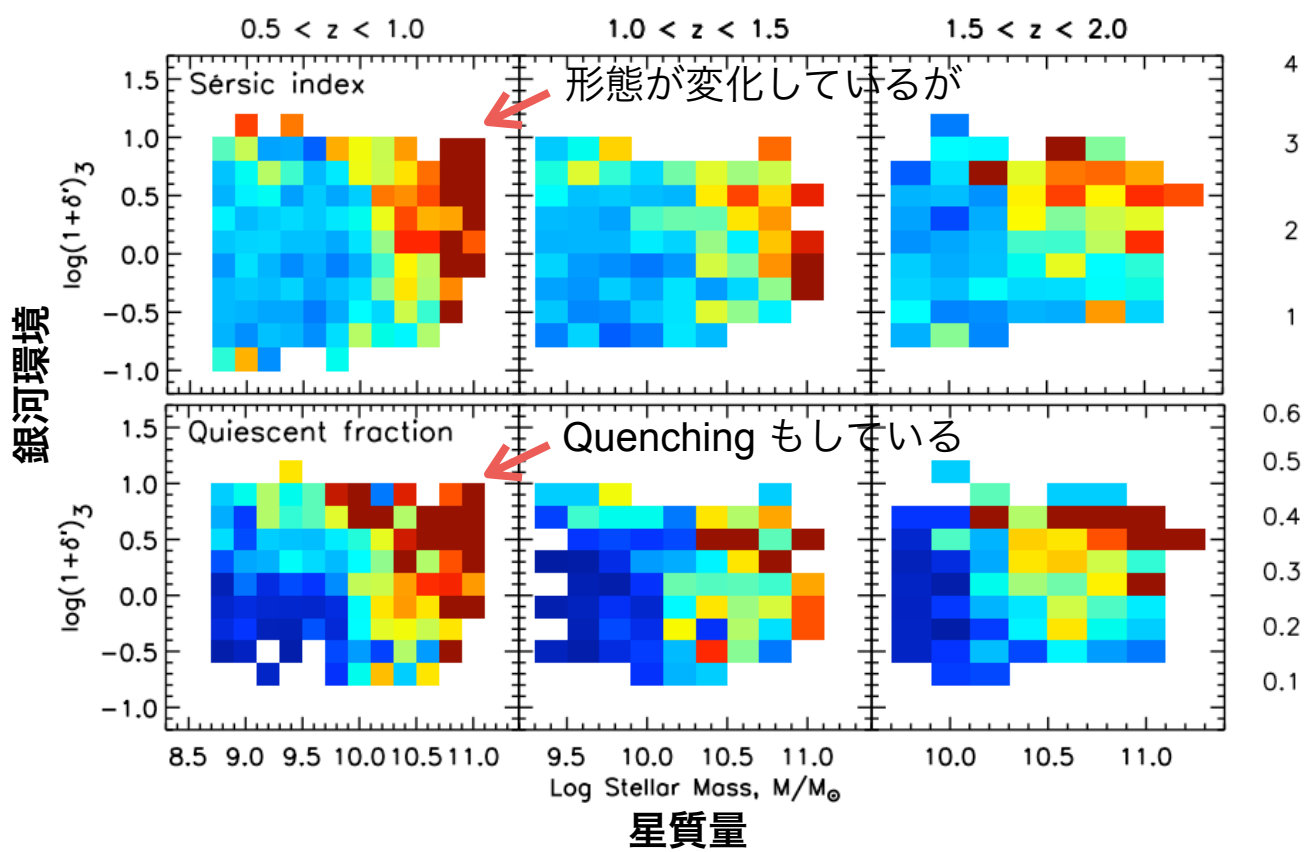
- ✓ 関係が有ったり無かったり
- ✓ AGN の種類や合体の段階にも関係？

See also, e.g., Comerford+15, Mechtle+16, Villforth+14, 16, Hewlett+17

# 銀河形態の環境依存性

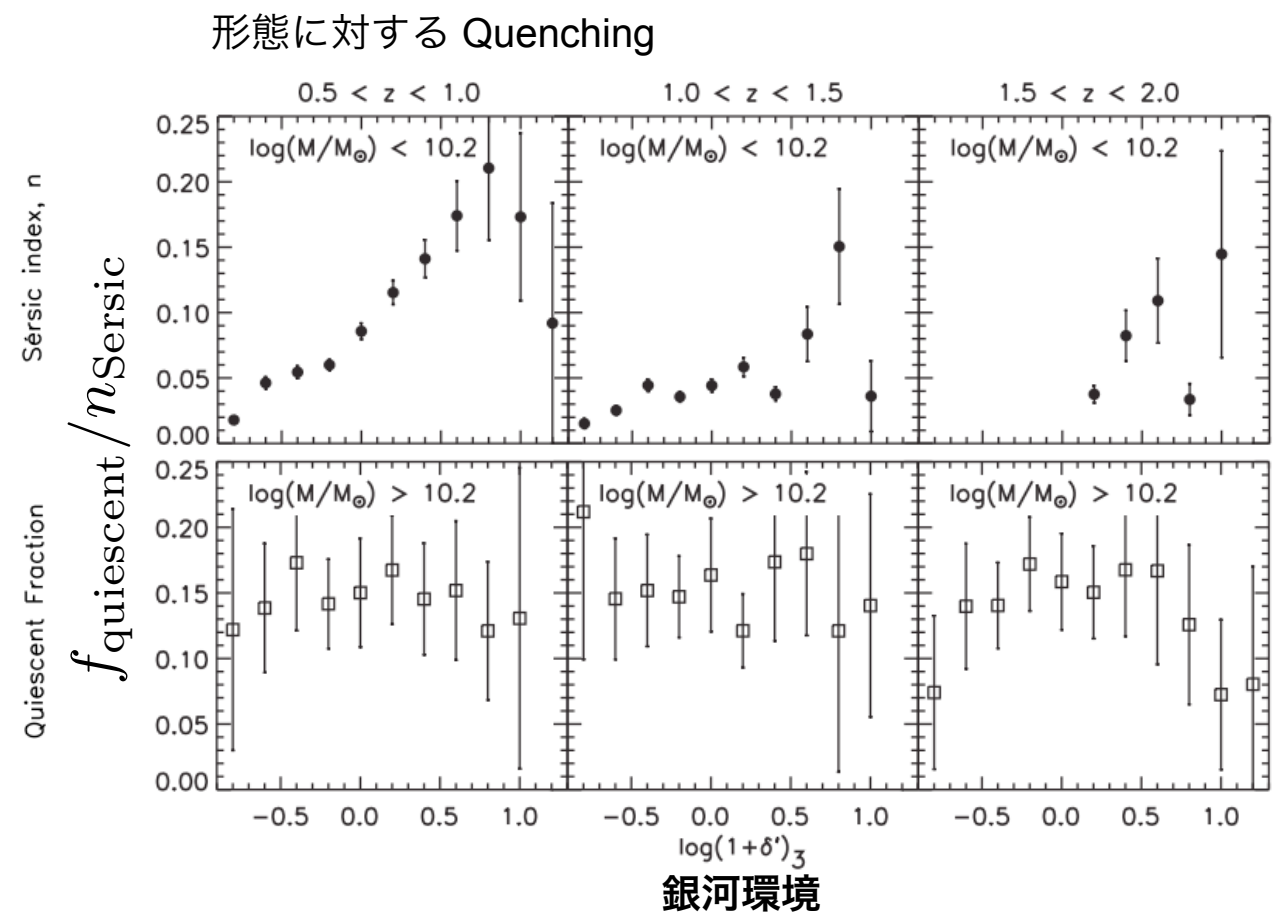


- ✓ 形態-密度関係が  $z \sim 1-2$  で既に存在する系も
- ✓ 「高密度領域には、重く星形成を止めた銀河が多い」という**質量効果**も
- ✓ Quenching と形態変化の関係は？  
→ 様々な(原始)銀河団を系統的に研究する必要性



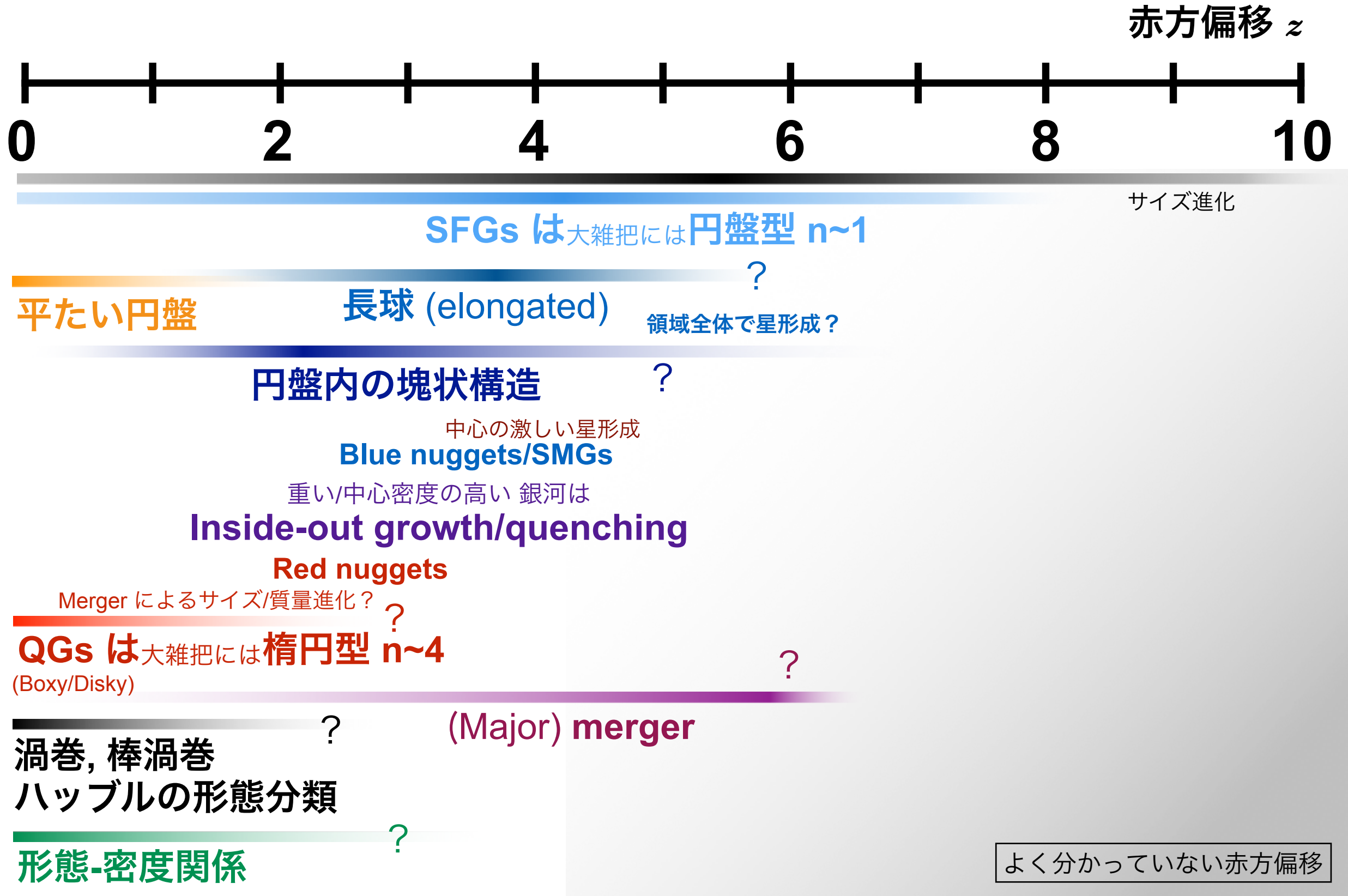
Kawinwanichakij+17

See also, Peng+10 for local galaxies



Low- $M$  では  $\delta$  に対して,  $n$  はほぼ一定だが,  $f_{\text{quiescent}}$  は大きく変化  
→ Quenching 後, すぐに形態変化? (see, Kawinwanichakij+17)

# これまでの形態研究で分かったこと

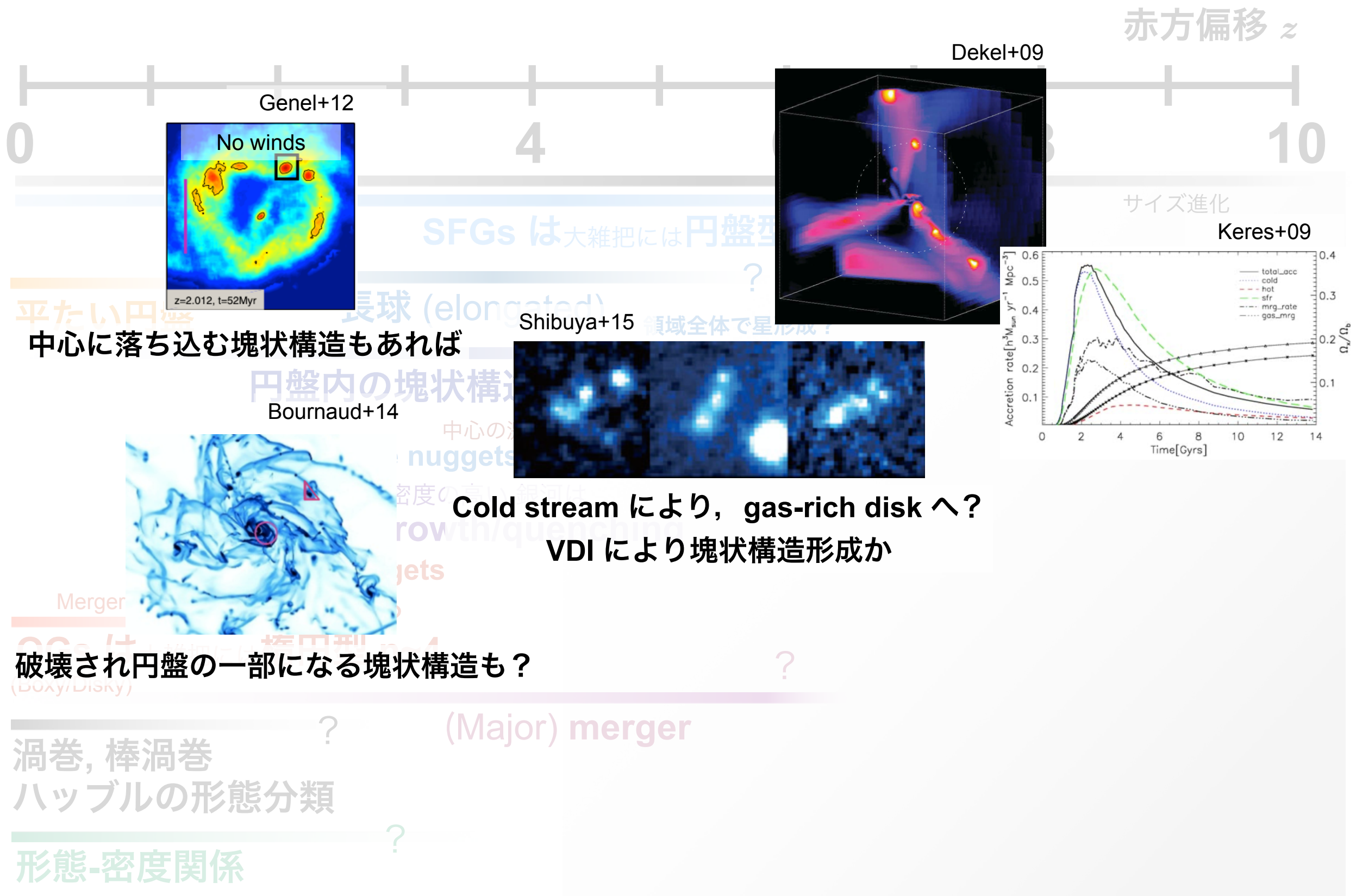


# 銀河形態進化の大枠



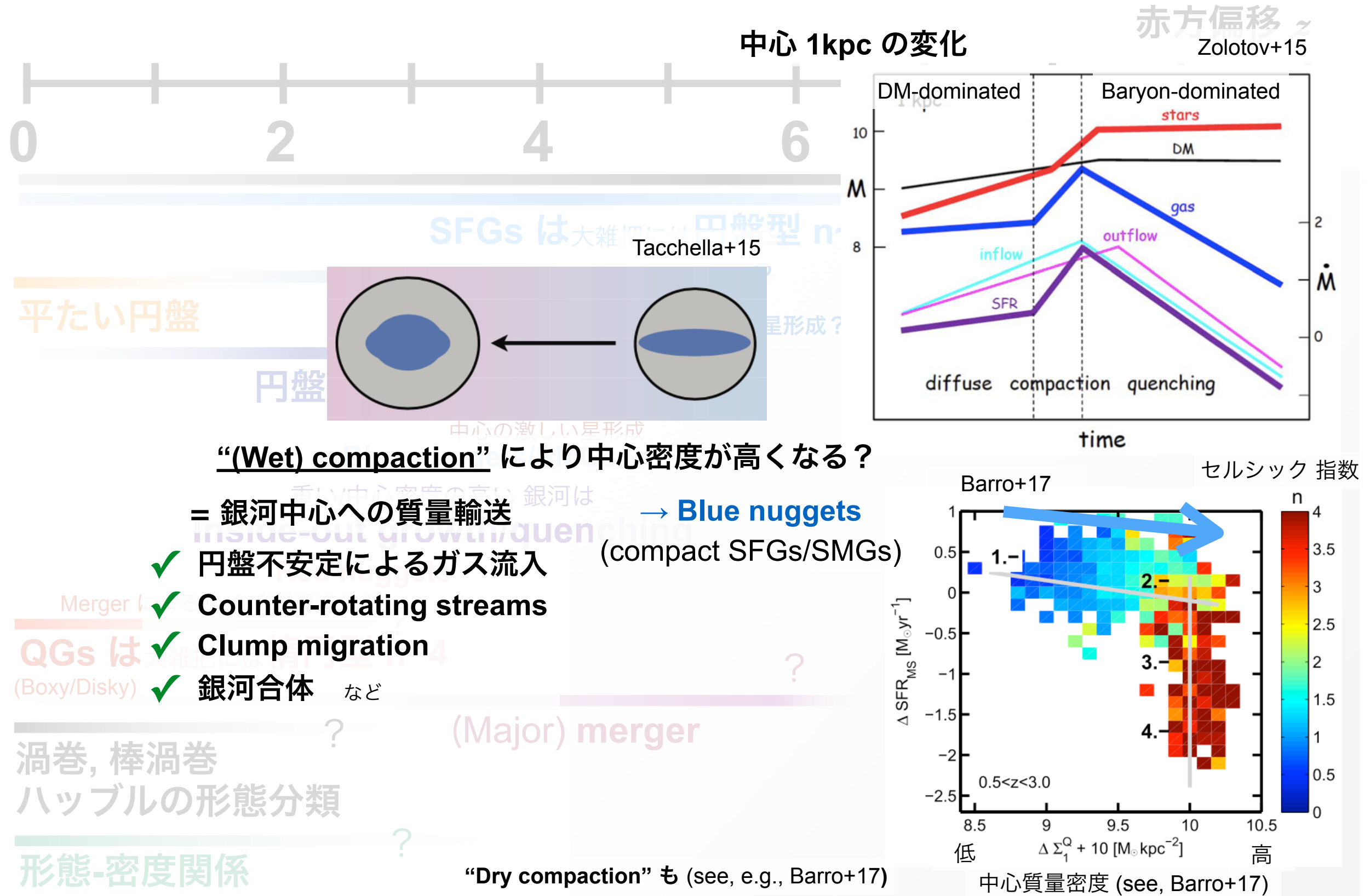
\* 質量に依存, 大まかな流れ

# 銀河形態進化の大枠



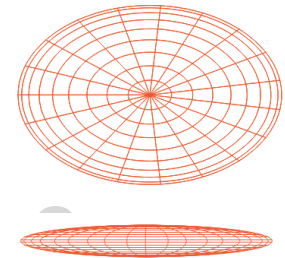
※ 質量に依存, 大まかな流れ

# 銀河形態進化の大枠

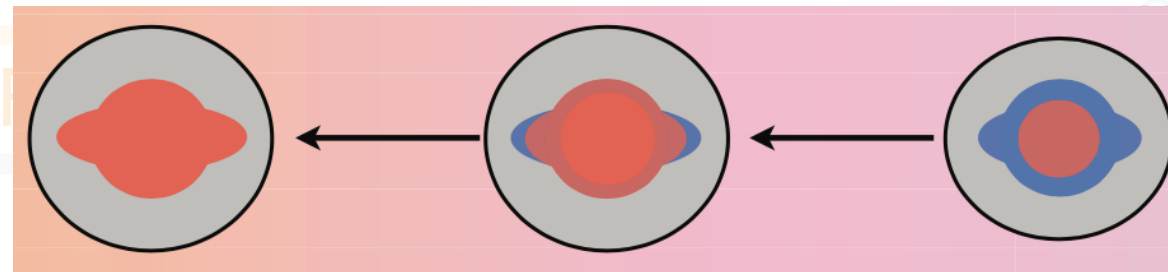


※ 質量に依存, 大まかな流れ

# 銀河形態進化の大枠



Compaction 後, 平べったい円盤へ?



中心の激しい星形成による ガスの枯渇,

AGN/SF feedback など

Inside-out growth/quenching

Red nuggets

Merger によるサイズ/質量進化?

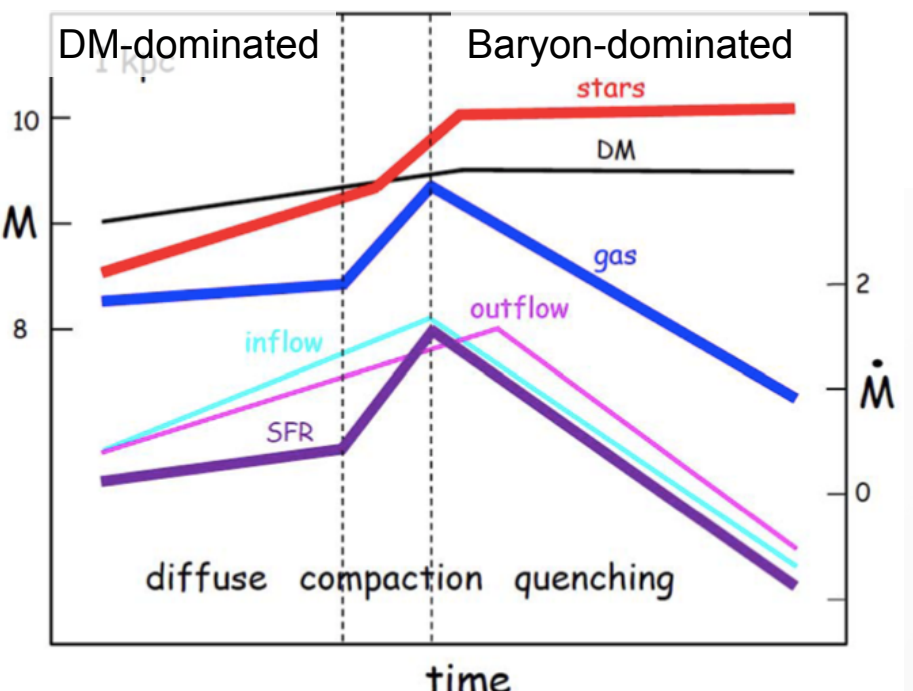
QGs は 大雑把に核型 n=4  
(Boxy/Disky)

中心から徐々に Quenching

Tacchella+15

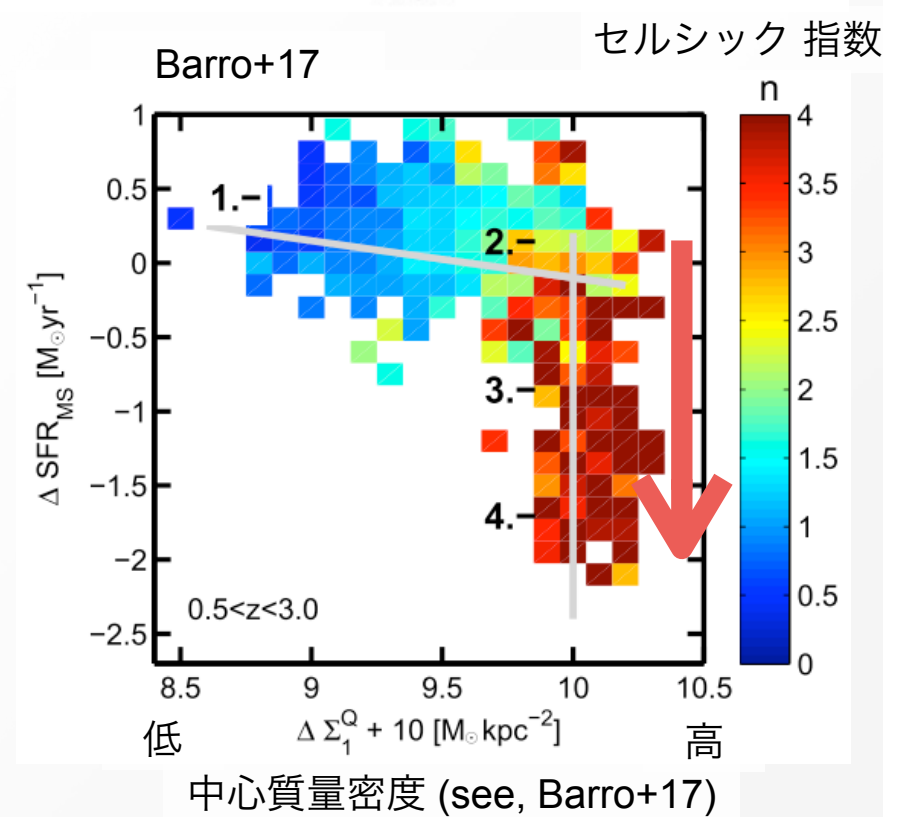
中心 1kpc の変化

赤方偏移  
Zolotov+15



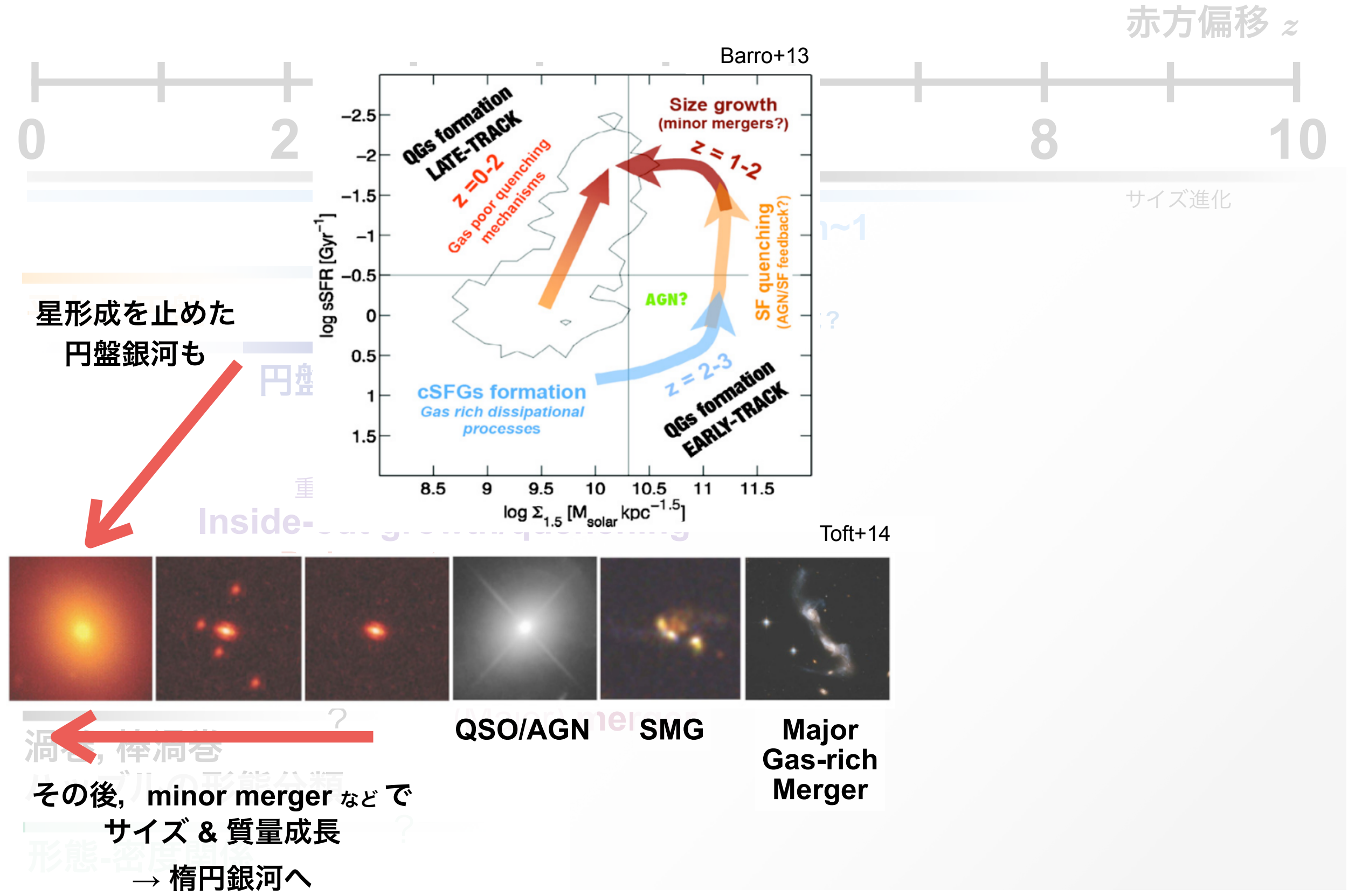
渦巻, 棒渦巻  
ハッブルの形態分類

形態-密度関係



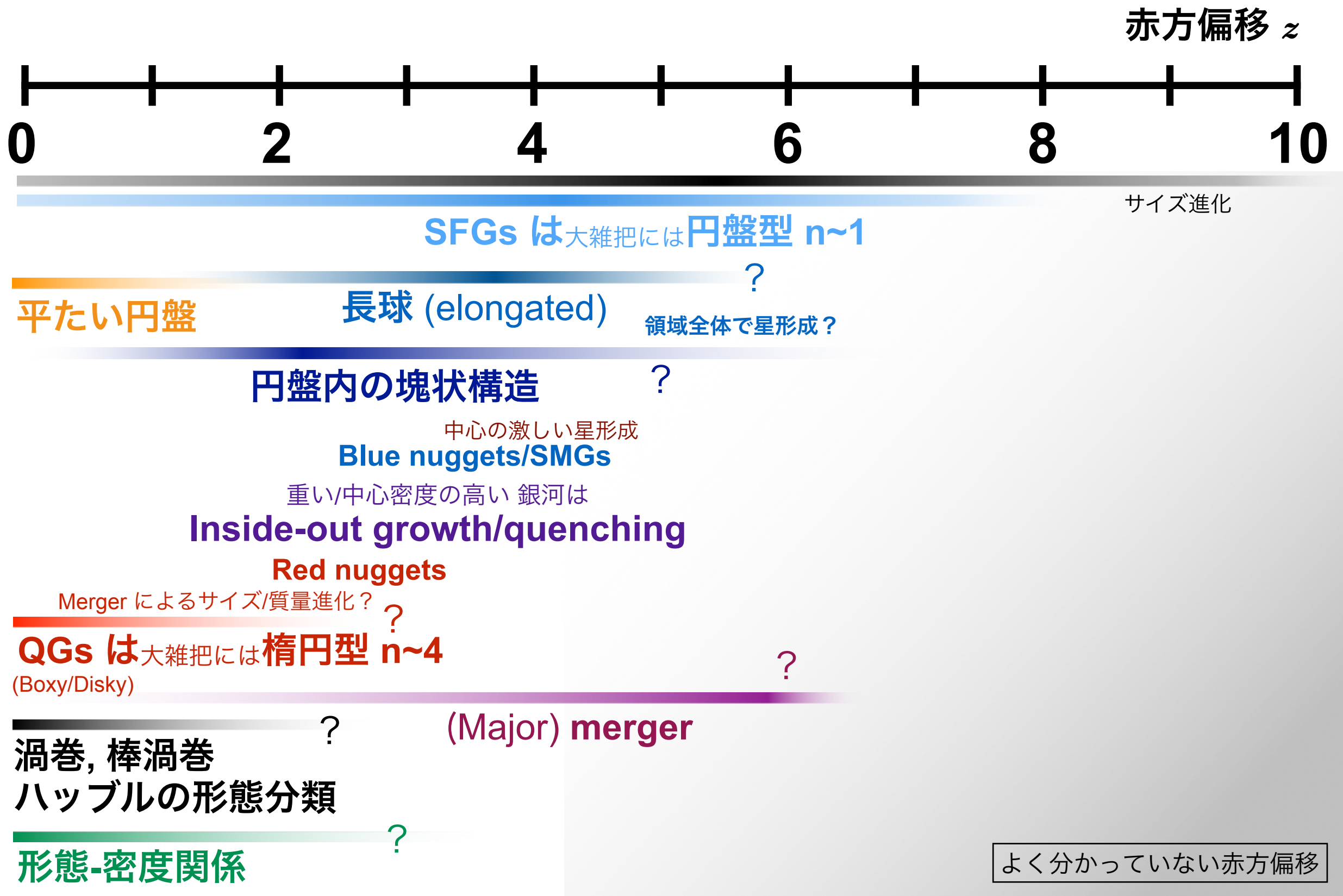
\* 質量に依存, 大まかな流れ

# 銀河形態進化の大枠



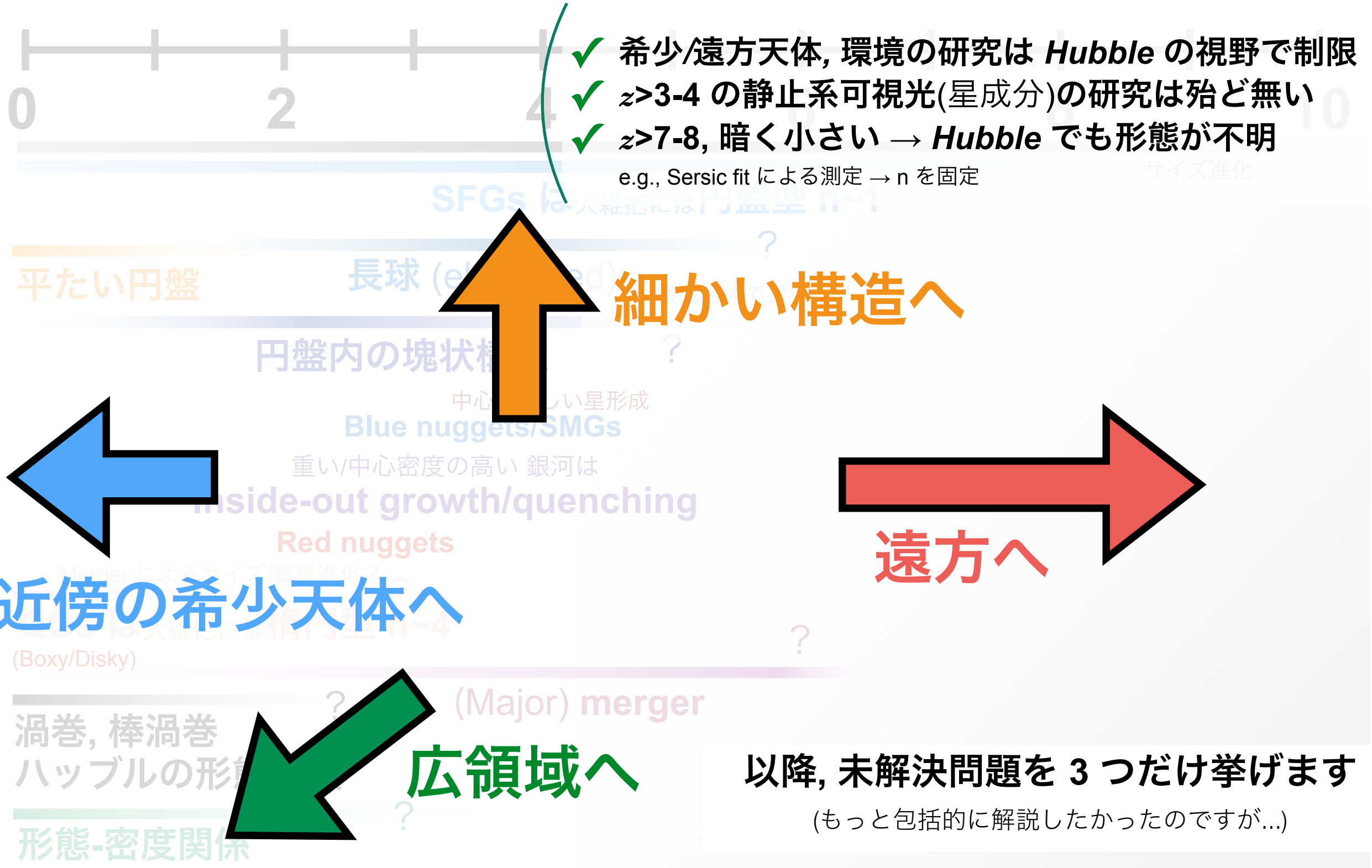
# 3. 未解決問題

# 形態研究の方向性 (例)



※ 質量に依存, 大まかな流れ

# 形態研究の方向性 (例)

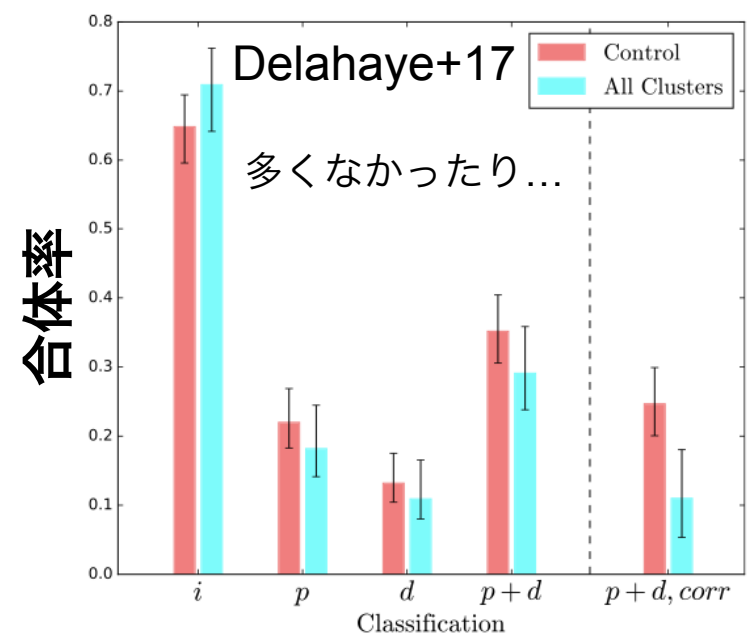
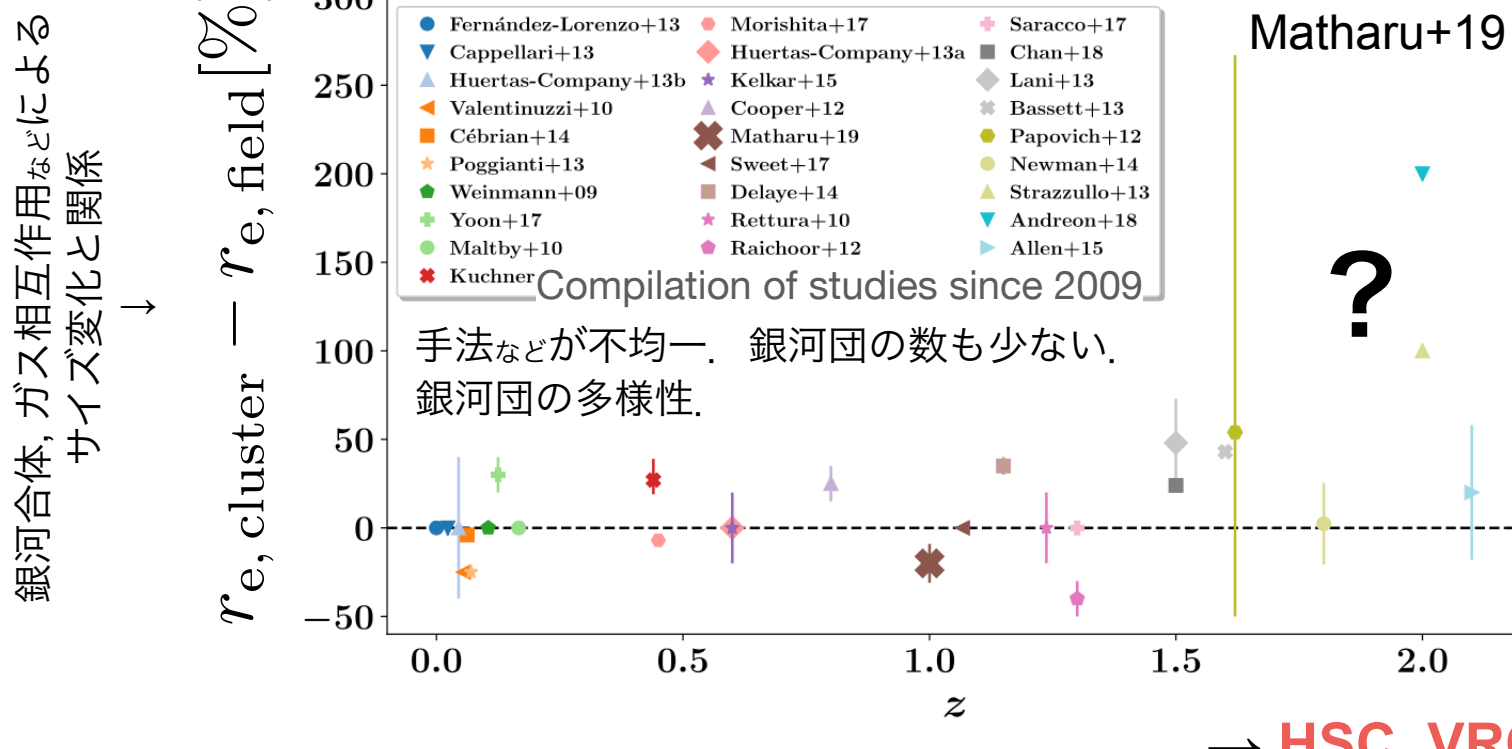
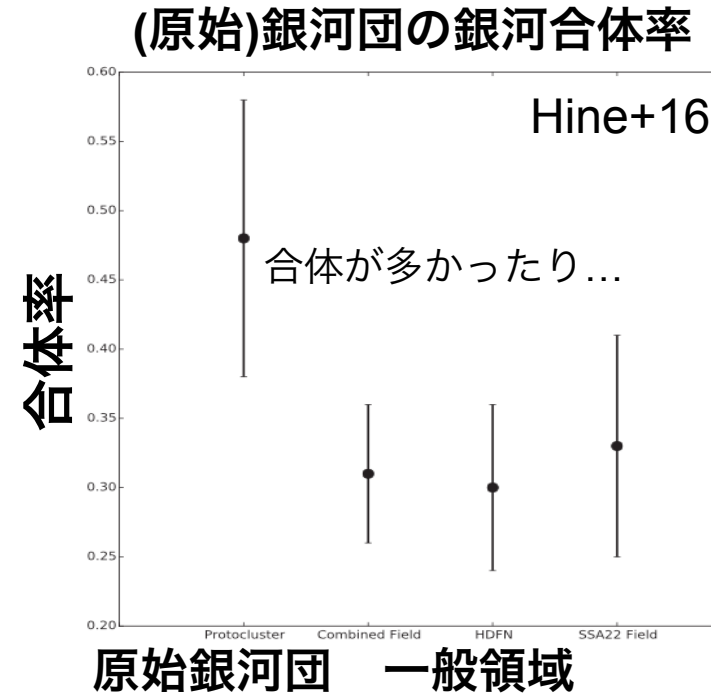
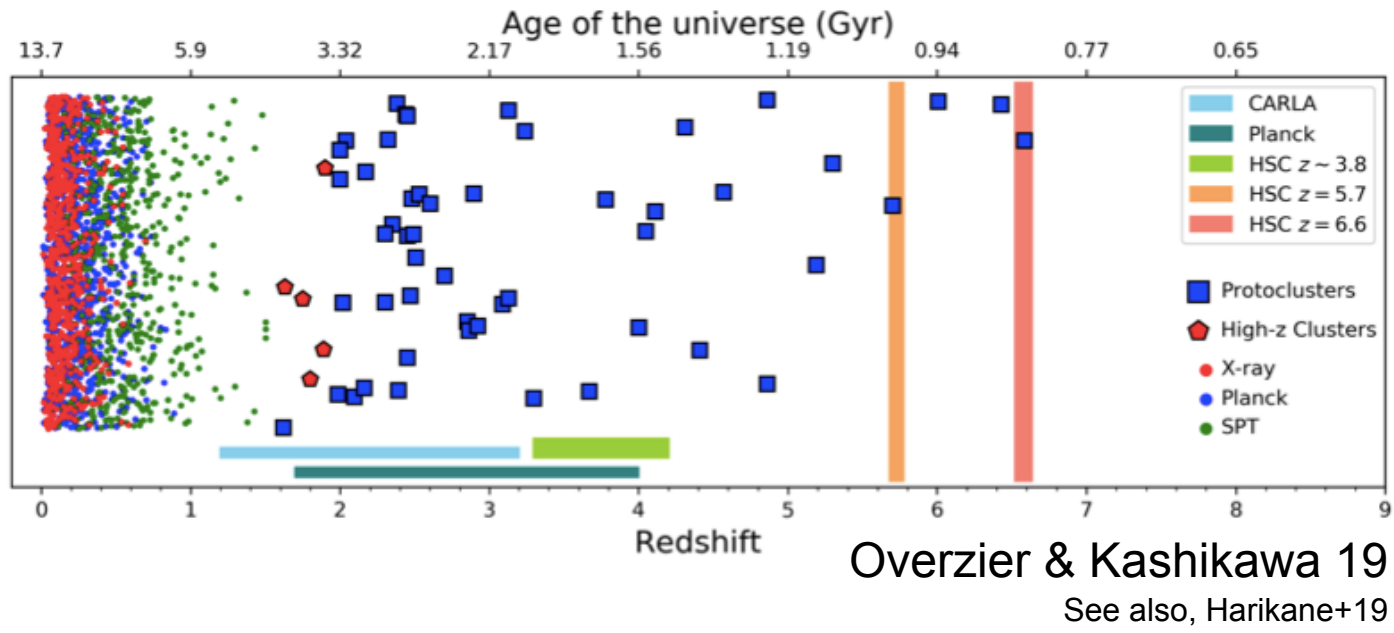


※複数の方向へ進むことも

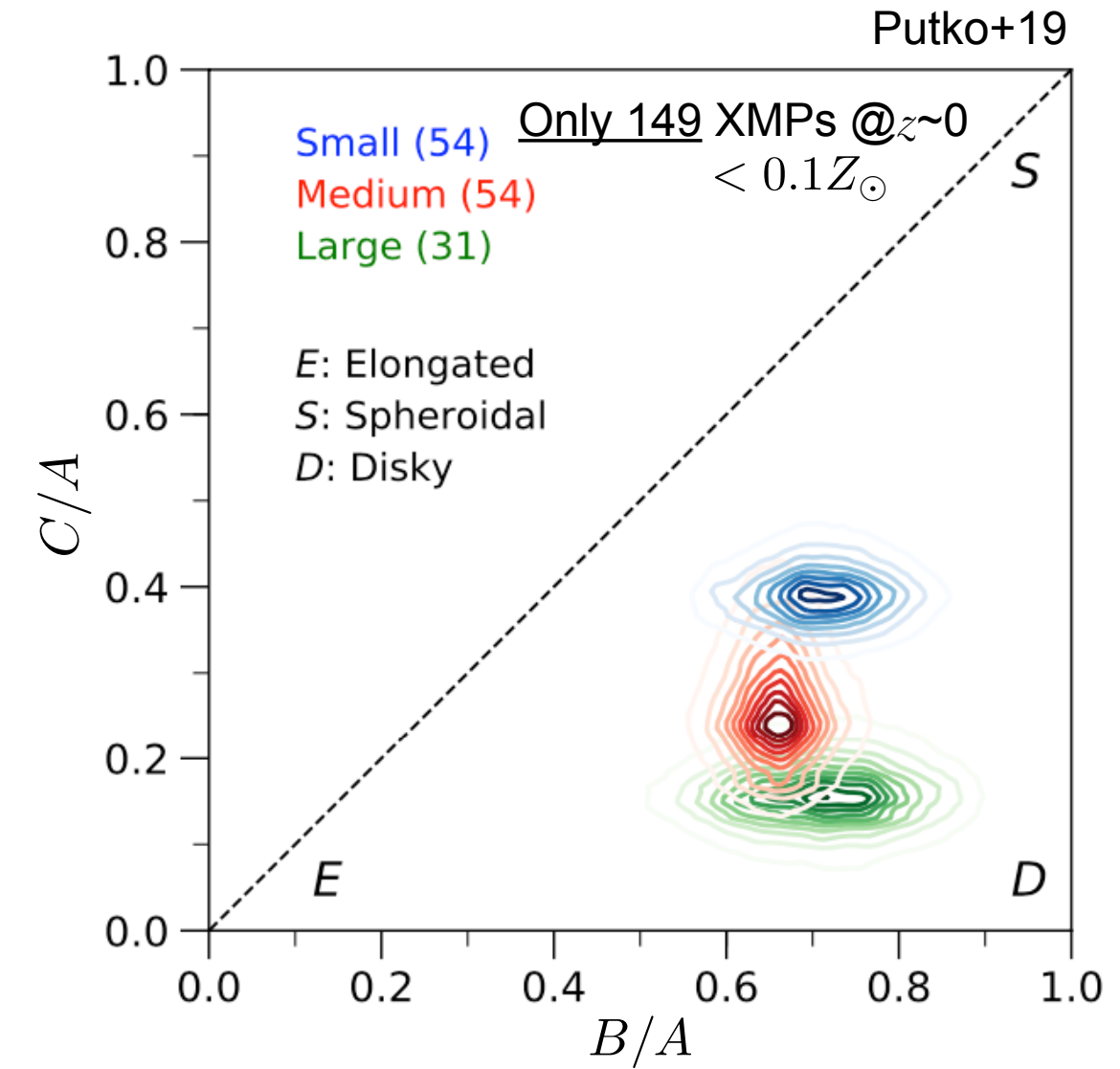
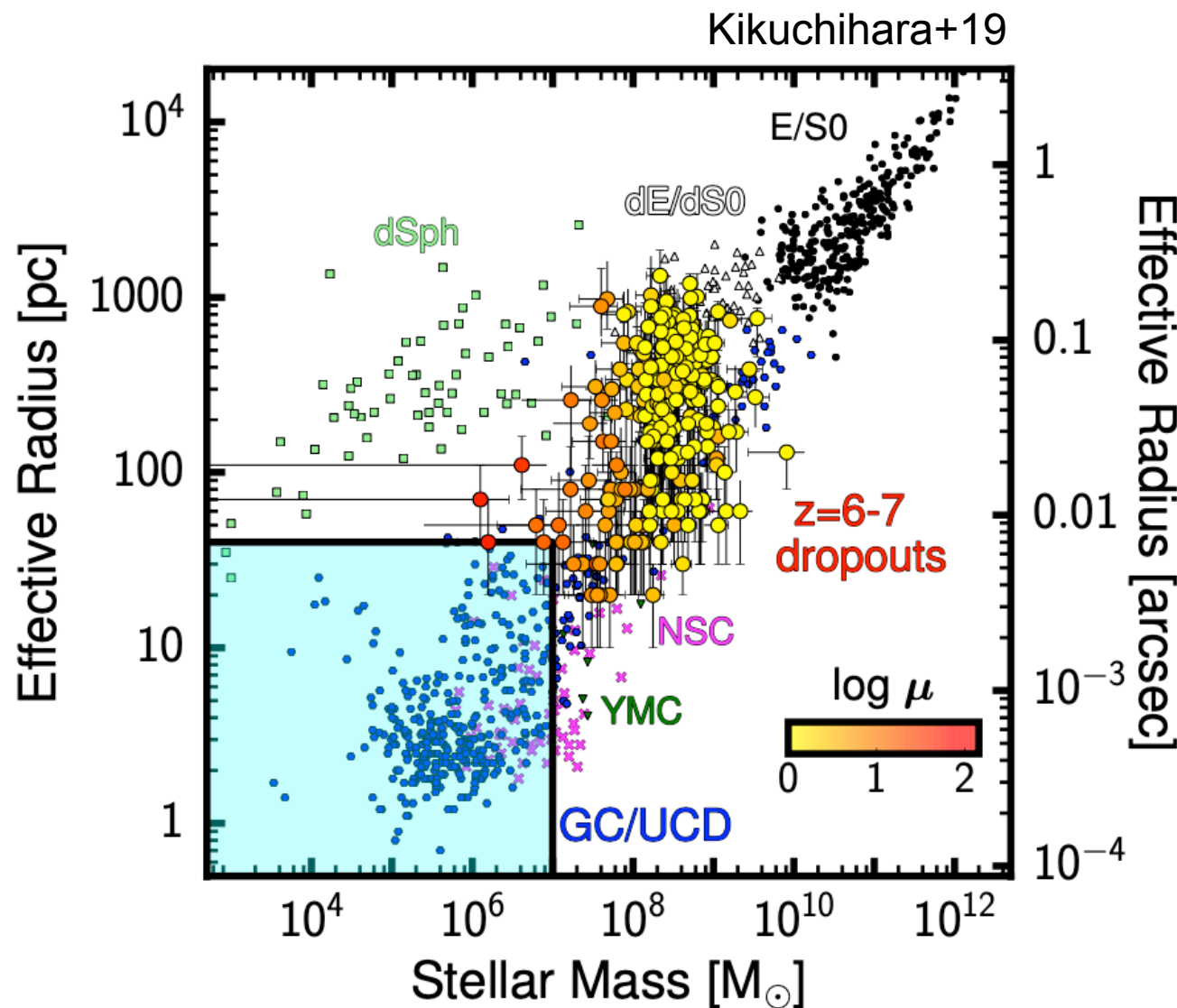
# 例1) 銀河形態の環境依存性

環境が銀河形態に与える影響は いつ, どのように?

「銀河 高密度環境下では銀河合体が形態に影響を及ぼす」と言うが...



## 例2) 低質量/若い銀河の形態



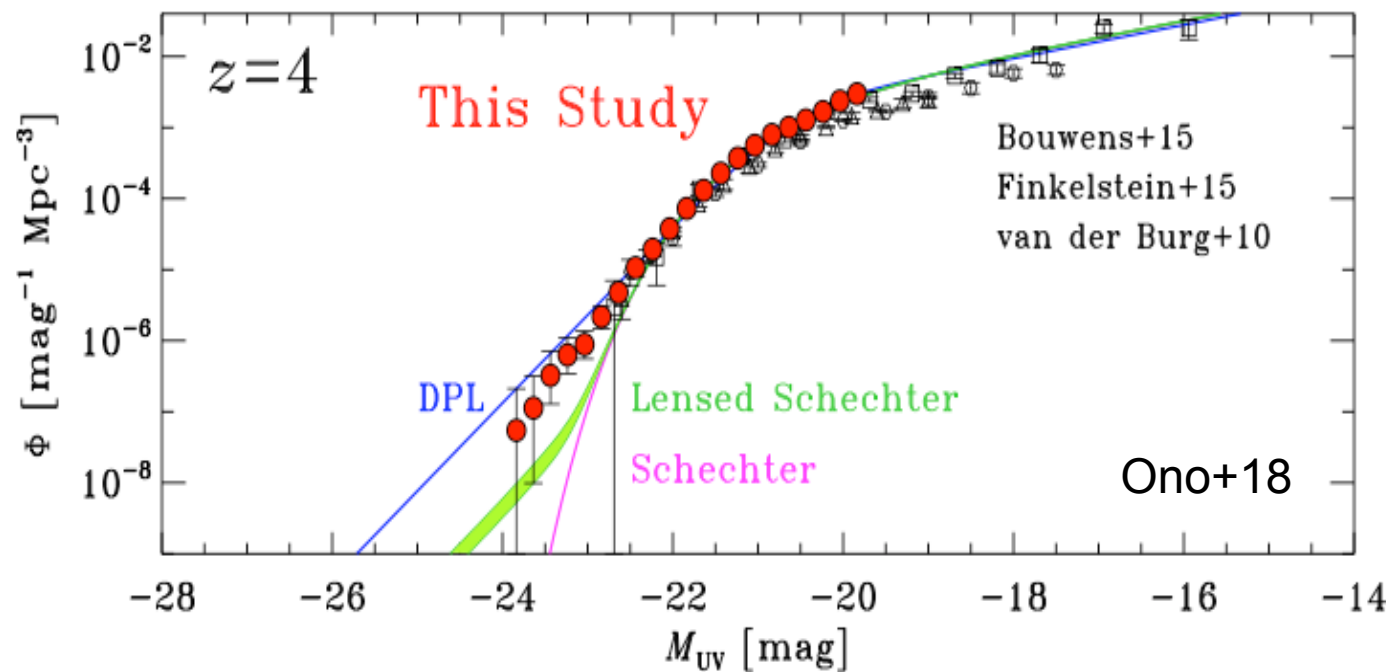
- ✓  $z \sim 6-9$  で球状星団の質量/半径に近い “銀河”
- 形態は？ 円盤型？ 楕円型？
- より大きな銀河の一部？
- 形成過程は？

- ✓ 低金属量の若い銀河の3次元形態
- ✓ ガス流入, feedback 過程などを反映か
- ✓ 形成初期の銀河の物理状態は？

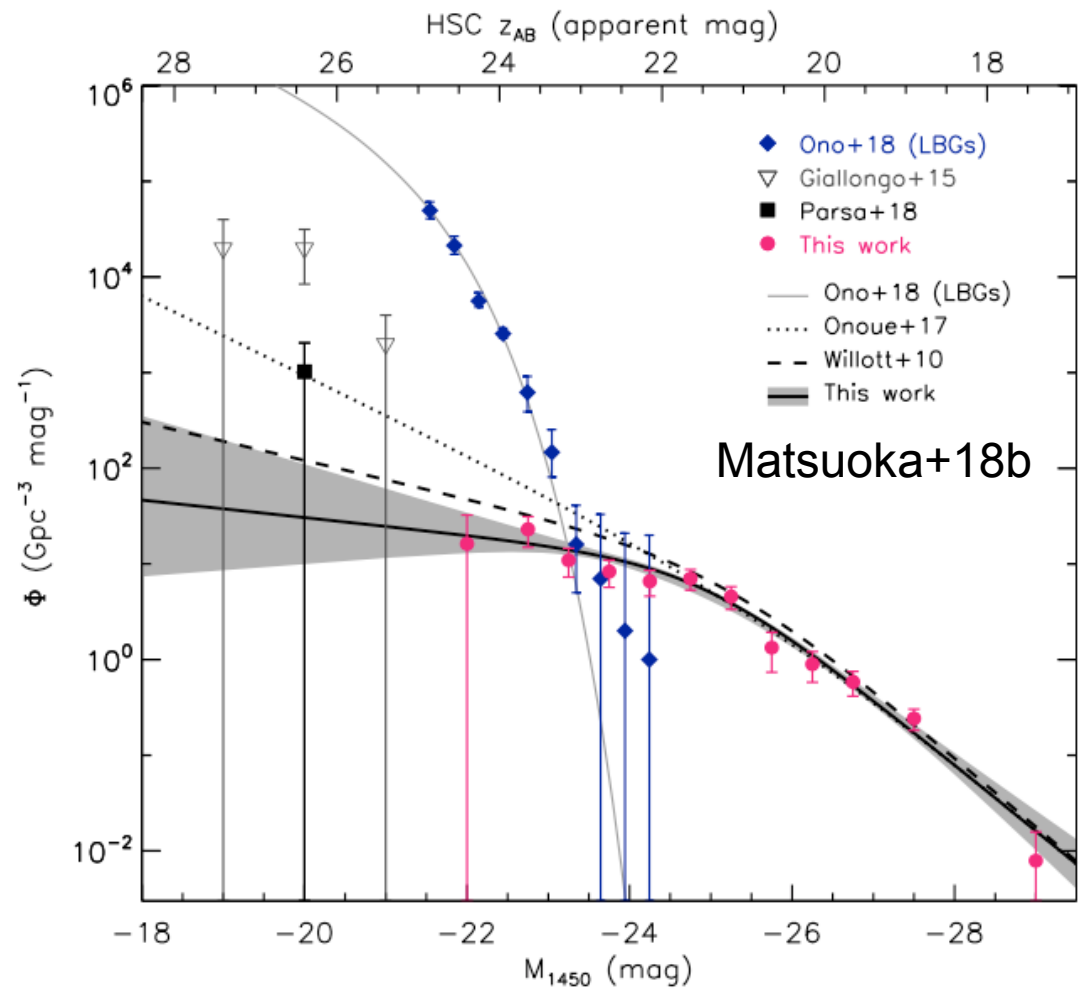
See also, Isobe+20

→ JWST, ELTs, 画像高解像度化, 広領域探査との親和性

# 例3) High- $z$ の明るい銀河の形態

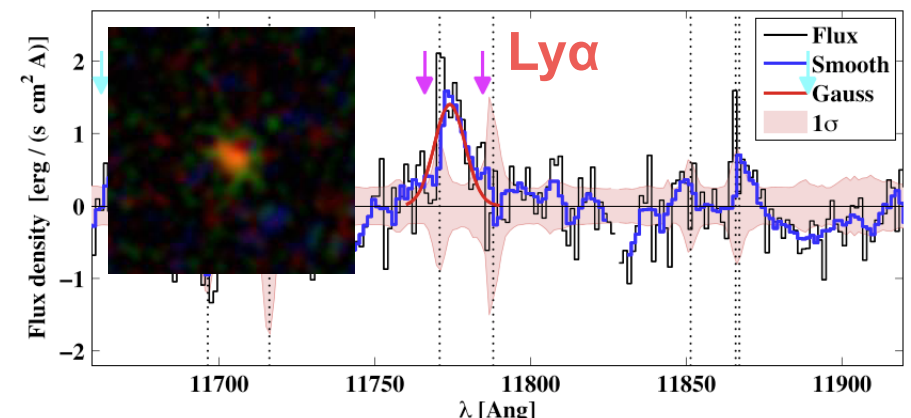


UV, Ly $\alpha$  などで明るい銀河の形態は?  
銀河合体による星形成の影響は?



- ✓ Power-law UV LFs は AGN feedback の低下?
- ✓ 低光度 QSOs の発現機構は?
- ✓ 再電離期の Ly $\alpha$  輝線 (Large HII bubble or ...)
- ✓ Bright-Ly $\alpha$ /high- $EW_{\text{Ly}\alpha}$  LAEs, LABs (e.g., Ouchi+18) の形成過程は?

再電離期の銀河  $z = 8.68$  (Zitrin+15)



→ ALMA, RST, JWST, 画像高解像度化

# その他

## その他の未解決問題

(形態に関するもの)

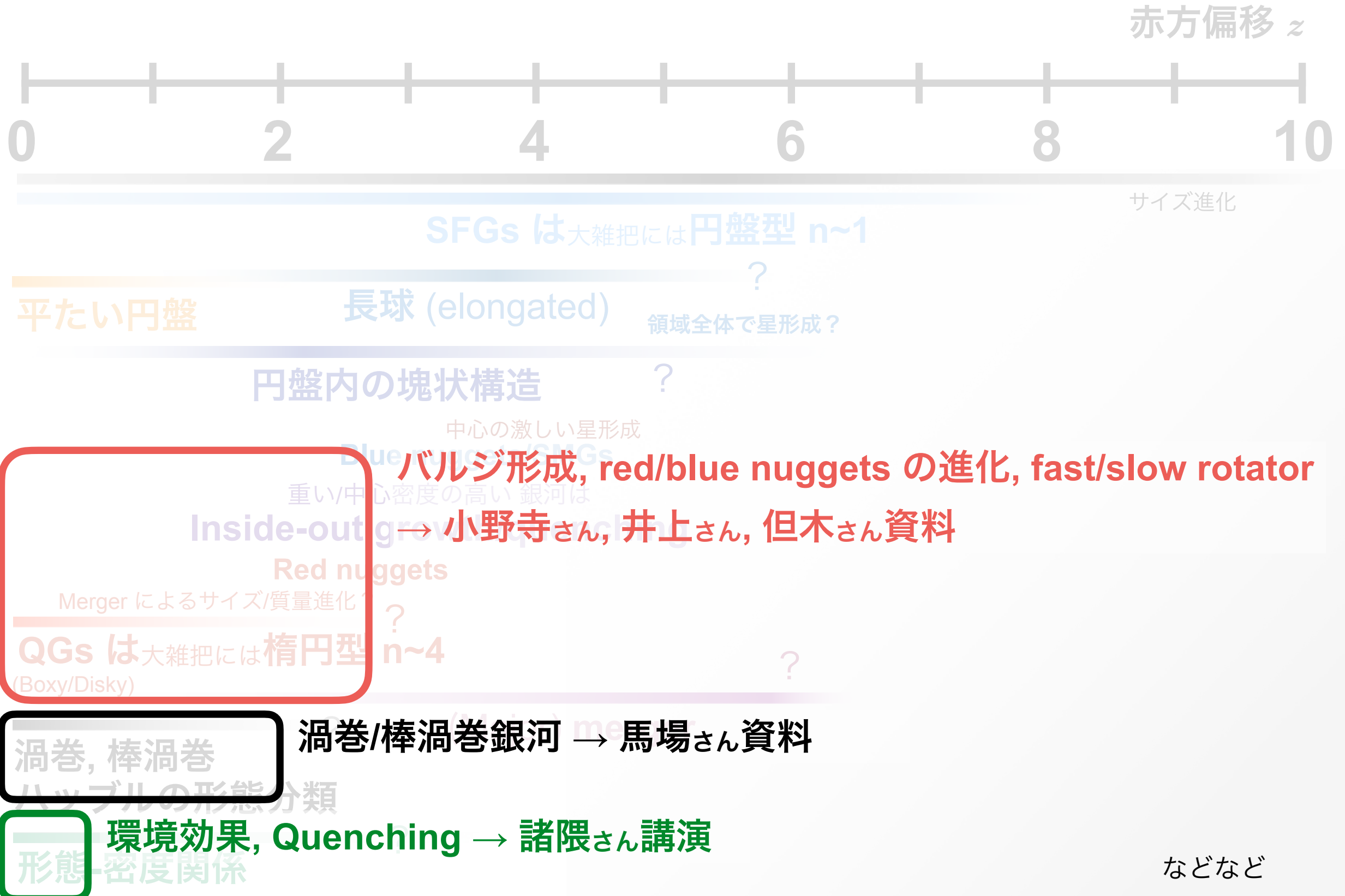
- ✓ バルジ・red/blue nuggets 形成/進化問題
- ✓ 塊状構造が中心に落ち込むか問題
- ✓  $z>2$  渦巻/棒渦巻銀河 (Law+12, Yuan+17)
- ✓ 極低輝度銀河の形成 (van Dokkum+15)
- ✓ 形態変化と post SB の関係
- ✓  $z>4$  の静止可視光 形態
- ✓  $z>6$  の disk thickness, radial growth
- ✓ Minor merger rate
- ✓ 中性水素ガス分布, 形態, LABs, LAHs
- ✓ その他, 理論研究との定量的比較

などなど

## 機械学習について

- ✓ 既に始まっている, 今後 必須の技術
- ✓  $z < 3$  の見た目の結果は 大きく変わっているなさそう  
(これまでも目視, Galaxy Zoo で研究を行なっていたため, 解釈は今後 変わるかも)
- ✓ Simulation + 観測 + 機械学習の研究は強力 → 現在 活発化

# (詳しく)触れなかつた話



# まとめ

- ✓ 銀河形態は重要な観測量, 銀河形成/進化の物理過程を反映
- ✓ 数々の手法により  $z \sim 0-10$  の形態進化の大枠が見えてきた
- ✓ 機械学習などの情報科学技術 + 広視野/高分解能装置
  - 省人化, 高速化, データ高品質化など
  - 今後, さらに形態研究が進展